



รายงานการวิจัย

การศึกษาอิทธิพลของรูปทรงดรอปบีสในงานลากขึ้นรูปชิ้นงานไม่สมมาตร

โดยการจำลองไฟฟ้าในต์เอลิเมนต์

A Study of the Effect of Drawbead Shapes in Non-Symmetry Deep Drawing Process by Using Finite Element-Simulation

นายธีรยุทธ กาญจนแสงทอง

ผศ.ดร.ศิริชัย ต่อสกุล

โครงการวิจัยทุนสนับสนุนงานวิจัยของมหาวิทยาลัยเทคโนโลยีราชมงคลกรุงเทพ

งบประมาณแผ่นดิน ปี พ.ศ. 2557

มหาวิทยาลัยเทคโนโลยีราชมงคลกรุงเทพ



รายงานการวิจัย

การศึกษาอิทธิพลของรูปทรงดรอบีสในงานลากขึ้นรูปชิ้นงานไม่สมมาตร

โดยการจำลองไฟไนต์เอลิเมนต์

A Study of the Effect of Drawbead Shapes in Non-Symmetry Deep Drawing Process by Using Finite Element-Simulation

นายธีรยุทธ กาญจนแสงทอง

ผศ.ดร.ศิริชัย ต่อสกุล

โครงการวิจัยทุนสนับสนุนงานวิจัยของมหาวิทยาลัยเทคโนโลยีราชมงคลกรุงเทพ

งบประมาณแผ่นดิน ปี พ.ศ. 2557

มหาวิทยาลัยเทคโนโลยีราชมงคลกรุงเทพ

รายงานการวิจัย

การศึกษาอิทธิพลของรูปทรงดรอบิสในงานลากขึ้นรูปชิ้นงานไม่สมมาตร

โดยการจำลองไฟฟ์ไนต์เอลิเมนต์

A Study of the Effect of Drawbead Shapes in Non-Symmetry Deep Drawing Process by Using Finite Element-Simulation

นายธีรยุทธ กาญจนแสงทอง

ผศ.ดร.ศิริชัย ต่อสกุล

โครงการวิจัยทุนสนับสนุนงานวิจัยของมหาวิทยาลัยเทคโนโลยีราชมงคลกรุงเทพ

งบประมาณแผ่นดิน ปี พ.ศ. 2557

มหาวิทยาลัยเทคโนโลยีราชมงคลกรุงเทพ

บทคัดย่อ

ปัญหาการลากขึ้นรูปที่พับมาก คือ เกิดการฉีกขาดและการเกิดรอยย่นสาเหตุเกิดจากแรงกดชิ้นงาน ถ้าแรงกดมากเกินไปอาจทำให้เกิดการฉีกขาดของวัสดุและถ้าแรงกดน้อยเกินไปทำให้เกิดรอยย่นของวัสดุ การควบคุมสภาวะการเหลื่อยของโลหะแผ่นในงานขึ้นรูปสามารถทำได้หลายวิธี เช่น การลดหรือเพิ่มแรงกดชิ้นงานหรือลดแรงเสียดทานระหว่างผิวแม่พิมพ์กับชิ้นงาน แต่วิธีดังกล่าวไม่สามารถควบคุมการไหลของโลหะแผ่นเฉพาะในบริเวณเดียว ดังนั้นจึงมีความพยายามหาวิธีการควบคุมสภาวะการเหลื่อยของโลหะแผ่นขึ้นโดยอาศัยการขัดขวางการเหลื่อยของโลหะด้วยสันเล็ก ๆ ที่เรียกว่า ดรوبีด

งานวิจัยนี้มีวัตถุประสงค์เพื่อใช้ดรوبีดที่มีรูปร่าง หน้าตัดครึ่งวงกลม, หน้าตัดรูปตัววี และหน้าตัดสี่เหลี่ยมด้านไม่เท่า โดยมีตัวแปรที่ศึกษา คือ อิทธิพลแรงกดชิ้นงาน 30 , 50 และ 70 เปอร์เซ็นต์ วัสดุที่ใช้ในการศึกษา เหล็กรีดเย็นเกรด SPCD ที่มีผลกระทบต่อการเหลื่อยของโลหะแผ่นที่เหลือเข้าสู่ช่องเปิดด้วยในการลากขึ้นรูปโดยใช้รูปทรงของดรوبีดที่แตกต่างกัน แรงกดชิ้นงานที่แตกต่างกันและวัสดุต่างชนิดกันแล้วนำผลมาเปรียบเทียบกับผลการจำลองด้วยวิธีไฟโนต์เอลิเมนต์

ผลการทดลองแสดงให้เห็นว่ารูปทรงของดรوبีด , แรงกดชิ้นงานและชนิดของวัสดุ มีผลกระทบต่อการเหลื่อยของโลหะแผ่นเป็นอันมาก จากการเปรียบเทียบผลการทดลองพบว่า แรงกดชิ้นงาน 50 เปอร์เซ็นต์ ดรوبีดหน้าตัดครึ่งวงกลม สามารถเหลื่อยได้ดีทำให้ชิ้นงานไม่เกิดการฉีกขาด และรอยย่นลดลง เมื่อเปรียบเทียบกับการจำลองด้วยไฟโนต์เอลิเมนต์พบว่ามีความแตกต่างกันเฉลี่ย 18 เปอร์เซ็นต์ โดยวัดจากความหนาที่เปลี่ยนไปของวัสดุแต่ละจุด ดังนั้นจึงสรุป ผลการเปลี่ยนรูปร่างสุดท้ายของวัสดุจากวิธีไฟโนต์เอลิเมนต์สอดคล้องกับรูปร่างจริง ซึ่งผลการทดลองและวิเคราะห์สามารถสรุปได้ว่าการประยุกต์ใช้ไฟโนต์เอลิเมนต์สามารถทำนายและหาแนวทางการแก้ไขรูปทรงของดรوبีดในการลากขึ้นรูปได้อย่างมีประสิทธิภาพ

คำสำคัญ : ดรوبีด การจำลองไฟโนต์เอลิเมนต์ การขึ้นรูปโลหะแผ่น การย่น

Abstract

The problems commonly found during a Deep Draw Process are the avulsion and wrinkle by the blank holder force. If blank holder force is too much high, it may cause the avulsion of material. On the contrary, the strain of material likely to occur when small blank holder force is applied. To control the flux of steel sheet, a varying (decreasing or increasing) applied force method has been proposed. However, such method is not capable to control the flux in specific area of steel sheet. Thus, the method called as Draw Bead has been suggested, in which the flux of steel is blocked by a small bar.

This research study was aimed at the Haft-Round drawbead, V- Shaped and Trapenzifrom were used. The studied variables were the influences of blank holder force at 30 percent, 50 percent and 70 percent. The material used was Cold Rolled Steel Sheets grade SPCD which affected to the material flow to opened die. Deep Draw Process was done by using different shapes of draw beads, the blank holder force with different pressures and with the use of different kinds of materials. Then the results were compared to the result of Finite Element - simulation. The findings revealed that the studied parameters, such as shape of Draw Bead, blank holder force and material type, were strongly influent to the material (steel). As revealed by the experimental results, the work piece at the blank holder force of 50 percent, Haft-Round Draw Bead could provide a good condition for flux in the steel sheet. In addition, the experimental results were compared with the simulation results obtained from a Finite Element method. It was found that the difference (of any point of comparison) between experimental and simulation results were 18% (as average). It can be concluded that the Finite Element method can effectively forecast, and can be used as a guideline for shape improvement of draw bead in Deep Draw Process.

Keywords : drawbead, finite element-simulation, forming, wrinkle

กิตติกรรมประกาศ

ในการทำงานวิจัยการศึกษาอิทธิพลของรูปทรงครอบิสในงานลากเขียนรูปขึ้นงานไม่สมมาตร โดยการจำลองไฟในต์เอลิเมนต์นี้ สามารถดำเนินการจนสำเร็จได้ด้วยดีก็ เพราะได้รับความอนุเคราะห์ในการใช้เครื่องมือและอุปกรณ์ต่าง ๆ จากภาควิชาวิศวกรรมอุตสาหการ คณะวิศวกรรมศาสตร์ มหาวิทยาลัยเทคโนโลยีราชมงคลธัญบุรี โดยได้รับเงินประมาณอุดหนุนการวิจัยงบประมาณแผ่นดิน พ.ศ. 2557 จากสถาบันวิจัยและพัฒนา มหาวิทยาลัยเทคโนโลยีราชมงคลธัญบุรี ในการดำเนินการ จัดทำโครงการวิจัยให้สำเร็จลุล่วงไปได้ด้วยดี และ คุณนรรตม์ชัย พันธ์มณี จากห้างหุ้นส่วนจำกัด นิวส กาย ซัพพลายส์ แอนด์ เชอร์วิส ที่ให้คำแนะนำในการสร้างและแก้ไขชุดแม่พิมพ์ ซึ่งทางคณะผู้วิจัย หวังเป็นอย่างยิ่งว่าผลงานวิจัยฉบับนี้จะถูกนำไปเป็นข้อมูลในการอุตสาหกรรมแม่พิมพ์ต่อไปในอนาคต

คณะผู้วิจัย

สารบัญ

	หน้า
บทคัดย่อภาษาไทย	ก
บทคัดย่อภาษาอังกฤษ	ข
กิตติกรรมประกาศ	ค
สารบัญ	ง
สารบัญตาราง	ฉ
สารบัญภาพ	ช
คำอธิบายสัญลักษณ์และคำย่อ	ญ
บทนำ	1
1.1 ความเป็นมาของปัญหา	1
1.2 วัตถุประสงค์	2
1.3 ขอบเขตของงานวิจัย	2
1.4 วิธีดำเนินงานวิจัย	3
1.5 คำจำกัดความในการวิจัย	3
1.6 กรอบแนวความคิดในการวิจัย	3
1.7 ประโยชน์ที่คาดว่าจะได้รับ	4
เอกสารและงานวิจัยที่เกี่ยวข้อง	6
2.1 การวิเคราะห์พฤติกรรมเชิงกลของโลหะ	6
2.2 กระบวนการพื้นฐานของโลหะแผ่น และระบบความคื้น	15
2.3 ทฤษฎีไฟโนต์โอลิเมนต์	18
2.4 การลากขึ้นรูปลึกชื่นงานที่มีรูปทรงไม่สมมาตร	28
2.5 ดรอปดิ้	30
2.6 ชนิดของเหล็กแผ่นที่ใช้ในการขึ้นรูป	35
2.7 งานวิจัยที่เกี่ยวข้อง	36
วิธีการดำเนินการวิจัย	38
3.1 ขั้นตอนการดำเนินการวิจัย	38
3.2 เครื่องมือและอุปกรณ์ในการดำเนินงานวิจัย	47

สารบัญต่อ

	หน้า
ผลการทดลอง	55
4.1 เปรียบเทียบแรงในการขึ้นรูป	55
4.2 เปรียบเทียบความเครียดและความหนา	57
4.3 ศึกษาอิทธิพลรูปทรงของครอบปีกในกระบวนการขึ้นรูป	62
สรุปผลการทดลอง	66
5.1 สรุปผลการทดลอง	66
5.2 การอภิปรายผล	66
5.3 ข้อเสนอแนะ	67
บรรณานุกรม	68
ภาคผนวก	71
ภาคผนวก ก การคำนวณแรงขึ้นรูป แรงกด ชั้นงานและขนาดของแผ่นชั้นงาน	71
ภาคผนวก ข คุณสมบัติทางกลของเหล็ก	77
ภาคผนวก ค ข้อมูลการทดลอง	83
ภาคผนวก ง แบบชิ้นส่วนแม่พิมพ์	96

สารบัญตาราง

ตารางที่	หน้า
2.1 ลักษณะการวิเคราะห์ความอิสระของการเคลื่อนที่ของแต่ละชนิด	24
2.2 ขนาดของรอบปีดและต่าแห่งของระยะห่างในการยึดติด	35
2.3 คุณสมบัติทางเคมีของเหล็กรีดเย็น	36
3.1 สมบัติเชิงกลแผ่นเหล็กรีดเย็น SPCE ความหนา 1.0 มิลลิเมตร	42
3.2 ตารางขี้นส่วนแม่พิมพ์	51
3.3 ตารางบันทึกแรงที่ใช้ในการลากขึ้นรูป	54
3.4 ความเครียดในแนวความหนาของชิ้นงานในแต่ละจุดตรวจวัด	54

สารบัญภาพ

ภาพที่	หน้า
2.1 พฤติกรรมการเปลี่ยนรูปของวัสดุ	6
2.2 แบบจำลองพฤติกรรมระหว่างความเค้นและความเครียดของวัสดุ	8
2.3 เปรียบเทียบกรอบการแตกหัก	10
2.4 ขั้นทดสอบตามทิศทางการรีด	13
2.5 ทิศทางหลักในการทดสอบแรงดึง	15
2.6 ทิศทางหลักของความเค้นและความเครียด	16
2.7 (ก) วงกลมบนโลหะแผ่น ขณะที่ยังไม่เปลี่ยนรูป (ข) เมื่อมีการเปลี่ยนรูป กริดวงกลม จะเปลี่ยนเป็นรูปวงรีขนาดของแกนหลักคือ d_1 และขนาดแกนรอง คือ d_2 (ค) การดึง, T, หรือแรงส่งผ่านต่อหน่วยความกว้าง	16
2.8 (ก) การขึ้นรูปถ่วงทรงกระบอก (ข) ขึ้นส่วนย่อยของถ่วงทรงกระบอก แสดงค่าความเครียดที่วัดได้ (ค) ผลค่าความเครียดที่ได้จากการขึ้นรูปถ่วง ทรงกระบอก	17
2.9 การวิเคราะห์หาผลเฉลยบนแผ่นอะลูมิเนียมด้วยการใช้ระบบวิธี ไฟโนต์เอลิเมนต์	18
2.10 โหนดในเอลิเมนต์แต่ละมิติ	19
2.11 ชนิดของเอลิเมนต์ตั้งแต่ 1 ถึง 3 มิติ	20
2.12 การใช้เอลิเมนต์ 1 มิติ ในงานโครงสร้าง	21
2.13 การใช้เอลิเมนต์ 2 มิติ ในงานที่มีลักษณะเป็นผนัง	21
2.14 การใช้เอลิเมนต์ 3 มิติ ในงานที่เป็นบริมาตรตันที่มีความหนา	22
2.15 ตัวอย่างโครงสร้างเอลิเมนต์ดังเดิม	23
2.16 การแปลงรูปร่างของปัญหาออกเป็นเอลิเมนต์แบบต่าง ๆ กัน	26
2.17 เอลิเมนต์สามเหลี่ยมแบบอย่างประกอบด้วยสามจุดต่อโดยมีตัวไม้รู้ค่า อยู่ ณ ตำแหน่งที่จุดต่อ	27
2.18 ความเสียหายที่เกิดบนชิ้นงานที่มีรูปทรงไม่สมมาตร	29
2.19 ดรอปิดแบบหน้าตัดกลม (Round Drawbead)	30
2.20 ดรอปิดแบบหน้าตัดครึ่งวงกลม (Half-Round Drawbead)	31
2.21 ดรอปิดแบบหน้าตัดสี่เหลี่ยมผืนผ้า (Rectangular Drawbead)	31
2.22 ดรอปิดแบบหน้าตัดสี่เหลี่ยมด้านไม่เท่า (Trapezifrom Drawbead)	32

สารบัญภาพ (ต่อ)

ภาพที่	หน้า
2.23 ครอบปิดแบบหน้าตัดรูปตัววี (V-Shaped Drawbead)	32
2.24 ร่องปิดแบบหน้าตัดตามรูปร่างของครอบปิด	33
2.25 ร่องปิดหน้าตัดครึ่งวงกลม	33
2.26 ร่องปิดแบบหน้าตัดสี่เหลี่ยมผืนผ้า	33
2.27 ร่องปิดแบบหน้าตัดสี่เหลี่ยมคางหมู	34
2.28 ร่องปิดแบบหน้าตัดสามเหลี่ยม	34
2.29 ตำแหน่งและระยะของครอบปิด	35
3.1 แผนภาพการดำเนินการวิจัยการศึกษาอิทธิพลรูปทรงของครอบปิดในการลากขึ้นรูปโลหะ ที่มีรูปทรงไม่สมมาตรโดยการจำลองด้วยไฟไนต์เอลิเมนต์	39
3.2 ลักษณะขั้นตอนทดสอบหาสมบัติเชิงกล	40
3.3 การบันทึกข้อมูลการทดสอบการดึงจากโปรแกรมคอมพิวเตอร์	40
3.4 แผนภาพความเค้น-ความเครียดวิศวกรรมและ ความเค้น-ความเครียดจริงของเหล็กรีดเย็น หนา 1 mm	41
3.5 หาค่าสัมประสิทธิ์ความต้านแรงและเลขชี้กำลังการทำให้แข็งด้วยความเครียด ใช้แบบสมการกำลัง (Power function)	42
3.6 กำหนดชื่อของเครื่องมือ	42
3.7 ขั้นตอนการสร้างขั้นส่วนเครื่องมือและขั้นงาน	43
3.8 การสร้างผิวสำหรับเครื่องมือและขั้นงาน	43
3.9 การสร้างผิวสำหรับเครื่องมือและขั้นงาน	44
3.10 กำหนดชนิดการขึ้นรูป	44
3.11 กำหนดชนิดวัสดุของขั้นงาน	45
3.12 เครื่องมือและการกำหนดเงื่อนไขขอบเขตการขึ้นรูป	45
3.13 การประมวลผลของโปรแกรม Dyna Form 5.6	45
3.14 การกำหนดค่าสมบัติของวัสดุในโปรแกรม Dyna Form 5.6	46
3.15 ค่าความเครียดวิเคราะห์จากโปรแกรม Dyna Form 5.6	46
3.16 ค่าความหน่วงเคราะห์จากโปรแกรม Dyna Form 5.6	47
3.17 เครื่องปั๊มโลหะขนาด 80 ตัน	48
3.18 แม่พิมพ์ลากขึ้นรูปลึกขั้นงานที่มีรูปทรงไม่สมมาตร	48

สารบัญภาพ (ต่อ)

ภาพที่	หน้า
3.19 เครื่องจักรกลยั่ตโนมัติ (CNC automatic machine)	49
3.20 ชิ้นงานทดลอง	49
3.21 ครอบปิดแบบหน้าครึ่งวงกลม	50
3.22 ครอบปิดแบบหน้าตัดสามเหลี่ยม	50
3.23 ครอบปิดแบบหน้าตัดสี่เหลี่ยมด้านไม่เท่า	50
3.24 ส่วนประกอบของแม่พิมพ์ขึ้นรูปลีก	51
3.25 แม่พิมพ์พร้อมใช้งาน	52
3.26 (ก) อุปกรณ์วัดแรงดันน้ำมัน (ข) อุปกรณ์จัดเก็บสัญญาณ	53
3.27 บริเวณจุดที่ตรวจวัดความเครียดบนชิ้นงาน	53
3.28 เครื่องวัดความหนาชิ้นงาน	53
4.1 เปรียบเทียบแรงขึ้นรูปจริงกับการจำลองด้วยไฟไนต์เอลิเมนต์ในการใช้ครอบปิดแต่ละชนิด ที่ระดับแรงกดชิ้นงาน 30 ,50 และ 70 เปอร์เซ็นต์ ของเหล็ก SPCD	55
4.2 บริเวณจุดที่ตรวจวัดความหนาบนชิ้นงาน	57
4.3 เปรียบเทียบความเครียดแนวความหนาของการขึ้นรูปจริงกับการจำลองด้วยไฟไนต์เอลิ- เมนต์ในการใช้ครอบปิดแต่ละชนิด ที่ระดับแรงกดชิ้นงาน 30 เปอร์เซ็นต์ เหล็ก SPCD	58
4.4 เปรียบเทียบความเครียดแนวความหนาของการขึ้นรูปจริงกับการจำลองด้วยไฟไนต์เอลิเมนต์ในการใช้ครอบปิดแต่ละชนิด ที่ระดับแรงกดชิ้นงาน 50 เปอร์เซ็นต์ เหล็ก SPCD	59
4.5 เปรียบเทียบความเครียดแนวความหนาของการขึ้นรูปจริงกับการจำลองด้วยไฟไนต์เอลิเมนต์ในการใช้ครอบปิดแต่ละชนิด ที่ระดับแรงกดชิ้นงาน 70 เปอร์เซ็นต์ เหล็ก SPCD	60
4.6 เปรียบเทียบรูปร่างของชิ้นงาน ระหว่างวิธีไฟไนต์เอลิเมนต์และวิธีการทดลองจริงของ ครอบปิดแบบครึ่งวงกลม ด้วยแรงกดชิ้นงาน 30 เปอร์เซ็นต์ ของเหล็ก SPCE	61
4.7 เปรียบเทียบรูปร่างของชิ้นงาน ระหว่างวิธีไฟไนต์เอลิเมนต์และวิธีการทดลองจริงของ ครอบปิดแบบครึ่งวงกลม ด้วยแรงกดชิ้นงาน 50 เปอร์เซ็นต์ ของเหล็ก SPCE	62

4.8 เปรียบเทียบรูป่างของชิ้นงาน ระหว่างวิธีไฟแนนซ์เอลิเมนต์และวิธีการทดลองจริงของครอบเบ็ดแบบครึ่งวงกลม ด้วยแรงกดชิ้นงาน 70 เปอร์เซ็นต์ ของเหล็ก SPCE	62
4.9 แผนภาพขีดจำกัดการขึ้นรูป กรณีการใช้ครอบเบ็ดหน้าตัดครึ่งวงกลม ของเหล็ก	63
4.10 แผนภาพขีดจำกัดการขึ้นรูป กรณีการใช้ครอบเบ็ดหน้าตัดสี่เหลี่ยมด้านไม่เท่า ของเหล็กSPCD	64
4.11 แผนภาพขีดจำกัดการขึ้นรูป กรณีการใช้ครอบเบ็ดหน้าตัดสี่เหลี่ยมด้านไม่เท่า ของเหล็กSPCD	65
4.12 แผนภูมิของร้อยละเอลิเมนต์ในแต่ละชนิดของครอบเบ็ดของเหล็ก SPCD	65

คำอธิบายสัญลักษณ์และคำย่อ

A_i	พื้นที่หน้าตัดได ๆ
A_o	พื้นที่หน้าตัดเดิม
E	ยังไม่ดูดสี
F	ค่าคงตัวแสดงคุณลักษณะแอนไโซทรอปิก
G	ค่าคงตัวแสดงคุณลักษณะแอนไโซทรอปิก
H	ค่าคงตัวแสดงคุณลักษณะแอนไโซทรอปิก
J_2	ลำดับที่สองของความเค้นเบี่ยงเบน
K	สัมประสิทธิ์ความต้านแรง
L	ค่าคงตัวแสดงคุณลักษณะแอนไโซทรอปิก
L_i	ความยาวขณะไดขยันหนึ่ง
L_o	ความยาวเดิม
M	ค่าคงตัวแสดงคุณลักษณะแอนไโซทรอปิก
N	ค่าคงตัวแสดงคุณลักษณะแอนไโซทรอปิก
R	อัตราส่วนของความเครียดในแนวว้างต่อแนวหนา
\bar{R}	อัตราส่วนของความเครียดในแนวว้างต่อแนวหนาเฉลี่ย
d_i	เส้นผ่านศูนย์กลางได ๆ
d_o	เส้นผ่านศูนย์กลางเริ่มต้น
n	เลขยกกำลังของความเครียดแข็ง
t	ความหนาของวัสดุ
t_o	ความหนาของวัสดุที่ลดลง
w	ความกว้างของวัสดุ
w_o	ความกว้างของวัสดุที่ลดลง
$\{F\}_e$	เมทริกซ์ของแรงกระทำที่จุดต่อ
$\{F\}_{sys}$	เมทริกซ์รวมของแรงกระทำที่จุดต่อ
$[k]_e$	สหพเนสเมทริกซ์ของอลิเมนต์
$[K]_{sys}$	สหพเนสเมทริกซ์ของรวมระบบ
$\lfloor N \rfloor$	เมทริกซ์ฟังก์ชัน

$\{\phi\}$	เมทริกซ์ที่ประกอบด้วยตัวไมรู้ค่าที่จุดต่อเอลิเมนต์
$\{\phi\}_{sys}$	เมทริกซ์ที่ประกอบด้วยตัวไมรู้ค่าที่จุดต่อเอลิเมนต์ของระบบ
σ	ความเค้น
$\tilde{\sigma}$	ความเค้นจริง
σ_o	ความเค้นคราก
ε	ความเครียด
$\tilde{\varepsilon}$	ความเครียดจริง
ε_t	ความเครียดพลาสติกที่ศีหางความหนา
ε_w	ความเครียดพลาสติกที่ศีหางความกว้าง
τ	ความเค้นเนื่อง
$d\lambda$	อัตราส่วนของความเครียดต่อกำลังความเค้น
β	อัตราส่วนความเครียด
α	อัตราส่วนความเค้น
θ	มุมทิศทางการรีด

บทที่ 1

บทนำ

1.1 ความเป็นมาของปัญหา

กระบวนการขึ้นรูปโลหะแผ่นที่ใช้กันอยู่ในโรงงานอุตสาหกรรม จะมีกระบวนการหรือวิธีในการขึ้นรูปหลายวิธีด้วยกัน การดึงขึ้นรูปลึก (Deep Drawing) เป็นวิธีการหนึ่งที่ใช้กันอย่างแพร่หลาย บางครั้งในการดึงขึ้นรูปนั้น วัสดุจะถูกจับยึดระหว่างดาย (Die) และแรงกดชิ้นงาน (Blank holder Force) และจะถูกกดขึ้นรูปด้วยพินช์ (Punch) วัสดุที่ถูกกดจะเปลี่ยนไปตามรูปร่างของพินช์ ภายใต้สภาวะที่มีผลกระทบต่อการขึ้นรูปต่าง ๆ ไม่ว่าจะเป็นความเร็วในการขึ้นรูป คุณสมบัติด้านแอนไอโซทรอปี และโดยเฉพาะอย่างยิ่ง ความเสียดทานและแรงกดชิ้นงาน แต่อย่างไรก็ตามแผ่นกดชิ้นงานมิได้มีผิวสัมผัสกันตลอดทั้งวัสดุชิ้นงาน จึงเป็นการอยากรู้ว่าจะควบคุมการขึ้นรูปลึกจากแผ่นกดชิ้นงานได้แต่เพียงอย่างเดียว โดยเฉพาะชิ้นงานที่มีรูปทรงไม่สมมาตรเนื่องจากมีอัตราการไหลตัวของวัสดุที่ไม่เท่ากัน [1] เพื่อให้การไหลตัวของวัสดุดีขึ้น จึงมีการนำเอารอบปิดมาช่วยในการทำงาน

รอบปิดจะถูกใช้ในการควบคุมการไหลของวัสดุ เพื่อป้องกันมิให้เกิดรอยย่นหรือให้เกิดรอยย่นน้อยที่สุด โดยรอบปิดจะถูกติดอยู่ที่แผ่นกดชิ้นงาน ขณะที่มีการขึ้นรูปลึกวัสดุจะไหลผ่านรอบปิด ภายในครอบปิดวัสดุจะเกิดการดัดให้ไหลไปในทิศทางหนึ่งและถูกดัดกลับมาในทิศทางตรงกันข้าม ก่อนที่จะไหลดัดกลับไปยังทิศทางเดิมจึงทำให้มีการชะลอการไหลของวัสดุไม่ให้ไหลเร็วเกินไปอันเป็นสาเหตุของการเกิดรอยย่น ก่อนไหลเข้าช่องดาย Meiders,et al [2] ได้ศึกษาการนำรอบปิดมาใช้กับการขึ้นรูปโลหะโดยการสร้างแบบจำลองทางคณิตศาสตร์ด้วยวิธีไฟโนต์อลิเมนต์ ตัวแปลที่สำคัญประกอบด้วย แรงในการควบคุมการไหลตัวของโลหะ (Drawbead Restraining Force) การเปลี่ยนแปลงความหนาแบบพลาสติก และแรงยกรอบปิด (Drawbead Lift Force) ได้มีการจำลองรอบปิดแบบสองมิติ และการทดลองจริงค่าความแตกต่างทางคณิตศาสตร์ทั้งสองค่าจะเป็นเครื่องมือที่สำคัญในการอธิบายการเปลี่ยนแปลงความหนาแบบพลาสติกได้ M.Samuel [3] ได้ศึกษาอิทธิพลรูปทรงของรอบปิดในการขึ้นรูปโลหะ ใช้วิธีไฟโนต์อลิเมนต์ในการสร้างแบบจำลองของรอบปิด เปรียบเทียบรูปทรงของรอบปิดระหว่างร่องปิดที่เป็นแบบครึ่งวงกลมกับร่องปิดที่เป็นแบบสี่เหลี่ยม และวิเคราะห์ความแตกต่างของการไหลตัวของวัสดุในการใช้ร่องปิดทั้งสองชนิดเปรียบเทียบกับการทดลอง บุญส่ง จงกลนี [1] ได้ศึกษาการออกแบบแม่พิมพ์ที่จะใช้ในการลากขึ้นรูปลึกชิ้นงานที่มีลักษณะไม่สมมาตร เพื่อใช้ในการทดสอบอิทธิพลของตัวแปรที่มีอิทธิพลต่อการขึ้นรูป 4 ตัวแปร รูปร่างแผ่นเปล่า (Blank geometry) ขนาดแรงกดชิ้นงาน (BHF) ชนิดของสารหล่อลื่น (Lubricant type) และรูปร่างรอบปิด (Drawbead Geometry)

ครอบด้วยกันอยู่ทั่ว ๆ ไปในงานอุตสาหกรรมการขึ้นรูปโลหะแผ่นมีหลายรูปทรง เช่น ครอบเบบหน้าตัดสี่เหลี่ยมด้านไม่เท่า (Trapenzifrom Drawbead), ครอบเบบหน้าตัดครึ่งวงกลม (Half-Round Drawbead) , ครอบเบบหน้าตัดรูปตัววี (V-Shaped Drawbead) เพื่อเป็นข้อมูลในการนำครอบไปใช้งาน ต้องมีการทำนายประสิทธิภาพของครอบ โดยการสร้างแบบจำลองเพื่อศึกษาผลกระทบจากการขึ้นรูปโลหะแผ่นด้วยคอมพิวเตอร์[4] ควรเลือกใช้วิธีทางไฟไนต์เอลิเมนต์ (Finite Element) เพื่อให้ได้ผลวิเคราะห์ที่มีความแม่นยำ แต่อย่างไรก็ตามถ้าต้องการผลวิเคราะห์ที่มีความละเอียดแม่นยำมากขึ้นจะต้องใช้จำนวนการแบ่งชิ้นงาน (Element) เป็นจำนวนมากโดยเฉพาะตรงบริเวณร่องรอยที่มีขนาดเล็ก ทำให้ต้องใช้เวลาจำนวนมากและเครื่องคอมพิวเตอร์ต้องมีประสิทธิภาพสูงยิ่งมีจำนวนชิ้นงานที่มีความละเอียดมากเท่าได้ ย่อมหมายถึงว่าต้องใช้เวลาและประสิทธิภาพของเครื่องมากเท่านั้น ด้วยเหตุนี้ในการวิจัยจึงต้องกำหนดรูปทรงครอบด้วยให้มีความเหมาะสมและมีการควบคุมแรงในการกดชิ้นงานให้คงที่ จะมีเฉพาะการเปลี่ยนแปลงการกระจายความเครียด (Strain) และความหนาของชิ้นงานที่เปลี่ยนไป

จากที่ได้กล่าวมาแล้วจึงได้จัดทำโครงการวิจัยชี้นเพื่อศึกษาผลกระทบจากการขึ้นรูปโลหะแผ่น โดยวิเคราะห์ด้วยไฟไนต์เอลิเมนต์ (FEM) เพื่อมุ่งเน้นการประยุกต์รูปทรงของครอบ โดยการทดลองทำการเปรียบเทียบครอบเบบหน้าตัดรูปตัววี ครอบเบบหน้าตัดครึ่งวงกลม และ ครอบเบบหน้าตัดสี่เหลี่ยมด้านไม่เท่า ที่มีผลต่อการให้ลักษณะของโลหะในการลากขึ้นรูปโลหะแผ่นที่มีรูปทรงไม่สมมาตรโดยวิธีการวิเคราะห์ไฟไนต์เอลิเมนต์ เพื่อศึกษาผลการวิเคราะห์กับผลการทดลองซึ่งสามารถช่วยลดเวลาในการทดลองแม่พิมพ์และการผลิตจริงต่อไป

1.2 วัตถุประสงค์

1.2.1 เพื่อศึกษาอิทธิพลของรูปทรงครอบวีปีดในการลากขึ้นรูปชิ้นงานแบบไม่สมมาตร โดยการจำลองไฟไนต์เอลิเมนต์

1.2.2 เพื่อออกแบบการจำลองไฟไนต์เอลิเมนต์กระบวนการลากขึ้นรูปชิ้นงานไม่สมมาตร

1.2.3 เพื่อศึกษาวิเคราะห์การให้ลักษณะของชิ้นงานต่ออิทธิพลรูปทรงครอบวีปีส

1.3 ขอบเขตของงานวิจัย

1.3.1 จำลองการขึ้นรูปวัสดุชิ้นงานแผ่นเหล็กridเย็น SPCD ความหนา 1.0 มิลลิเมตร เปรียบเทียบกับการขึ้นรูปจริง

1.3.2 สร้างแบบจำลองรูปทรงของครอบ ดังนี้

- ครอบเบบหน้าตัดครึ่งวงกลม

- ครอบเบบหน้าตัดรูปตัววี

- ครอบบีดแบบหน้าตัดสีเหลี่ยมด้านไม่เท่า

1.3.3 เปรียบเทียบแรงกดชิ้นงาน(Blank holder force)ของการจำลองการขึ้นรูปด้วยไฟในต์เอลิเมนต์กับการขึ้นรูปจริง โดยเปรียบเทียบจากเปอร์เซ็นต์ของแรงขึ้นรูปที่แรงกดชิ้นงาน เท่ากับ 30%,50% และ 70% ของแรงที่ใช้ขึ้นรูปลึกที่เหมาะสมกับชนิดของครอบบีด

1.3.4 ศึกษาอิทธิพลของรูปทรงครอบบีด

- ครอบบีดแบบหน้าตัดครึ่งวงกลม

- ครอบบีดแบบหน้าตัดรูปตัววี

- ครอบบีดแบบหน้าตัดสีเหลี่ยมด้านไม่เท่า

1.3.5 วิเคราะห์แรงらくขึ้นรูปและวัดความเครียดจากการความหนาของชิ้นงาน

1.4 วิธีดำเนินงานวิจัย

1.4.1 ศึกษาข้อมูลและงานวิจัยที่เกี่ยวข้อง

1.4.2 ทดสอบหาสมบัติเชิงกลของวัสดุเหล็กเกรดเย็น SPCD ความหนา 1.0 มิลลิเมตร

1.4.3 ออกแบบสร้างแม่พิมพ์ สำหรับการจำลองการขึ้นรูปด้วยระเบียบวิธีไฟในเอลิเมนต์ ด้วยโปรแกรม Dyna Form 5.6

1.4.4 ภาษาผลการวิเคราะห์ด้วยไฟในต์เอลิเมนต์ จากการจำลองการขึ้นรูป

1.4.5 ทดลองขึ้นรูปชิ้นงานตามแบบที่กำหนด

1.4.6 ทำการเก็บข้อมูลได้แก่ ความเครียดและความหนา และพฤติกรรมการฉีกขาด ที่ได้จากการทดลองขึ้นรูปชิ้นงานจริง

1.4.7 ศึกษาวิเคราะห์และเปรียบเทียบข้อมูลผลการขึ้นรูปชิ้นงานจริง กับการจำลองการขึ้นรูปด้วยระเบียบวิธีไฟในต์เอลิเมนต์ เพื่อศึกษาแนวโน้มและความสอดคล้องของข้อมูล

1.4.8 วิเคราะห์ผลลัพธ์ และสรุปผลการวิเคราะห์การขึ้นรูปชิ้นงาน

1.5 คำจำกัดความในการวิจัย

1.5.1 แรงกดชิ้นงานคือ ขนาดของแรงกดของแผ่นกดชิ้นงาน (Blank holder) ที่พอเหมาะ สำหรับป้องกันไม่ให้ชิ้นงานเกิดรอยย่นหรือชิ้นงานเกิดรอยฉีกขาด เช่น ถ้าแรงกดมากเกินไปจะทำให้ ชิ้นงานเกิดรอยฉีกขาดหรือถ้าแรงกดน้อยเกินไปจะทำให้ ชิ้นงานเกิดรอยย่นได้ [1]

1.5.2 ครอบบีด มีหน้าที่ในการควบคุมการให้ลดตัวของโลหะที่จะเข้าไปในด้วยและช่วยป้องกัน ไม่ให้เกิดรอยย่น (Wrinkle) ในขณะขึ้นรูป นอกจากยังช่วยลดแรงกดของแบบคงเดอร์ตลอดจนทำ หน้าที่เหมือนกับ ปรับตัวรีดโลหะให้ความเครียด (Strain) ลดลง เพื่อเพิ่มคุณสมบัติในการขึ้นรูปของ โลหะ[4]

1.6 กรอบแนวความคิดในการวิจัย

กระบวนการขึ้นรูปโลหะแผ่น เป็นการเปลี่ยนรูปทรงของแผ่นโลหะแบบราบให้เป็นรูปทรงตามที่ต้องการ โดยปราศจากการแตกหรือการบางเฉพาะแห่ง กระบวนการขึ้นรูปโลหะแผ่น จะถูกทำให้เสียรูปการด้วยเครื่องมือ ซึ่งประกอบด้วย พื้นช์ ดาย โดยอาศัยแรงกดจากพื้นช์ทำให้วัสดุเกิดการไหลตัวเป็นไปตามขนาดและรูปทรงของดาย ดังนั้นต้องศึกษาสมบัติเชิงกลของวัสดุที่นำมาขึ้นรูป อิทธิพลตัวแปรของรัศมีพื้นช์และดายที่มีผลต่อการขึ้นรูปโลหะแผ่น ซึ่งได้อธิบายดังนี้

พฤติกรรมของแผ่นโลหะที่เกิดขึ้นในกระบวนการลากขึ้นรูปในช่วงการเปลี่ยนรูปถาวร สามารถหาได้จากความสัมพันธ์ระหว่างความเค้นความเครียดและคุณสมบัติของวัสดุเป็นแบบแอนิโซทรอปี (Anisotropy)[5] สมบัติเลขซึ่ກำลังการทำให้แข็งด้วยความเครียด (Strain-hardening exponent, n – values) และสัมประสิทธิ์ความต้านแรง (Strength coefficient, K) โดยค่า n เป็นค่าที่บ่งบอกถึงความสามารถในการขึ้นรูป ถ้าค่า n มีค่ามากจะทำให้โลหะแผ่นมีความสามารถในการขึ้นรูปดี และอัตราส่วนความเครียดพลาสติก R (Anisotropy) เป็นค่าที่แสดงถึงความสามารถในด้านความสามารถต้านทานการเหดตัวในแนวความหนา จะทำให้ขอบของชิ้นงานหลังการขึ้นรูปยาวไม่เท่ากันหรือเกิด Earing [6]

การควบคุมแรงกดชิ้นงานที่ไม่พอเพียง จะทำให้เกิดรอยย่นของโลหะ ซึ่งการย่นนี้จะให้โลหะแผ่นไม่สามารถที่จะไหลตัวได้ ทำให้บริเวณส่วนก้นของชิ้นงานถูกพื้นช์ดันฉีกขาดแต่ถ้าแรงกดชิ้นงานมากเกินไป โลหะก็จะไม่สามารถไหลตัวเข้าดียวกัน โดยเฉพาะการขึ้นรูปชิ้นงานที่ไม่สมมาตรจะทำให้อัตราการไหลของโลหะแต่ละจุดไม่เท่ากัน ทำให้แรงที่ใช้ในการกดแต่ละจุดไม่เท่ากันด้วย สำหรับบริเวณที่ต้องการแรงกดมากจะใช้ดรอปบีดเข้ามาช่วยเพื่อทำให้การไหลตัวของโลหะช้าลง [7]

ดรอปบีดมีหน้าที่ควบคุมการไหลตัวของโลหะที่จะไหลเข้าไปในดาย และช่วยป้องกันไม่ให้เกิดรอยย่น ในขณะขึ้นรูปนองจากนั้นยังช่วยลดแรงกดชิ้นงานและตัวรีดโลหะให้ความเครียดลดลงเป็นการเพิ่มคุณสมบัติในการขึ้นรูปของโลหะ การติดตั้งดรอปบีดสามารถติดตั้งที่แผ่นกดชิ้นงานหรือที่ดายก็ได้แต่ปกตินิยมติดตั้งอยู่ที่แผ่นกดชิ้นงาน และร่องบีด (Bead) จะอยู่ที่ดาย

1.7 ประโยชน์ที่คาดว่าจะได้รับ

1.7.1 สามารถเลือกใช้แรงที่เหมาะสมในการกดชิ้นงานของแผ่นกด ที่เหมาะสมกับชนิดของดรอปบีด

1.7.2 สามารถเลือกใช้ดรอปบีดได้อย่างเหมาะสม

1.7.3 สามารถนำไปเป็นข้อมูลเบื้องต้นในการตัดสินใจที่จะใช้ดรอปบีดมาประยุกต์ใช้ในงานอุตสาหกรรมแม่พิมพ์ลากขึ้นรูปโลหะ

1.7.4 ได้ทราบข้อดีและข้อเสียของรูปทรงครอปีดที่ใช้ในกระบวนการผลักขึ้นรูปลึก



บทที่ 2

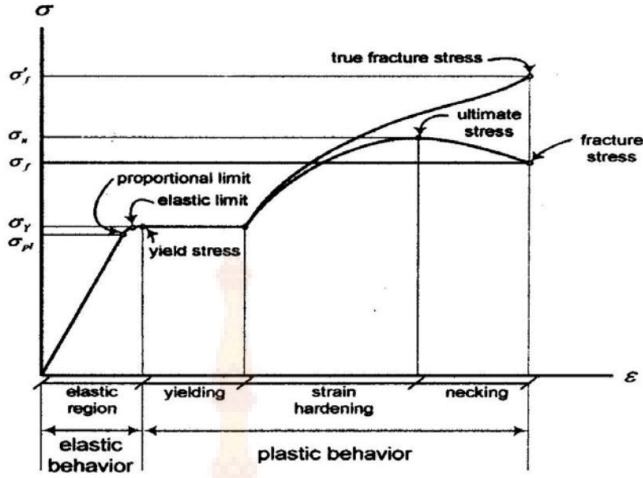
เอกสารและงานวิจัยที่เกี่ยวข้อง

2.1 การวิเคราะห์พฤติกรรมเชิงกลของโลหะ

ทฤษฎีในการวิเคราะห์พฤติกรรมเชิงกลของโลหะวัสดุแผ่น (Sheet Metal) พฤติกรรมการเปลี่ยนรูปในช่วงถาวร (Plasticity) และพฤติกรรมการเปลี่ยนรูปในช่วงยืดหยุ่น (Elasticity) เมื่อวัสดุซึ่งได้รับแรงกระทำจะเกิดการเปลี่ยนรูปถาวรตามที่กระทำออก วัสดุจะคืนตัวเล็กน้อย เมื่อไม่ได้รับแรงกระทำ ในส่วนพฤติกรรมการเปลี่ยนรูปภาระเมื่อวัสดุได้รับแรงกระทำจนวัสดุเลยจุดคราก (Yield Point) ถ้าถาวรที่กระทำออกวัสดุจะไม่กลับคืนตัว วัสดุจะเกิดการเปลี่ยนรูปอย่างถาวร คุณสมบัติทางกลที่สำคัญอันหนึ่งซึ่งจะมีผลต่อการขึ้นรูปของวัสดุโลหะแผ่นคือ ค่าความสัมพันธ์ระหว่างความดันและความเครียด (True Stress-Strain Relation) ซึ่งในกรณีที่ใช้กฎกำลัง (Power Law) จะต้องหาค่าคุณสมบัติของค่า Strength Coefficient (K) และ Strain Hardening Exponent (n) โดยค่า n เป็นค่าที่บ่งบอกถึงความสามารถในการขึ้นรูป ถ้าค่า n มีค่ามากจะทำให้โลหะแผ่นมีความสามารถในการขึ้นรูปดี และค่าคุณสมบัติที่ไม่เท่ากันทุกทิศทางในแนวระนาบ (Planar Anisotropy) ซึ่งค่าที่สำคัญคือค่า R (r -value หรือ Plastic Strain Ratio) หาได้จากสัดส่วนความเครียดในแนวความกว้างกับความเครียดในแนวความหนา ซึ่งค่า R เป็นค่าที่แสดงถึงความสามารถในด้านความต้านทานการหดตัวในแนวความหนา เนื่องจากเหล็กแผ่นผ่านการรีดมาทำให้อุปภาคภายในมีทิศทางตามแนวเรียด ส่งผลให้ความสามารถในการยืดหดตัวของเหล็กแผ่นแตกต่างกัน ดังนั้นในการหาค่า R จะเป็นต้องหารอย่างน้อย 3 แนว คือค่า R ในทิศตามแนวเรียดทิศ 45° กับแนวเรียด และทิศทางตั้งฉากกับแนวเรียด ถ้าค่า R แตกต่างกันมาก จะทำให้ขอบของชิ้นงานหลังการขึ้นรูปยาวไม่เท่ากันหรือการเป็นคลื่นที่ขอบชิ้นงาน (Earing) [8]

2.1.1 ทฤษฎีในการเปลี่ยนรูปช่วงยืดหยุ่น (Elastic Theory)

เมื่อวัสดุได้รับแรงดึงจะทำให้วัสดุเกิดการยืดตัวซึ่งสามารถแบ่งพฤติกรรมการยืดตัวออกเป็น 2 ส่วน หลัก ๆ คือ การเปลี่ยนรูปในช่วงยืดหยุ่นหรือช่วงอิลาสติกและการเปลี่ยนรูปภาระหรือช่วงพลาสติก ดังภาพที่ 2.1



ภาพที่ 2.1 พฤติกรรมการเปลี่ยนรูปของวัสดุ [9]

คุณสมบัติของวัสดุที่ทำการวิเคราะห์ ซึ่งเขียนอยู่ในรูปกราฟความสัมพันธ์ระหว่างความเค้น และความเครียดจริง (True Stress-True Strain Curve) หรือเรียกอีกชื่อว่า (Flow Curve) ซึ่งมีลักษณะเป็นเชิงเส้น (Linearity) หรือไม่เป็นเชิงเส้น (Non-Linearity) โดยมีความสำคัญในการนำมาใช้ในการคำนวณเพื่อช่วยให้คำนายน้ำหนักต้องแม่นยำ ในการวิเคราะห์วิธีไฟน์เตอร์เอลิเมนต์จะกำหนดให้วัสดุของแบบจำลองมีคุณสมบัติเท่ากันทุกทิศทาง (Isotropy) ซึ่งจะแตกต่างจากพฤติกรรมของวัสดุจริงเนื่องจากวัสดุจริงมีการเรียงตัวของผลึกไม่เท่ากันทุกทิศทางทำให้วัสดุมีคุณสมบัติแบบ Anisotropy โดยที่กราฟความสัมพันธ์ระหว่างความเค้นและความเครียดจริงของวัสดุสามารถหาได้จากการทดสอบดึง (Uni-Axial Tension Test) หรือการทดสอบกด (Compression Test) ในการทดสอบแรงดึงขึ้นทดสอบชนิดหน้าตัดกลมหรือชนิดหน้าตัดสี่เหลี่ยมจะถูกแรงกระทำโดยการดึงหรือกดเพิ่มแรง (F) อย่างช้า ๆ และควบคุมความเร็วให้ขึ้นทดสอบเปลี่ยนรูปอย่างสม่ำเสมอตามแนวแกนแล้ววัดค่าแรงและระยะการเปลี่ยนรูปของชิ้นทดสอบ จนกระทั่งชิ้นทดสอบเกิดความเสียหายหรือขาดออกจากกัน ผลการทดสอบที่ได้จะนำไปหาคุณสมบัติเชิงกลของวัสดุชิ้นทดสอบ ซึ่งความเค้นที่เกิดภายในวัสดุสามารถหาได้ โดยนำแรงภายนอก F ในแต่ละช่วงของการทดสอบหารด้วยพื้นที่หน้าตัดเริ่มต้นของชิ้นงาน [9]

$$\sigma = \frac{F_i}{A_o} \quad (2.1)$$

โดย F_i คือ แรงดึงหรือโหลด A_o คือพื้นที่หน้าตัดเดิมของชิ้นทดสอบ และ σ คือความเค้นเฉลี่ยหรือความเค้นเชิงวิศวกรรม (Engineering Stress) ซึ่งมีทิศทางตั้งฉากกับพื้นที่หน้าตัด A_o

สำหรับความเครียดเชิงวิศวกรรม (Engineering Strain) สามารถคำนวณได้จากความยาวที่เปลี่ยนไปหารด้วยความยาวเดิมของชิ้นทดสอบ

$$\varepsilon = \frac{\Delta L}{L_o} = \frac{L_i - L_o}{L_o} \quad (2.2)$$

โดย ΔL คือ ความยาวที่เปลี่ยนไป L_o คือความยาวเดิมของชิ้นทดสอบ L_i คือความยาวขณะได้ขณะหนึ่งและ ε คือความเครียดเฉลี่ย เป็นความเครียดเชิงวิศวกรรม ซึ่งมีทิศทางเดียวกับทิศทางของแรง F ความสัมพันธ์ระหว่างความเค้นกับความเครียดที่ได้จากการคำนวณโดยใช้พื้นที่หน้าตัดและความยาวเดิมของชิ้นทดสอบเรียกว่าрафความสัมพันธ์ระหว่างความเค้นและความเครียด เชิงวิศวกรรม (Engineering Stress-Strain Curve) ซึ่งในการทดสอบจริง ในขณะที่ระดับความเค้นในชิ้นงานทดสอบเพิ่ม lên ความเค้นคราก พื้นที่หน้าตัดและความยาวของชิ้นงานทดสอบจะมีการเปลี่ยนแปลงอย่างต่อเนื่องจนเกิดคอกอุดและขาดออกจากกันในที่สุด ซึ่งความสัมพันธ์ระหว่างความเค้นและความเครียดสามารถหาได้โดยใช้พื้นที่หน้าตัดและความยาวที่เปลี่ยนแปลงในแต่ละขณะ ซึ่งเรียกว่าрафความสัมพันธ์ระหว่างความเค้นจริงและความเครียดจริง (True Stress True Strain Curve) หรือเรียกอีกชื่อว่า (Flow Curve) ซึ่งแสดงให้ทราบถึงพฤติกรรมของวัสดุในช่วงการเปลี่ยนรูปภาพ ถ้า $\tilde{\sigma}$ เป็นความเค้นจริงและ $\tilde{\varepsilon}$ เป็นความเครียดจริง

$$\tilde{\sigma} = \frac{F_i}{A_i} = \sigma \left(\frac{A_o}{A_i} \right) \quad (2.3)$$

โดย A_i คือพื้นที่หน้าตัดได้ A_o คือพื้นที่หน้าตัดเริ่มต้น σ คือความเค้นเฉลี่ย F_i คือแรงดึงที่กระทำบนชิ้นทดสอบ

สำหรับความเครียดจริง $\tilde{\varepsilon}$ สามารถหาได้โดยพิจารณาที่ความยาวได้ ΔL ที่เพิ่มขึ้น ซึ่งหาได้จากการ อินทิเกรตความยาว dL ได้

$$\tilde{\varepsilon} = \int_{L_o}^{L_i} \frac{dL}{L_i} = \ln \frac{L_i}{L_o} \quad (2.4)$$

ในการนีการขึ้นรูปโลหะมีปริมาตรก่อนและหลังการขึ้นรูปจะเกิดการเปลี่ยนแปลงน้อยมาก ดังนั้น จะสมมุติให้ปริมาตรไม่เกิดการเปลี่ยนแปลงทั้งก่อนและหลังการขึ้นรูปทำให้มีปริมาตรเท่าเดิม

$$A_o L_o = A_i L_i \quad (2.5)$$

$$\frac{A_o}{A_i} = \frac{L_i}{L_o} = \frac{L_o + \Delta L}{L_o} = 1 + \varepsilon \quad (2.6)$$

ดังนั้นความเค้นจริงและความเครียดจริงโดยสมมุติฐานให้ปริมาตรก่อนและหลังการขึ้นรูปคงที่

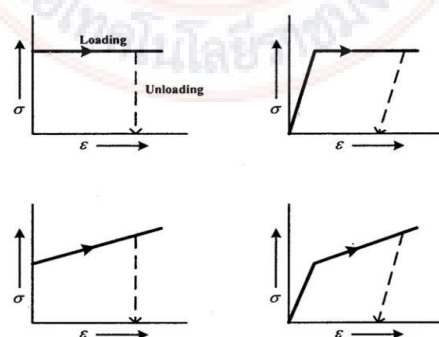
$$\tilde{\sigma} = \sigma(1 + \varepsilon) \quad (2.7)$$

$$\tilde{\varepsilon} = \ln \frac{A_o}{A_i} = 2 \ln \frac{d_o}{d_i} \quad (2.8)$$

โดย d_i คือเส้นผ่าศูนย์กลาง ไดๆ d_o คือเส้นผ่าศูนย์กลางริมตันของชิ้นงานทดสอบ

2.1.2 ทฤษฎีในการเปลี่ยนรูปภาครหรือในช่วงพลาสติก (Plasticity Theory)

ในการขึ้นรูปวัสดุโลหะแผ่นให้มีรูปทรงตามที่ต้องการจะต้องให้แรงกระทำกับวัสดุ เพื่อให้วัสดุเปลี่ยนรูปอย่างถาวร ผลจากการทดสอบการดึงวัสดุพบว่าพฤติกรรมของวัสดุแบ่งได้เป็นสองช่วงคือ ช่วงยืดหยุ่นและช่วงเปลี่ยนรูปอย่างถาวรหรือช่วงพลาสติกพฤติกรรมเหล่านี้ อยู่ด้วยกัน หลายลักษณะซึ่งสามารถแสดงด้วยแบบจำลอง (Model) ความสัมพันธ์ระหว่างความเค้นและความเครียด ดังภาพที่ 2.2



ภาพที่ 2.2 แบบจำลองพฤติกรรมระหว่างความเค้นและความเครียดของวัสดุ [9]

ในการพิจารณาการเปลี่ยนรูป จะใช้เกณฑ์การคราก (Yield Criterion) เป็นเกณฑ์ที่จะกำหนดการเปลี่ยนรูป จากอิลาสติกไปเป็นพลาสติก และทฤษฎีพื้นฐานที่นิยมใช้ในการทำนายการครากตัวของโลหะแผ่นคือทฤษฎีความเค้นเฉือนสูงสุด (Treska Yield Theory) ทฤษฎีฟอนมิเชล (Von Misses Theory) และทฤษฎีของฮิลล์ (Hill Theory) ในส่วนของทฤษฎีความเค้นเฉือนสูงสุดและทฤษฎีของฟอนมิเชลจะมีข้อสมมุติฐานว่าวัสดุมีคุณสมบัติทางกลเท่ากันทุกทิศทาง (Isotropy) ส่วนทฤษฎีของฮิลล์ จะพิจารณาอิทธิพลของโลหะที่ผ่านการรีด (Anisotropy) ในการใช้กฎเกณฑ์การครากสำหรับการวิเคราะห์ชิ้นงานนี้จะใช้ทฤษฎีการครากของฮิลล์ ทฤษฎีนี้หมายสำหรับวัสดุโลหะแผ่นที่มีคุณสมบัติแอนไอโซทรอปิก [9]

2.1.3 เกณฑ์การคราก (Yield Criteria)

ทฤษฎีของฟอนมิเชลหรือเรียกอีกชื่อหนึ่งว่าทฤษฎีพลังงานแปรรูป (Distortion Theory) ซึ่งฟอนมิเชล ได้เสนอว่าการครากจะเกิดขึ้นเมื่อพลังงานแปรรูปภายในเนื้อวัสดุอยู่ในสภาพที่แรงกระทำมีค่าเท่ากับพลังงานแปรรูป จากการทดสอบแรงดึงของวัสดุทดสอบ ซึ่งก็คือค่าความเค้นเบี่ยงเบนอันดับสอง J_2 ซึ่ง $J_2 = k_2$

$$J_2 = \frac{1}{6} [(\sigma_1 - \sigma_2)^2 + (\sigma_2 - \sigma_3)^2 + (\sigma_3 - \sigma_1)^2] \quad (2.9)$$

ในกรณีของชิ้นทดสอบที่ได้รับแรงดึง $\sigma_1 = \sigma_o, \sigma_2 = \sigma_3 = \sigma_o$

$$J_2 = \frac{1}{6} (\sigma_o^2 + \sigma_o^2) = k \quad (2.10)$$

$$\sigma_o = \sqrt{3}k \quad (2.11)$$

เมื่อ σ_o คือความเค้นคราก

k คือความเค้นเฉือนสูงสุดที่ได้จากการทดสอบดึงวัสดุ

สำหรับวัสดุทดสอบที่ได้รับแรงเนื้อเพียงอย่างเดียว $\tau = \sigma_1 = -\sigma_3, \zeta_2 = 0$ เมื่อแทนลงในสมการที่ 2.9 [9] จะได้สมการการครากคือ

$$\sigma_1^2 + \sigma_1^2 + 4\sigma_1^2 = 6k \quad (2.12)$$

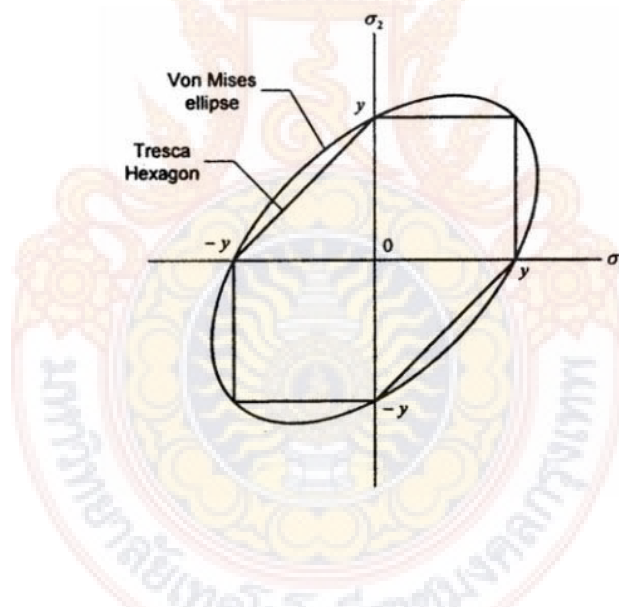
$$\sigma_1 = k \quad (2.13)$$

จากสมการที่ 2.11 และ 2.13 จึงสามารถหาค่า k ได้คือ

$$k = \frac{\sigma_o}{\sqrt{3}} = \sigma_1 \quad (2.14)$$

จาก $j_2 = k^2$ สามารถจัดสมการที่ 2.9 และ 2.14 ได้เหมือนกัน

$$\sigma_o = \frac{1}{\sqrt{2}} [(\sigma_1 - \sigma_2)^2 + (\sigma_2 - \sigma_3)^2 + (\sigma_3 - \sigma_1)^2]^{\frac{1}{2}} \quad (2.15)$$



ภาพที่ 2.3 เปรียบเทียบกรอบการแตกหัก [9]

จะเห็นได้ว่าการครากจะเกิดขึ้นเมื่อความเค้นมีค่าเท่ากับ $\frac{1}{\sqrt{3}}$ เท่าของความเค้นครากที่ได้จากการตึงวัสดุทดสอบ เมื่อเปรียบเทียบทฤษฎีทั้งสองโดยพิจารณาจากภาพที่ 2.3 ซึ่งแสดงกรอบการแตกหักของวัสดุพบว่าทฤษฎีของฟอนมิเชล์ ให้ผลการทำนายการครากใกล้เคียงมากกว่าทฤษฎีความเค้นเฉือนสูงสุดสำหรับงานขี้นรูปโลหะแผ่น [9]

2.1.4 ทฤษฎีแอนไอโซทรอปีของ Hill 1948

ได้เสนอการพิจารณาพลาสติกแอนไอโซทรอปีโดยไม่คำนึงถึงรูปร่องร่องเดิม โดยสมมติว่า วัสดุเอกสารพันธุ์แสดงคุณลักษณะโดยแกนไอโซทรอปี 3 แกนตั้งจากกันคือ x, y และ z ซึ่งคุณสมบัติ สมมาตรสองหน้า (ระนาบ $x-y$, $y-z$ และ $z-x$ คือระนาบสมมาตร) ในแผ่นรีดมักใช้ทิศทาง x, y และ z เป็นทิศทางรีด ทิศทางขวางการรีด และทิศทางความหนาตามลำดับ ทฤษฎีนี้ยังสมมติว่า ความต้านแรงดึงครากและแรงกดครากในทิศทางที่กำหนดมีค่าเท่ากันกับทั้งสองคราก แอนไอโซทรอปิกที่เสนออยู่ในรูป [10]

$$2f(\sigma_{ij}) = F(\sigma_y - \sigma_z)^2 + G(\sigma_z - \sigma_x)^2 + H(\sigma_x - \sigma_y)^2 + 2L\tau_{yz}^2 + 2M\tau_{zx}^2 + 2N\tau_{xy}^2 \quad (2.16)$$

เมื่อ F, G, H, L, M และ N คือค่าคงตัวซึ่งแสดงคุณลักษณะของแอนไอโซทรอปิก สังเกตว่าถ้า $F=G=H$ และ $L=M=N=3F$ สมการนี้ลดรูปลงเป็นเกณฑ์ของฟอนมิเชส ค่าคงตัว F, G และ H สามารถประเมินได้จากการทดสอบการดึง

พิจารณาการทดสอบในทิศทาง x และให้ X เป็นความเค้นดึงคราก ขณะคราก

$$\sigma_x = X$$

$$\sigma_y = \sigma_z = \tau_{ij} = 0$$

ดังนั้น สมการที่ 2.16 เป็น

$$(G+H)X^2 = 1 \quad (2.17)$$

หรือ

$$X^2 = \frac{1}{(G+H)}$$

ในทำนองเดียวกัน ถ้า Y และ Z คือความเค้นดึงครากในทิศทาง y และ z

$$\begin{aligned} X^2 &= \frac{1}{G+H} \\ Y^2 &= \frac{1}{H+F} \\ Z^2 &= \frac{1}{F+G} \end{aligned} \quad (2.18)$$

แก้สมการพร้อมกันได้

$$\begin{aligned} 2F &= \frac{1}{Y^2} + \frac{1}{Z^2} - \frac{1}{X^2} \\ 2G &= \frac{1}{Z^2} + \frac{1}{X^2} - \frac{1}{Y^2} \\ 2H &= \frac{1}{X^2} + \frac{1}{Y^2} + \frac{1}{Z^2} \end{aligned} \quad (2.19)$$

ในกรณีของโลหะแผ่นวัด Z ได้ยก ค่าคงตัว L , M และ N สามารถหาได้จากการทดสอบการเลือนกฎการให้ความสามารถหาได้โดยใช้สมการ

$$d\varepsilon_{ij} = d\lambda \frac{\partial f(\sigma_{ij})}{\partial f(\sigma_{ij})} \quad (2.20)$$

เมื่อ $f(\sigma_{ij})$ คือพงก์ชั้นการคราก (ใช้ได้กับสดุและไอโซทรอปิกและไอโซทรอปิก) หากนุพนธ์ของสมการที่ 2.20 ได้กฎการให้

$$\begin{aligned} d\varepsilon_x &= d\lambda \left[H\left(\sigma_x - \sigma_y\right) + G\left(\sigma_x - \sigma_z\right) \right], d\varepsilon_{yx} = d\varepsilon_{zy} = d\lambda L\tau_{yz} \\ d\varepsilon_y &= d\lambda \left[F\left(\sigma_y - \sigma_z\right) + H\left(\sigma_y - \sigma_x\right) \right], d\varepsilon_{zx} = d\varepsilon_{xz} = d\lambda L\tau_{zx} \\ d\varepsilon_z &= d\lambda \left[H\left(\sigma_z - \sigma_y\right) + G\left(\sigma_z - \sigma_x\right) \right], d\varepsilon_{xy} = d\varepsilon_{yx} = d\lambda L\tau_{xy} \end{aligned} \quad (2.21)$$

ในการหากฎให้สำหรับความเครียดเฉือน $d\varepsilon_{yz}$, $d\varepsilon_{zx}$ และ $d\varepsilon_{xy}$ ต้องเขียนเกณฑ์การคราก สมการที่ 2.16 ใหม่ เพื่อให้พจน์ของความเค้นเฉือนปราศจากในรูป

$$L(\tau_{yz}^2 + \tau_{zy}^2) + M(\tau_{zx}^2 + \tau_{xz}^2) + N(\tau_{xy}^2 + \tau_{yx}^2)$$

มีฉะนั้นแล้วอนุพันธ์ย่อยจะทำให้ได้ผลลัพธ์ที่ใช้เมื่อได้คือ $d\varepsilon_{yz} = 2 \cdot d\lambda L \tau_{yz}$ และ $d\varepsilon_{zy} = 0$ แสดงว่าสมการที่ 2.21 คือ $d\varepsilon_x + d\varepsilon_y + d\varepsilon_z = 0$ แสดงว่าปริมาตรคงตัวพิจารณาการทดสอบการดึงในทิศทาง x อีกรังหนึ่ง แทนค่า $\sigma_x = X$, $\sigma_y = \sigma_z = 0$ ในสมการ 2.21 ได้ความเครียด

$$\begin{aligned} d\varepsilon_x &= d\lambda(H + G)X \\ d\varepsilon_y &= -d\lambda(H)X \\ d\varepsilon_z &= -d\lambda(G)X \end{aligned} \quad (2.21)$$

เนื่องจากอัตราส่วนความเครียดสำหรับการทดสอบการดึงในทิศทาง x นิยามว่า

$$\begin{aligned} R &= R_0 = \left(\frac{d\varepsilon_y}{d\varepsilon_z} \right) \\ \text{ดังนั้น} \\ R &= \frac{H}{G} \end{aligned} \quad (2.22)$$

ในทำนองเดียวกัน นิยามให้ $P = R_{90}$ คืออัตราส่วนความเครียดในทิศทางแกน Y $P = d\varepsilon_x / d\varepsilon_z$ เมื่อ $\sigma_y = Y$ และ $\sigma_x = \sigma_z = 0$ จากสมการที่ 2.21 ได้

$$P = \frac{H}{F} \quad (2.23)$$

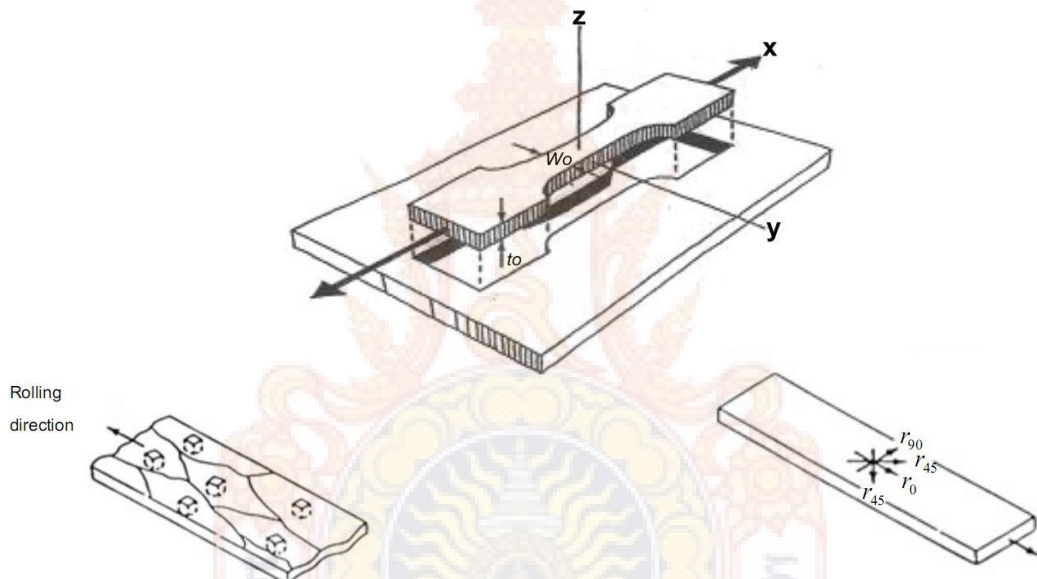
2.1.5 พลาสติกแอนไอโซทรอปี (Plastic Anisotropy)

สาเหตุที่สำคัญมากที่สุดซึ่งทำให้โลหะมีคุณสมบัติพลาสติกแอนไอโซทรอปิกก็คือ ทิศทางของเกรนทิศทางที่เป็นไปหรือเนื้อของรูปผลึกที่พัฒนาขึ้นในเหล็กล้วนเกิดจากการหมุนของ แลคทิชในเกรนระหว่างการเปลี่ยนรูป โดยการสลิปหรือการทวน (Twining) พฤติกรรมการเปลี่ยนรูป ของขึ้นทดสอบการดึงที่เป็นแผ่นแบบ ตัดออกมากจากแผ่นรีด เมื่อได้รับแรงดึงในแนวแกน สามารถเกิด การครากได้เฉพาะโดยการสลิปในระนาบความต้านแรงดึงครากของขึ้นทดสอบที่ตัดทำมุม θ กับทิศทางการรีดไม่แปรผันกันมากนัก ผลสรุปอย่างผิดพลาดว่าวัสดุเป็นไอโซทรอปิก ความผิดพลาดอาจ

เกิดขึ้นได้ถ้าวัดความตึงเครียดในแนววางซึ่งเป็นผลมาจากการดึง ถ้าทิศทางเป็นอุดมคติ ความหนาไม่เปลี่ยนแปลงหรือเปลี่ยนแปลงน้อยมาก การยืดในแนวยาวมีผลทำให้ความกว้างซึ่งทดสอบลดลง [10]

พารามิเตอร์ที่มีประโยชน์คืออัตราส่วน R ของความเครียดพลาสติกเมื่อ w และ t คือ ทิศทางความกว้างและความหนาของชิ้นทดสอบการดึงตามลำดับ ดังนั้น $\varepsilon_w = \ln(w/w_o)$ และ $\varepsilon_t = \ln(t/t_o)$ สำหรับวัสดุไฮดรอปิก $R = 1$

$$R = \frac{\varepsilon_w}{\varepsilon_t} = \frac{\varepsilon_y}{\varepsilon_z} \quad (2.24)$$



ภาพที่ 2.4 ชิ้นทดสอบตามทิศทางการรีด [9]

ภาพที่ 2.4 ในการวัดค่า R ถึงแม้ว่า มีนิยามว่า เป็นอัตราส่วนของความเครียดในแนวกว้าง ε_w ต่อแนวหนาความเครียดในแนวหนา ε_t ไม่สามารถวัดได้อย่างแม่นยำนัก เพราะฉะนั้น ความเครียดในแนวหนานักหากได้จากการวัดความเครียดในแนวยาวและแนวกว้างโดยใช้ปริมาตรคงตัว $\varepsilon_t = (\varepsilon_l + \varepsilon_w)$ เพื่อการวัดที่แม่นยำ ควรใช้ภาคตัดลูกบาศก์ให้ค่อนข้างยาวมากเมื่อเทียบกับความกว้าง และภาคตัดทดสอบที่ใช้วัดค่า ε_l และ ε_w ควรอยู่ห่างจากบ่ามาก

บางครั้งค่า R ไม่แปรผันตามความเครียด เพราะฉะนั้น อัตราส่วนของความเครียดที่เพิ่มขึ้น $d\varepsilon_w / d\varepsilon_t = R$ ค่า R คงตัวเมื่อความสำคัญเมื่อใช้ R ประเมินค่าคงตัวในกรณีการครากไฮดรอปิก

สำหรับเหล็กกล้าค่า R และโมดูลัสยึดหยุ่น E มักแปรผันคล้ายกันตามเนื้อรูปผลึก แม้ว่า สหสัมพันธ์พื้นฐานไม่แน่นตรง แต่ก็มีพื้นฐานสำหรับใช้กับเครื่องมือวัดเชิงอุตสาหกรรมขนาดเล็กซึ่งวัด ค่า E ของแผ่นแบบบางด้วย Sonic Velocity และปรับให้อ่านค่า R ได้ โดยปกติค่า R มักแปรผันตาม ทิศทางทดสอบ θ และมักใช้แสดงคุณลักษณะของวัสดุโดยค่า R เมื่อยกคือ \bar{R}

$$\bar{R} = \frac{R_0 + 2R_{45^\circ} + R_{90^\circ}}{4} \quad (2.25)$$

2.1.6 ความเครียดแข็ง (Strain Hardening)

ความเครียดแข็งเกิดขึ้นกับวัสดุที่มีคุณสมบัติเหนี่ยวที่ใช้งานขึ้นรูปเย็น เมื่อวัสดุ ได้รับแรงกระทำผ่านจุดครากตัวทำให้เกิดความเครียดสะสมขึ้นภายในวัสดุ จึงต้องใช้แรงที่มาก กว่าเดิมในการทำให้วัสดุเปลี่ยนรูปร่าง สำหรับการวิเคราะห์วัสดุแบบ อิลาสติก – พลาสติก ได้แสดง พฤติกรรมความเครียดแข็งของวัสดุ ดังนี้

ความสัมพันธ์ระหว่างความเค้นและความเครียดในช่วงการเปลี่ยนรูปยึดหยุ่น จะเป็น ในลักษณะเชิงเส้นการเพิ่มขึ้นของแรงกระทำจะทำให้เกิดความเครียดเป็นสัดส่วนซึ่งหลักการนี้ จะเป็นไปตามกฎของฮุก (Hooke's Law) [11]

$$\sigma = E\varepsilon \quad (2.26)$$

เมื่อ σ คือ ค่าความเค้น

E คือ ค่าโมดูลัสของความยึดหยุ่นหรือโมดูลัสของยัง

ε คือ ค่าความเครียด

สำหรับคุณสมบัติทางกลของวัสดุที่ใช้ในการวิเคราะห์การดึงขึ้นรูปในช่วงพลาสติกครั้งนี้ เป็นไปตามกฎกำลัง (Power Law) [12]

$$\sigma = K\varepsilon^n \quad (2.27)$$

เมื่อ K คือ สัมประสิทธิ์ความต้านแรง (Strength coefficient)

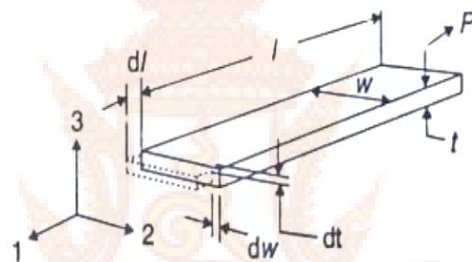
n คือ เลขยกกำลังของความเครียดแข็ง (Strain - hardening exponent)

สำหรับค่าตัวเลขยกกำลังหรือความเครียดแข็ง n และค่าสัมประสิทธิ์ความต้านแรง K สามารถหาได้โดยทำการใส่ค่า \log เข้าไปในสมการยกกำลังซึ่งทำให้สามารถได้สมการใหม่

$$\log \sigma = n \log \varepsilon + \log K \quad (2.28)$$

2.2 กระบวนการพื้นฐานของโลหะแผ่น และระบบความเค้น (General Sheet Processes ; Plan stress)

ภาพที่ 2.5 เป็นการทดสอบการดึงเป็นแนวทางกระบวนการหาระนาบความเค้น (Plane stress) การทดสอบการดึงแกนเดียว (Uniaxial tension) คือการแสดงตัวอย่างของการเปลี่ยนรูปแบบระบบความเค้น การดึงแกนเดียว (Uniaxial tension) ให้พิจารณาจุดเล็ก ๆ ในชั้นทดสอบในการดึงให้เปลี่ยนรูปแกนเดียวทำการทดสอบเริ่มจากการเปลี่ยนรูปทีละน้อยจนถึงสุด宛如พื้นที่หน้าตัดระหว่างเปลี่ยนรูปลักษณะของจุดเล็ก ๆ (Element) ยังคงตั้งฉากแต่ละทิศทางไม่มีความเคลื่อนที่เกี่ยวกับทิศทางหลัก 1, 2, 3



ภาพที่ 2.5 ทิศทางหลักในการทดสอบแรงดึง [9]

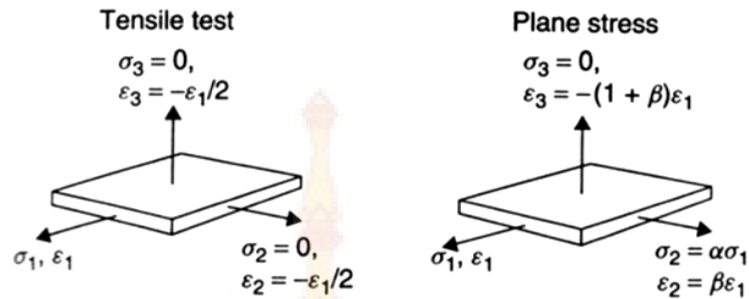
ในทางตรงกันข้ามในการทดสอบการดึง 2 ความเค้นหลักมีค่า เป็นศูนย์ในลักษณะชั้นส่วนเล็ก ๆ ที่เปลี่ยนรูปค่าความเค้น 1 และ 2 ไม่เท่ากับศูนย์ ความเค้น 3 คือตั้งฉากกับผิว แท้จริงเกิดจากการสัมผัสระหว่างแผ่นบางกับ Tooling โดยทั่วไปแล้วน้อยกว่าจุด Yield ของวัสดุ จะให้เป็นศูนย์ได้และให้เป็น Plane stress deformation [9]

2.2.1 อัตราส่วนความเค้นและความเครียด (Stress and strain ratios) [2]

ในความหมายเฉพาะที่กล่าวถึงการเปลี่ยนรูปของจุดเล็ก ๆ Element ในแต่ละเหมือนของอัตราส่วนความเครียด (Strain ratio , β) หรืออัตราส่วนความเค้น (Stress ratio , α) สำหรับวิธี Proportional ค่าความจริงที่ใกล้เคียงที่สุด ดังรูปที่ 2.6

ในหลักทิศทางดังนี้ให้ $\sigma_1 > \sigma_2$ และทิศทางทั้งสามตั้งฉากกับพื้นผิว เมื่อ $\sigma_3 = 0$ ลักษณะการเปลี่ยนรูป

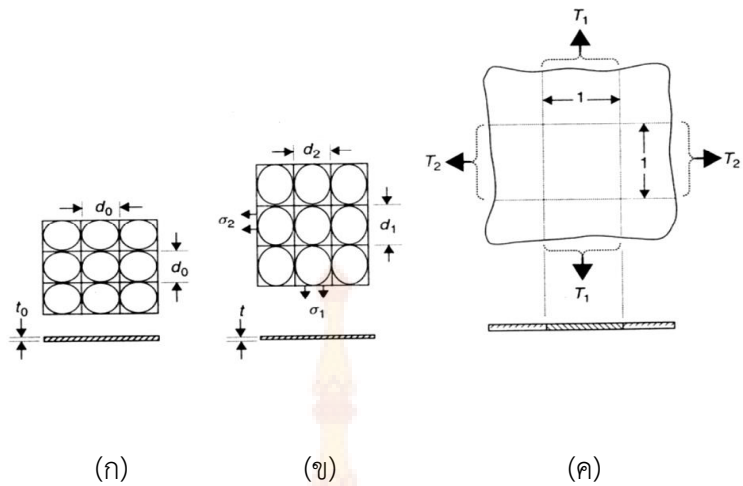
$$\begin{array}{lll} \varepsilon_1; & \varepsilon_2 = \beta\varepsilon_1; & \varepsilon_3 = -(1+\beta)\varepsilon_1 \\ \sigma_1; & \sigma_2 = \alpha\sigma_1; & \sigma_3 = 0 \end{array}$$



ภาพที่ 2.6 ทิศทางหลักของความเค้นและความเครียด [9]

2.2.2 การเปลี่ยนรูปของโลหะแผ่นในระนาบความเค็น (Deformation of Sheet in Plane Stress)

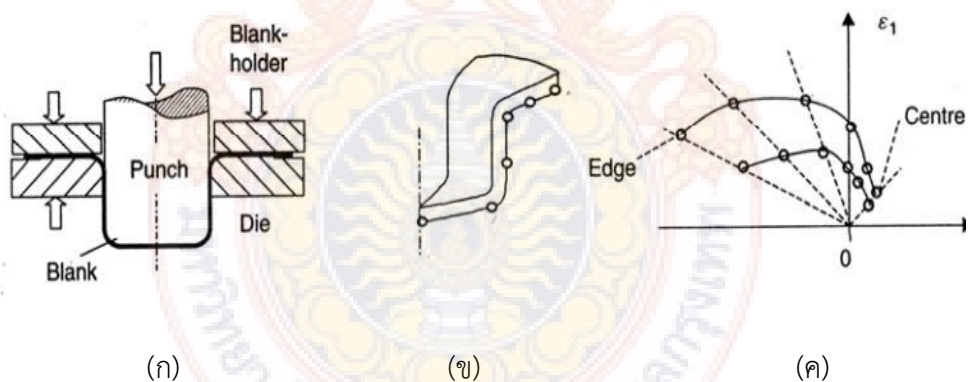
ในขณะที่มีการเปลี่ยนรูปบนระนาบความเค็น (Plane stress) พิจารณา (Work hardening) ของวัสดุ ซึ่งเข้ากำลังประยุกต์ใช้ทฤษฎีสัดส่วนการเปลี่ยนรูป ในภาพที่ 2.7 ลักษณะที่ยังไม่มีการเปลี่ยนรูปที่ความหนา t_0 ขนาดเส้นผ่านศูนย์กลาง d_0 หรือตารางขนาด d_0 ดังภาพที่ 2.7 (ก) ดังนั้นในระหว่างการเปลี่ยนรูปวงกลมจะเปลี่ยนไปเป็นวงรี แกนของ Major คือ d_1 และแกนของ Minor คือ d_2 ถ้าปรับตารางสี่เหลี่ยมให้เข้ากับทิศทางหลักของกริดวงกลม จะกลายเป็นสี่เหลี่ยมผืนผ้า ดังภาพที่ 2.7 (ข) ส่วนความหนา คือ t ตามที่กรณี ดังภาพที่ 2.7 (ค) ความเค็นที่ทำให้เปลี่ยนรูปคือ σ_1 และ σ_2 [13]



ภาพที่ 2.7 (ก) วงกลมบนโลหะแผ่น ขณะที่ยังไม่เปลี่ยนรูป (ข) เมื่อมีการเปลี่ยนรูปกริดวงกลมจะเปลี่ยนเป็นรูปวงรี ขนาดของแกนหลักคือ d_1 และขนาดแกนรองคือ d_2 (ค) การดึง, T , หรือแรงส่งผ่านต่อหน่วยความกว้าง [13]

2.2.3 แผนภาพความเครียด (Strain diagram)[9]

ความเครียดเฉพาะจุดที่เกิดขึ้น ดังภาพที่ 2.8 สามารถวัดได้จากการดึงในภาพที่ 2.7



ภาพที่ 2.8 (ก) การขีนรูปถัวยทรงกระบอก (ข) ขีนส่วนย่อของถัวยทรงกระบอกแสดงค่าความเครียดที่วัดได้ (ค) ผลค่าความเครียดที่ได้จากการขีนรูปถัวยทรงกระบอก [9]

2.2.4 ค่าความเครียดหลัก (Principal Strains)[9]

ความเครียดหลักที่เกิดขึ้นจุดสุดท้ายของกระบวนการ

$$\varepsilon_1 = \ln \frac{d_1}{d_0} ; \quad \varepsilon_2 = \ln \frac{d_2}{d_0} ; \quad \varepsilon_3 = \ln \frac{t}{t_0} \quad (2.30)$$

2.2.5 อัตราส่วนของความเครียด (Strain ratio) [9]

โดยปกติเส้นแนวความเครียด (Strain Path) ยังคงเป็นสัดส่วนเส้นตรง ดังสมการที่

$$\beta = \frac{\varepsilon_2}{\varepsilon_1} = \frac{\ln\left(\frac{d_2}{d_0}\right)}{\ln\left(\frac{d_1}{d_0}\right)} \quad (2.31)$$

2.2.6 ความเครียดหนาและความหนา (Thickness strain and Thickness) [9]

จากสมการ 2.30 ความเครียดหาได้โดยการวัดความหนาหรือหาได้จากการความเครียดหลัก(Major strain) ความเครียดร่อง (Minor strain) โดยให้พิจารณาวัดการเปลี่ยนรูปที่ปริมาตรคงที่

$$\varepsilon_3 = \ln \frac{t}{t_0} = -(1 + \beta)\varepsilon_1 = -(1 + \beta)\ln \frac{d_1}{d_0} \quad (2.32)$$

จากสมการ 2.32 ความหนาโดยทั่วไปคือ

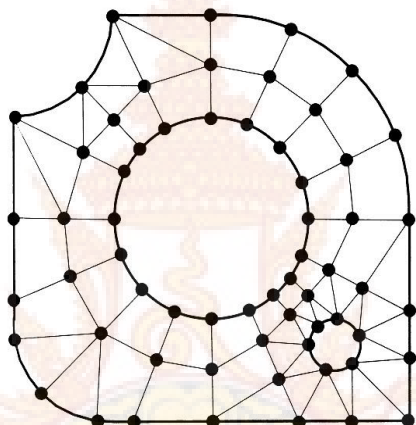
$$t = t_0 \exp(\varepsilon_3) = t_0 \exp[-(1 + \beta)\varepsilon_1] \quad (2.33)$$

หรืออีกแนวทางหนึ่งที่ปริมาตร $td_1d_2 = t_0d_0^2$ ที่ปริมาตรคงที่

$$t = t_0 \frac{d_0^2}{d_1 d_2} \quad (2.34)$$

2.3 ทฤษฎีไฟไนต์เอลิเมนต์

ในการวิเคราะห์ปัญหาใดปัญหานั่ง ปัญหานั้นมักประกอบด้วยสมการเชิงอนุพันธ์และเงื่อนไขขอบเขตที่กำหนดมาให้ ผลเฉลยแม่นตรง (exact solution) ที่ประดิษฐ์ขึ้นมาได้จะประกอบด้วยค่าของตัวแปรตามตำแหน่งต่าง ๆ กันบนรูปร่างลักษณะของปัญหานั้นหรือกล่าวอีกนัยหนึ่งคือ ผลเฉลยแม่นตรงจะประกอบด้วยค่าต่าง ๆ จำนวนมากตามเช่นนี้ซึ่งสำหรับปัญหาในทางปฏิบัตินั้นเป็นไปไม่ได้ หลักการคือทำการลดค่าทั้งหมดที่มีจำนวนอนันต์ค่านั้นมาเป็นค่าโดยประมาณในจำนวนที่นับได้ (finite) ด้วยการแทนรูปร่างลักษณะของปัญหาด้วยเอลิเมนต์(elements) ดังภาพที่ 2.12 ซึ่งมีขนาดต่าง ๆ กัน [14]



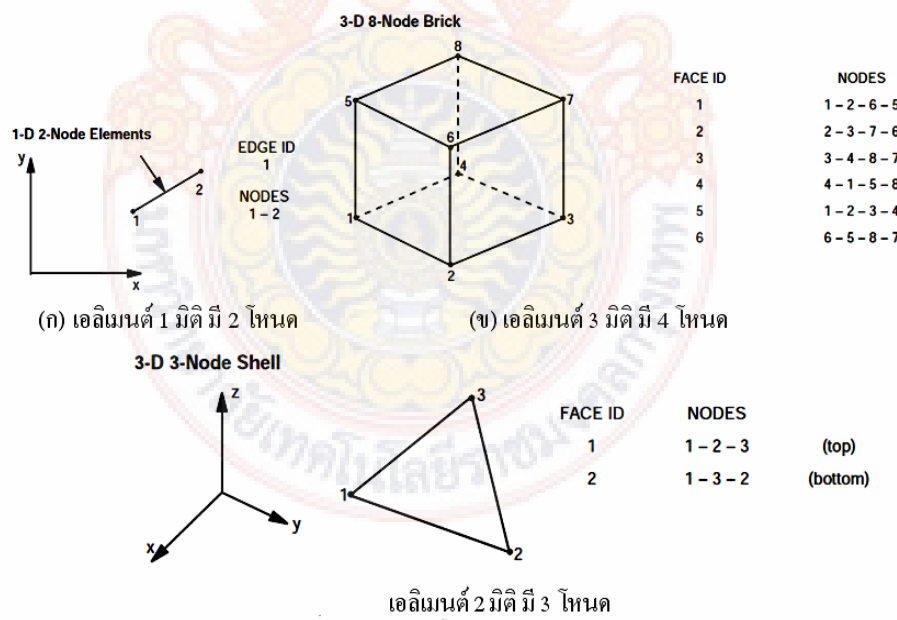
ภาพที่ 2.9 การวิเคราะห์หาผลเฉลยบนแผ่นกระดาษโดยใช้ระเบียบวิธีไฟไนต์เอลิเมนต์ [14]

ระเบียบการไฟไนต์เอลิเมนต์ (Finite Element Analysis : FEA) เป็นเทคนิคการวิเคราะห์เชิงตัวเลขเพื่อให้ได้ผลลัพธ์โดยประมาณของปัญหาที่หลากหลายในทางวิศวกรรม [15] ซึ่งประกอบด้วยสมการควบคุมระบบ และใช้เงื่อนไขขอบเขตเพื่อแก้สมการ ในระเบียบการไฟไนต์เอลิเมนต์จะแบ่งโดเมนต์ของปัญหาออก成ส่วนย่อยๆ เรียกว่า เอลิเมนต์ (Element) ซึ่งแต่ละเอลิเมนต์จะเชื่อมกันด้วยจุดโหนด (Node) ดังนั้น เพื่อให้ได้ผลลัพธ์ของปัญหาโดยประมาณต้องนำสมการควบคุมระบบมาสร้างสมการไฟไนต์เอลิเมนต์ของแต่ละเอลิเมนต์บนโดเมน จากนั้นจึงทำการแก้ปัญหาดังกล่าวซึ่งจะได้ผลเฉลยของปัญหาที่จุดต่อบนโดเมน แม้การพัฒนาระเบียบการไฟไนต์เอลิเมนต์แรกเริ่มเดิมที่จะเน้นไปที่การศึกษาความเดินในโครงสร้างที่ซับซ้อน ตั้งแต่นั้นระเบียบการไฟไนต์เอลิเมนต์ได้ถูกนำไปประยุกต์ใช้งานอย่างกว้างขวางในสายงานที่เกี่ยวเนื่องทางกลศาสตร์ เพราะระเบียบการนี้มีความ

หลากหลาย อีกทั้งเป็นเครื่องมือวิเคราะห์ที่มีความยืดหยุ่นได้ ซึ่งทำให้ได้รับความสนใจในสถานศึกษา ทางด้านวิศวกรรม และในอุตสาหกรรม [16] ที่กล่าวข้างต้นจะเบี่ยงการไฟไนต์เอลิเมนต์สามารถ นำมาประยุกต์ใช้ในงานวิเคราะห์ได้ดังนี้ ความแข็งแรงของโครงสร้าง (Structural Analysis) ระบบ ของความร้อน (Thermal System Analysis) การไหล และการไหลที่มีการนำพาความร้อน (Flow Analysis and Flow Convection Heat Transfer) กระบวนการเปลี่ยนรูปร่างของวัสดุเมื่อได้รับ ความร้อน (Thermo Mechanical Process Analysis) เช่น การตีขึ้นรูป (Forging) การรีดขึ้นรูป (Rolling) งานฉีดขึ้นรูป (Injection Molding) ฯลฯ [16]

2.3.1 โหนด (Node)

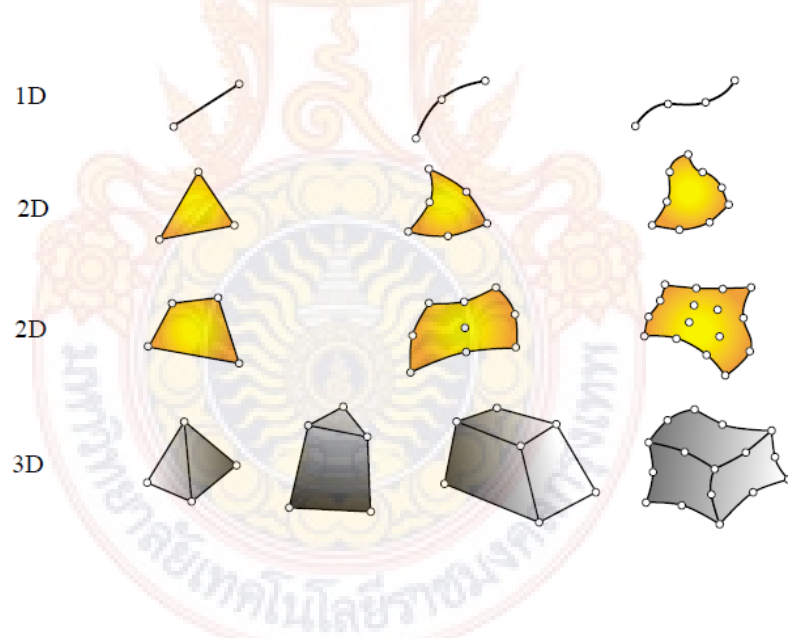
ภาพที่ 2.10 โหนดเป็นตัวช่วยเชื่อมต่อโครงสร้างชิ้นเล็กๆ ที่เรียกว่าเอลิเมนต์ (Element) แต่ละเอลิเมนต์ให้ติดกันด้วยจุดของโหนด นอกจากนี้โหนดยังช่วยในการกำหนดรูปร่าง ของเอลิเมนต์ที่มีองค์ประกอบ โดยปกติแล้วโหนดจะอยู่ที่มุมของเอลิเมนต์ หรือ จุดของเอลิเมนต์ แล้ว กลุ่มของเอลิเมนต์ และโหนดจะอยู่ติดกันเป็นกลุ่มที่เรียกว่า แบบจำลองไฟไนต์เอลิเมนต์ (Finite Element Model) จะเป็นตัวแทนของชิ้นงานเพื่อนำไปจำลองเป็นสมการเมทริกซ์ (Matrix) เพื่อนำไป คำนวณทีขั้บช้อนต่อไป [17]



ภาพที่ 2.10 โหนดในเอลิเมนต์แต่ละมิติ [18]

2.3.2 เอลิเมนต์ (Element)

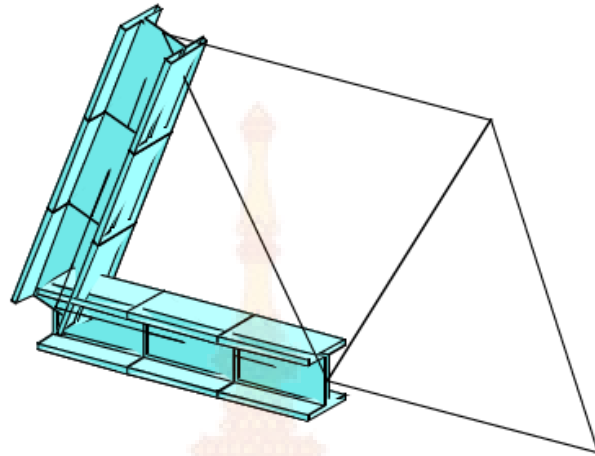
โดยแท้แล้วเอลิเมนต์จะมีติดอยู่ 1 ถึง 3 มิติ ดังภาพที่ 2.11 นอกจากนี้ยังมีเอลิเมนต์ชนิดพิเศษที่มีลักษณะ 0 มิติ ดังเช่น กลุ่มของจุด (Lumped Springs) เป็นที่ทราบกันอยู่แล้วว่าเอลิเมนต์ที่ลักษณะ 1 มิติ จะเป็นเส้นตรง เส้นโค้ง (Beam Element) มากใช้ในการวิเคราะห์งานลักษณะที่เป็นโครง เอลิเมนต์ 2 มิติ (Shell Element) จะเป็นรูปร่างรูปสามเหลี่ยม สี่เหลี่ยมที่มีความเหมาะสมสมกับการวิเคราะห์งานที่เป็นพื้นผิว (Surface) ผนังบาง สุดท้ายแบบ 3 มิติ (Solid Element) โดยปกติส่วนมากรูปทรงเป็นแบบ Tetrahedral, Pentahedral, Hexahedral (Bricks) หรือ เป็นแบบปริซึม (Prisms) สามารถใช้กับงานที่เป็นปริมาตรตัน (Solid) ซึ่งเอลิเมนต์แต่ละมิติจะมีจุดที่สามารถสั่งเกตได้ร่าย จุดเหล่านี้เรียกว่า จุดโหนด (Nodal Points) หรือ โหนด (Node) ประโยชน์แบบที่คุณของโหนดคือ เป็นตัวกำหนดรูปร่างทางเรขาคณิตของเอลิเมนต์กับเอลิเมนต์ที่รูปร่างมีองศาเป็นแบบอิสระ โดยปกติโหนดจะตั้งอยู่ที่มุม หรือ จุดปลายของเอลิเมนต์ดังแสดงในรูป หากกว่านั้นในทางกลศาสตร์เอลิเมนต์เหล่านี้จะมีความเฉพาะเจาะจงกับพฤติกรรมของวัสดุสำหรับตัวอย่างเช่น เชิงเส้นยืดหยุ่น (Linear Elastic) ในวัสดุที่เป็นท่อน (Bar Element) [19]



ภาพที่ 2.11 ชนิดของเอลิเมนต์ตั้งแต่ 1 ถึง 3 มิติ [19]

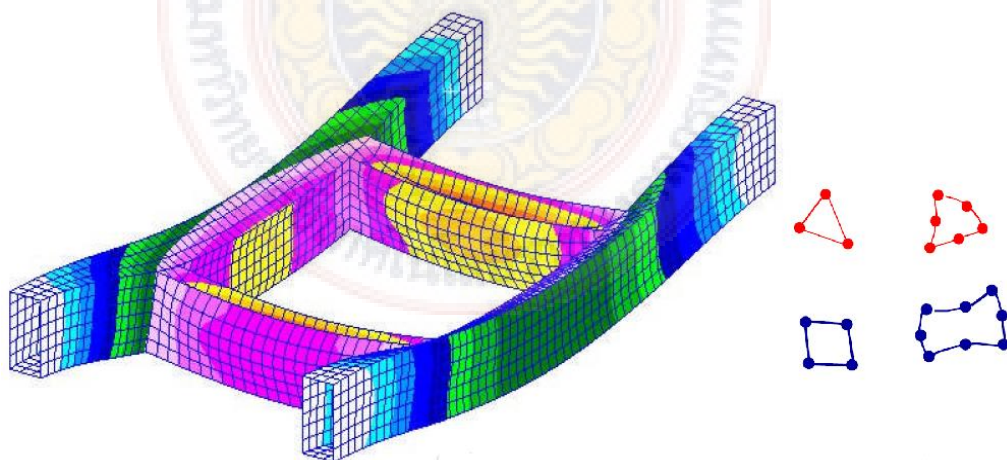
1). เอลิเมนต์ 1 มิติ ดังภาพที่ 2.12 มีลักษณะเป็นเส้น (Beam Element) เท่านั้นซึ่งมีแต่ความยาว และไม่สามารถมองเห็นพื้นที่หน้าตัด หรือพื้นผิวได้อย่างชัดเจน และนอกจากเป็นเส้น

แล้วจะไม่มีรูปทรงเรขาคณิตอื่นใดอีก เป็นแค่เพียงเส้นอาทิ เส้นตรง เส้นโค้งเท่านั้น ซึ่งมักนิยมเรียกว่า บีม (Beam) โดยเอลิเมนต์ต่อ กันหลายเอลิเมนต์จะกลายเป็นกลุ่มของเอลิเมนต์ (Mesh) [20]



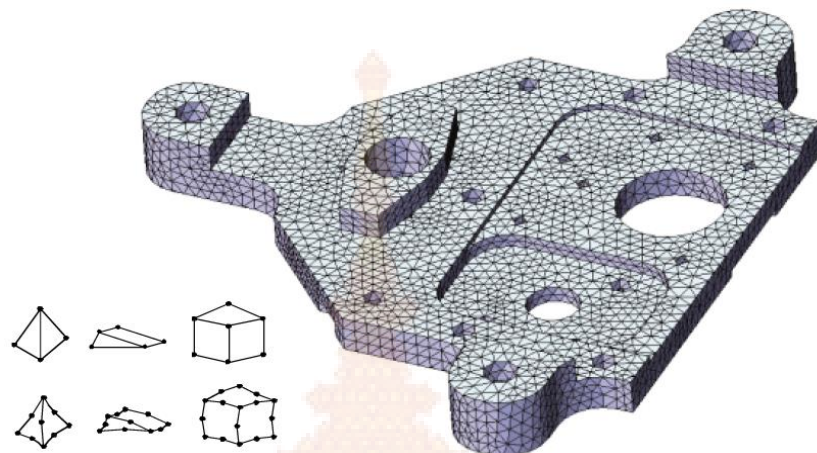
ภาพที่ 2.12 การใช้เอลิเมนต์ 1 มิติ ในงานโครงสร้าง [18]

2). เอลิเมนต์ 2 มิติ (Shell Element) ดังภาพที่ 2.13 ที่มีลักษณะเป็นรูปสามเหลี่ยม สี่เหลี่ยม โดยมีหนด 3 และ 4 โหนดตามลำดับ แต่โดยพื้นฐานแล้วจะมีขั้นต่ำ 3 โหนด เอลิเมนต์ชนิดนี้จะใช้กับงานที่เป็นพื้นผิว หรือ ผนัง ซึ่งอาจแบ่งได้เป็น ผนังบาง (Thin Shell) และผนังหนา (Thick Shell) [18]



ภาพที่ 2.13 การใช้เอลิเมนต์ 2 มิติ ในงานที่มีลักษณะเป็นผนัง [18]

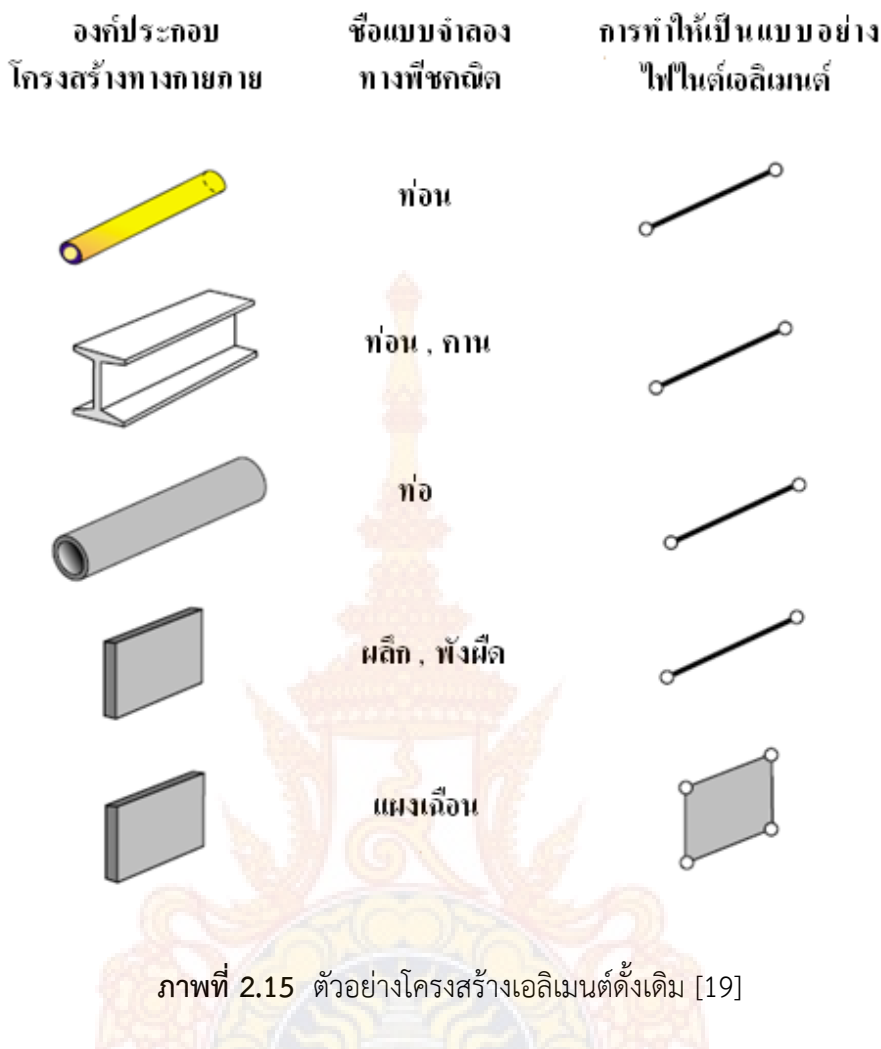
3). เอลิเมนต์ 3 มิติ (Solid Element) ดังภาพที่ 2.14 จะมีโครงสร้างเป็น 3 มิติ รูปทรงจะมีความกว้าง ยาว สูง โดยพื้นฐานของเอลิเมนต์ชนิดนี้จะมีหนาตั้งแต่ 3 ให้นดขึ้นไปเอลิเมนต์แบบนี้จะเหมาะสมกับการจำลองโครงสร้างที่มีความหนา (Thick) เมื่อเทียบกับพื้นผิว [20]



ภาพที่ 2.14 การใช้งานเอลิเมนต์ 3 มิติ ในงานที่เป็นปริมาตรตันที่มีความหนา [21]

การจัดหมวดหมู่แบ่งประเภทของระเบียบการไฟไนต์เอลิเมนต์ในทางกลศาสตร์ โครงสร้าง ความเนียนยวัณน์ ความคลุมของเอลิเมนต์บนพื้นฐานจะเกี่ยวข้องกับโครงสร้างทางกายภาพดังเดิม ที่ซึ่งแข็งหัวข้อนี้เพราเป็นส่วนย่อยของระเบียบการไฟไนต์เอลิเมนต์ ซึ่งทำให้มีความเข้าใจในเทคนิคการออกแบบจำลองชิ้นสูง ดังเช่น รายละเอียดลำดับขั้น และการวิเคราะห์โดยรวมกับเฉพาะแห่ง [19] ดังภาพที่ 2.15

ภาพที่ 2.15 แสดงโครงสร้างตั้งเดิมของเอลิเมนต์ (Primitive Structural Element) โดยเอลิเมนต์เหล่านี้จะจำแนกตามโครงสร้างกลศาสตร์โครงสร้างซึ่งเกี่ยวเนื่องกับลักษณะทางกายภาพของโครงสร้าง เอลิเมนต์ทั้งหลายเหล่านี้ปกติมาจากการกลศาสตร์ของวัสดุ (Mechanics of Materials) ซึ่งทำให้ง่ายต่อการเข้าใจ ทฤษฎีทางกายภาพของวัสดุมากกว่าทางคณิตศาสตร์ ดังตัวอย่างภาพที่ 2.15 เอลิเมนต์มีลักษณะเป็น แท่ง (Bars), ก้าน (Cables) และเส้น (Beams) [18]



ภาพที่ 2.15 ตัวอย่างโครงสร้างเอลิเมนต์ตั้งเดิม [19]

สำหรับการแบ่งเอลิเมนต์ในกระบวนการวิเคราะห์ไฟฟ้าเน็ตเอลิเมนต์ จะเป็นต้องแบ่งชิ้นส่วนออกเป็นเอลิเมนต์ที่เกี่ยวโยงกันด้วยจุดต่อ (Node) โดยการแบ่งชิ้นส่วนออกเป็นเอลิเมนต์สามารถใช้หลักการดังนี้ คือ ควรหลีกเลี่ยงการแบ่งเอลิเมนต์ที่มีรูปร่างผิดปกติ เช่น เอลิเมนต์ที่มีมุมป้านมากๆ หรือสี่เหลี่ยมผืนผ้าที่มีด้านยาวมากๆ เอลิเมนต์ที่มุมแอบมากๆ และมีลักษณะอัตราส่วนกว้าง (Large Aspect Ratio) เป็นต้น ควรเลือกใช้เอลิเมนต์ที่เป็นสี่เหลี่ยมด้านเท่าจะดีมาก หรืออัตราส่วนระหว่างความกว้างต่อกว้างยาวมีค่าเข้าใกล้หนึ่ง อีกทั้งควรใช้เอลิเมนต์ขนาดเล็กๆ เพื่อให้ได้ผลการวิเคราะห์ที่ละเอียดในส่วนที่มีความหนาแน่น และแบ่งเอลิเมนต์ขนาดใหญ่ขึ้นในบริเวณที่ใกล้ออกไป [18]

2.3.3 ความอิสระของการเคลื่อนที่ (Degree of Freedom ; DOF)

ความอิสระของการเคลื่อนที่จะเป็นตัวกำหนดสถานะของเอลิเมนต์ ซึ่งจะทำหน้าที่เรื่องจัดการ การเชื่อมต่อของเอลิเมนต์ ในการเชื่อมต่อของตัวแปรในจุดโหนด การกำหนดค่าอนุพันธ์

ตัวแปรของอิสระการเคลื่อนที่จะมีหลายค่า สำหรับความอิสระของการเคลื่อนที่จะขึ้นอยู่กับคุณสมบัติของลักษณะชนิดของการวิเคราะห์ โดยที่ความอิสระของการเคลื่อนที่จะเป็นตัวแปรที่ไม่ทราบค่า ซึ่งความอิสระของการเคลื่อนที่แต่ละชนิดสรุปได้ดังนี้ [20 , 21] ดังในตารางที่ 2.1

ตารางที่ 2.1 ลักษณะการวิเคราะห์ความอิสระของการเคลื่อนที่ของแต่ละชนิด [21 , 22]

ขอบข่าย (Discipline)	อิสระการเคลื่อนที่ (DOF)
โครงสร้าง (Structural)	การเคลื่อนที่ (Displacement)
ความร้อน (Thermal)	อุณหภูมิ (Temperature)
ไฟฟ้า (Electrical)	โวลต์ (Voltage)
ของเหลว (Fluid)	ความดัน (Pressure)
แม่เหล็ก (Magnetic)	สภาพแม่เหล็ก (Magnetic Potential)

2.3.4 การวิเคราะห์แบบเชิงเส้น และไม่เชิงเส้น (Linear and Nonlinear Analysis)

ไฟโน๊ตเอลิเมนต์จะมีความสามารถในการวิเคราะห์สมการทั้งแบบเชิงเส้น (Linear) และไม่เชิงเส้น (Nonlinear) สำหรับสมการแบบไม่เชิงเส้นจะเหมาะสมสำหรับชิ้นงาน หรือวัสดุที่มีการเสียรูปร่าง (Deformation) ไปแล้ว ดังนั้นจึงมีความยุ่งยากมากกว่า ใช้เวลาในการวิเคราะห์ที่มากกว่า ความแตกต่างระหว่างการวิเคราะห์แบบเชิงเส้น และไม่เชิงเส้น ก็คือ การวิเคราะห์แบบไม่เชิงเส้น สมการแบบไม่เชิงเส้นจะมีการเปลี่ยนแปลงค่าของเวลา เมื่อเกิดการเสียรูปร่าง เปลี่ยนแปลงรูปร่าง อีกทั้งสมบัติทางกายภาพจะเกิดการเปลี่ยนแปลงไปทำให้ค่าความแข็งเกร็ง (Stiffness) เปลี่ยนแปลงตามไปด้วย ส่วนแบบเชิงเส้น เมื่อวัสดุเกิดการเสียรูปร่าง สมบัติทางกายภาพจะไม่เปลี่ยนแปลงไปแต่จะคงที่เสมอซึ่งทำให้ค่าความแข็งเกร็ง (Stiffness) ไม่เปลี่ยนตามไปด้วย [23 , 24]

ดังนั้นก่อนที่จะวิเคราะห์ไฟโน๊ตเอลิเมนต์จึงต้องพิจารณาเสียก่อนว่า ชิ้นงานจะวิเคราะห์แบบเชิงเส้น หรือแบบไม่เชิงเส้น ทั้งนี้เพื่อความเหมาะสมเนื่องจากการวิเคราะห์แบบสถิติ (Static) และพลศาสตร์ (Dynamic) จะสามารถวิเคราะห์ได้ทั้งแบบเชิงเส้น และไม่เชิงเส้น [25]

ในการวิเคราะห์แบบไม่เชิงเส้น (Nonlinear) ถ้าแบ่งตามพฤติกรรมที่เกิดขึ้นจะแบ่งได้ออกเป็น 3 รูปแบบดังนี้

- 1) เรขาคณิตแบบไม่เชิงเส้น (Geometric Nonlinear) คือ มีสาเหตุของการเกิดจาก การเปลี่ยนแปลงทางด้านรูปทรงทางเรขาคณิต (Geometry) ประเภทการเปลี่ยนแปลงรูปร่างอย่างมาก (Large Deflection) หรือ เรียกอีกอย่างหนึ่งว่าการหมุนขนาดใหญ่ (Large Rotation) มักจะเกิดขึ้นกับวัสดุที่มีความหนึ่งเดียวสูง และมี Deflection มากเมื่อเทียบกับขนาดเส้นผ่านศูนย์กลางของวัสดุ หรือมีความสามารถในการบิดตัวได้มาก คือวัสดุมีการเสียรูป หรือ การเปลี่ยนแปลงรูปร่างอย่าง

มาก (Large Deformation) จะทำให้ค่าความแข็งเกร็ง (Stiffness) ของวัสดุ ขึ้นงานสูงขึ้นมาก กว่าเดิมตามเวลาที่ผ่านไป ซึ่งสมการทั่วไปแบบเรขาคณิตแบบไม่เชิงเส้น (Geometric Nonlinear) มีดังนี้ [22,26,27]

$$[K] = \int [B]^T [D] [B] dv \quad (2.35)$$

เมื่อ K = เมทริกซ์ความแข็งเกร็ง (Stiffness Matrix)

B = ความสัมพันธ์ระหว่างความเครียดกับการเปลี่ยนแปลงรูปร่างกรณี (Large Strain)

D = ความเคลื่อนที่อิสระของโหนด เอลิเมนต์ (DOF)

2) วัสดุแบบไม่เชิงเส้น (Materials Nonlinear) โดยปกติแล้วการวิเคราะห์วัสดุแบบยึดหยุ่นเชิงเส้น (Linear Elastic) จะอยู่ภายใต้สมมติฐานที่ว่าจะเกิดการคืนรูปอย่างสมบูรณ์เมื่อนำแรง หรือภาระกระทำออกไปแล้ว ค่าอัตราส่วนระหว่างความดัน (Stress) และความเครียด (Strain) ซึ่งเรียกว่า อิลาสติกมอดูลัส (Elastic Modulus) จะมีค่าคงที่เสมอ แต่สำหรับวัสดุบางประเภทการคืนรูปเมื่อนำแรง หรือ ภาระกระทำออกไป จะเกิดความไม่สมบูรณ์จนเกิดช่วง Plastic Strain มักเกิดจากแรงที่มาระทำกับวัสดุมีขนาดมากเกินกว่าค่าจุดคราก (Yield) จะทำให้วัสดุเกิดการเปลี่ยนรูปอย่างถาวร ซึ่งจะต้องใช้การวิเคราะห์แบบวัสดุไม่เชิงเส้น (Materials Nonlinear) ซึ่งในการวิเคราะห์จะใช้รูปแบบสมการโดยทั่วไปเหมือนกับสมการที่ 2.35 แต่แตกต่างกันที่ความเคลื่อนที่อิสระของโหนด เอลิเมนต์ (D) จะเป็นกรณี (Small Strain) อย่างเดียวเท่านั้น และความสัมพันธ์ระหว่างความเครียด กับการเปลี่ยนแปลงรูปร่าง (B) ไม่เป็นกรณี (Small Strain) [14,22,19]

$$[K] = \int [B]^T [D] [B] dv \quad (2.36)$$

เมื่อ K = เมทริกซ์ความแข็งเกร็ง (Stiffness Matrix)

B = ความสัมพันธ์ระหว่างความเครียดกับการเปลี่ยนแปลงรูปร่าง

D = ความเคลื่อนที่อิสระของโหนด เอลิเมนต์ (DOF) กรณี (Small Strain)

3) การเปลี่ยนสถานะแบบไม่เชิงเส้น (Changing Status Nonlinear) มีสาเหตุจากการเปลี่ยนแปลงสถานะจนทำให้สมบัติของวัสดุเกิดการเปลี่ยนแปลงไป ดังตัวอย่าง การดึงสลับกับการหย่อนสายเคเบิลนานๆ หรือ ยางที่ต้องสัมผัสถกับความร้อน ความเย็นสลับกันจนทำให้สมบัติของวัสดุ

เกิดการเปลี่ยนแปลงไปคือ ความสามารถในการรับแรงของวัสดุจะเปลี่ยนแปลงไปตามเวลา หรือความสมบัติด้านอุณหภูมิเปลี่ยนแปลงไป ซึ่งการวิเคราะห์ไฟฟ้าในตัวอิเล็กทรอนิกส์จะต้องวิเคราะห์แบบไม่เชิงเส้น (Nonlinear) เท่านั้น [9,28,29]

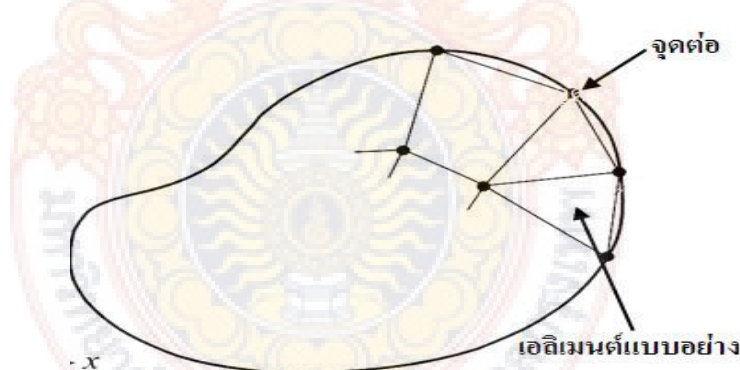
2.3.5 ขั้นตอนทั่วไปของระบบวิเคราะห์ไฟฟ้าในตัวอิเล็กทรอนิกส์

ในการใช้โปรแกรมไฟฟ้าในตัวอิเล็กทรอนิกส์ (Finite Element Software) ในการวิเคราะห์โดยปกติทั่วไปจะประกอบด้วย 3 หลักการดังนี้ [17,30]

1. การเตรียมกระบวนการ (Pre Processing)
2. การวิเคราะห์ (Analysis)
3. การนำเสนอกระบวนการ (Post Processing)

ระบบวิเคราะห์ไฟฟ้าในตัวอิเล็กทรอนิกส์ประกอบด้วย 6 ขั้นตอนหลัก อธิบายได้ดังนี้ [14]

ขั้นตอนที่ 1 การแบ่งขอบเขตปัจจัยร่วมของปัญหาออกเป็นэлемент์ย่อย ๆ ขอบเขตดังกล่าวอาจเป็นขอบเขตของปัญหาชนิดต่าง ๆ กัน เช่น ปัญหาความยืดหยุ่นในของแข็ง (elasticity problem) ปัญหาที่เกี่ยวกับอุณหภูมิและความร้อน (Thermal problem) รวมทั้งปัญหาของการไหล (fluid problem) เป็นต้น ดังภาพที่ 2.16



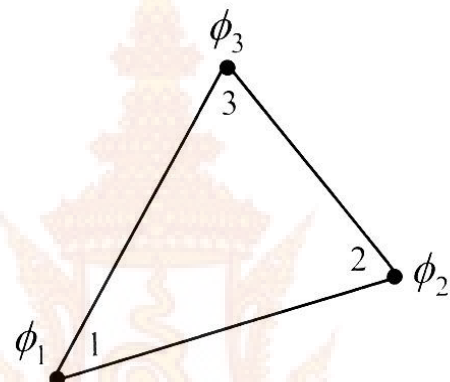
ภาพที่ 2.16 การแบ่งรูป่างของปัญหาออกเป็นэлемент์แบบต่าง ๆ กัน [14]

ขั้นตอนที่ 2 การเลือกฟังก์ชันประมาณภายในэlement (Element interpolation functions) เช่นэlement สามเหลี่ยม เอลิเมนต์นี้ประกอบด้วย 3 จุดต่อที่มีหมายเลข 1, 2 และ 3 แสดงดังภาพที่ 2.17 โดยที่จุดต่อเป็นตำแหน่งที่ตั้งของตัวไมร์ค่า (nodal unknowns) ซึ่งคือ ϕ_1 , ϕ_2 และ ϕ_3 ตามลำดับ ตัวไมร์ค่าที่จุดต่ออาจเป็นค่าของการเดินทาง (displacement) หากเราวิเคราะห์

ปัญหาความยึดหยุ่นในของแข็ง หรืออาจเป็นค่าของอุณหภูมิหากเราทำปัญหาเกี่ยวกับการถ่ายเทความร้อน หรืออาจเป็นความเร็วของของไหล หากเราใช้เคราะห์ปัญหาเกี่ยวกับการไหล เป็นต้น ลักษณะการกระจายของตัวไม่รู้ค่าบนเอลิเมนต์นั้น สามารถเขียนให้อยู่ในรูปแบบของฟังก์ชันการประมาณภายในและตัวไม่รู้ค่าที่จุดต่อต่อได้ คือ

$$\phi(x, y) = N_1(x, y)\phi_1 + N_2(x, y)\phi_2 + N_3(x, y)\phi_3 \quad (2.37)$$

โดย $N_i(x, y), i = 1, 2, 3$ แทนฟังก์ชันประมาณภายในเอลิเมนต์



ภาพที่ 2.17 เอลิเมนต์สามเหลี่ยมแบบอย่างประกอบด้วยสามจุดต่อ โดยมีตัวไม่รู้ค่าอยู่ ณ ตำแหน่งที่จุดต่อ [14]

สมการ 2.37 สามารถเขียนให้อยู่ในรูปของเมตริกซ์ได้ คือ

$$\phi(x, y) = \begin{bmatrix} N_1 & N_2 & N_3 \end{bmatrix} \begin{Bmatrix} \phi_1 \\ \phi_2 \\ \phi_3 \end{Bmatrix}$$

$$= \begin{bmatrix} N \\ (1 \times 3) \end{bmatrix} \begin{Bmatrix} \phi \\ (3 \times 1) \end{Bmatrix} \quad (2.38)$$

โดย $[N]$ แทนเมทริกซ์ฟังก์ชันการประมาณภายในэлемент และ $\{\phi\}$ แทนเวกเตอร์เมทริกซ์ที่ประกอบด้วยตัวไมรูค่าที่จุดต่อของэлементนั้น

ขั้นตอนที่ 3 การสร้างสมการของэлемент (element equations) ดังตัวอย่างเช่น สมการของэлементสามเหลี่ยมแบบอย่าง ดังภาพที่ 2.20 จะอยู่ในรูปแบบดังนี้

$$\begin{bmatrix} k_{11} & k_{12} & k_{13} \\ k_{21} & k_{22} & k_{23} \\ k_{31} & k_{32} & k_{33} \end{bmatrix}_e \begin{Bmatrix} \phi_1 \\ \phi_2 \\ \phi_3 \end{Bmatrix}_e = \begin{Bmatrix} F_1 \\ F_2 \\ F_3 \end{Bmatrix}_e \quad (2.39)$$

ซึ่งเขียนย่อได้เป็น

$$[K]_e \{\phi\}_e = \{F\}_e \quad (2.40)$$

ขั้นตอนที่ 3 นี้ ถือว่าเป็นหัวใจสำคัญของการศึกษาระเบียบวิธีไฟน์элемент การสร้างสมการของэлементซึ่งอยู่ในรูปแบบของสมการ 2.39 สามารถทำได้โดย วิธีการโดยตรง (direct approach) วิธีการแปรผัน (variation approach) วิธีการถ่วงน้ำหนักเศษตกค้าง (method of weighted residuals)

ขั้นตอนที่ 4 การนำสมการของแต่ละэлементที่ได้มาประกอบรวมกันเข้าก่อให้เกิดระบบสมการรวม (system of simultaneous equations) ในรูปแบบดังนี้

$$\sum(\text{element equations}) \Rightarrow [K]_{\text{sys}} \{ \phi \}_{\text{sys}} = \{ F \}_{\text{sys}} \quad (2.41)$$

ขั้นตอนที่ 5 ทำการประยุกต์เงื่อนไขขอบเขต (Boundary conditions) ลงในระบบสมการรวม 2.41 แล้วจึงแก้ระบบสมการรวมนี้เพื่อหา $\{ \phi \}_{\text{sys}}$ อันประกอบด้วยตัวไมรูค่าที่จุดต่อ (nodal unknowns) ซึ่งอาจเป็นค่าของการเคลื่อนตัวตามจุดต่อต่าง ๆ ของโครงสร้าง หรือเป็นค่าของอุณหภูมิที่จุดต่อ หากเป็นปัญหาเกี่ยวกับการถ่ายเทความร้อน หรืออาจเป็นค่าของความเร็วของข้อไอลตามจุดต่อหากเป็นปัญหาเกี่ยวกับการไอล เป็นต้น

ขั้นตอนที่ 6 เมื่อกำนัณค่าต่าง ๆ ที่จุดต่อออกมาได้แล้วก็สามารถนำมาใช้เพื่อหาค่าอื่น ๆ ที่ต้องการต่อไปได้ เช่น เมื่อรูค่าการเสียรูป (Displacement) ตามจุดต่อต่าง ๆ ของโครงสร้างก็สามารถนำไปใช้หาค่าความเครียด (strain) และความดัน (stress) ได้ตามลำดับ หรือเมื่อรูค่าอุณหภูมิที่จุดต่อ ก็สามารถคำนวณหาปริมาณการถ่ายเทความร้อนได้ หรือเมื่อรูค่าความเร็วของข้อไอลที่จุดต่อ ก็สามารถนำไปคำนวณหาปริมาณอัตราการไอลได้ เป็นต้น

จากขั้นตอนทั้ง 6 ขั้นตอนนี้ จะเห็นได้ว่าระเบียบวิธีไฟแนนซ์อลิเมนต์เป็นระเบียบวิธีที่มีระเบียบแบบแผนอย่างเป็นขั้นเป็นตอน โดยมีหัวใจสำคัญอยู่ที่การสร้างสมการของอลิเมนต์ในขั้นตอนที่ 3

2.4 การลากขึ้นรูปลึกขึ้นงานที่มีรูปทรงไม่สมมาตร [31]

ขั้นงานที่มีลักษณะการให้ลวดตัวของวัสดุไม่สมมาตร เช่น รูปถ่ายสี่เหลี่ยมหรือถ่ายวงรีความเสียหายที่จะเกิดขึ้นบนขั้นงานที่มีรูปทรงไม่สมมาตรนี้คือ เกิดรอยย่นที่ปีกถ่าย เกิดรอยฉีกขาดที่มุมพื้นท์ หรือรอยฉีกขาดที่เกิดจากการให้ลวดตัวไม่เท่ากันบริเวณต่าง ๆ ของขั้นงาน ดังแสดงในภาพที่ 2.18



ภาพที่ 2.18 ความเสียหายที่เกิดบนขั้นงานที่มีรูปทรงไม่สมมาตร [31]

ที่บริเวณส่วนปีกของขั้นงานกล่องสี่เหลี่ยม โดยเฉพาะขอบปีกตรงบริเวณรัศมีมุมโค้งจะมีแนวโน้มที่จะเกิดการโก่งตัว (Buckle) และเกิดรอยย่นได้มากที่สุด เพราะเป็นบริเวณที่เกิดความเค้นอัด (Compressive Stress) ในแนวเส้นรอบวงมากและบริเวณรัศมีมุมโค้งก็เกิดความเค้นอัด (Bending Stress) ด้วย ทำให้การให้ลวดตัวซักว่าบริเวณขอบเส้นตรงของถ่าย จึงทำให้เนื้อวัสดุเกิดการอัดตัว บริเวณรัศมีมุมโค้งซึ่งเป็นสาเหตุที่ทำให้เกิดการโก่งตัวหรือเกิดรอยย่น ดังนั้นการลากขึ้นรูปจึงจำเป็นต้องใช้แรงในการลากขึ้นรูปที่สูงขึ้น เพื่อเอาชนะแรงเสียดทานที่เพิ่มขึ้น ซึ่งบางครั้งจะทำให้ขั้นงานเกิดการฉีกขาดที่รัศมีมุมโค้งที่กันถ่าย และรัศมีที่ปากของถ่ายสี่เหลี่ยม เพราะบริเวณนี้จะเกิดความเค้นตัดที่สูง และความหนาของขั้นงานบริเวณนี้ก็จะลดลงด้วยจึงทำให้เกิดการฉีกขาดได้ง่าย

จากผลงานวิจัยของ K.Langue [31] ได้แสดงให้เห็นว่า ความสามารถในการลากขึ้นรูปหรือการเปลี่ยนรูปร่างของแผ่นโลหะขึ้นกับความหนาของวัสดุและอัตราส่วนการขึ้นรูป (กรณีของแผ่นโลหะ เปล่าและหน้าตัดพื้นท์ที่ไม่กลม คิดค่าอัตราการลากขึ้นรูปจากการคำนวนขนาดเส้นผ่านศูนย์กลาง สมมติของวงกลมที่มีพื้นที่เท่ากัน) สำหรับการลากขึ้นรูปที่ใช้อัตราส่วนในการลากขึ้นรูปเท่ากับ 2.0

สำหรับแผ่นโลหะบาง ($D_0 / T \geq 25 - 40$) นั้นจะมีความไวต่อการเกิดรอยย่นมาก เพราะมีโมเมนต์ความเฉื่อยในการต้านการโก่งตัวและการเกิดรอยย่นต่ำ จึงต้องการแรงกดบนแผ่นจับชิ้นงานที่มากกว่าแผ่นโลหะที่มีความหนามาก สำหรับแผ่นโลหะหนา ($D_0 / T \leq 25$) โดยทั่วไปมีแนวโน้มที่จะเกิดรอยย่นได้ยาก ทำให้สามารถถลอกชิ้นรูปได้โดยไม่ต้องใช้แผ่นจับชิ้นงาน และวัสดุมีค่า r_m (Normal Anisotropy) ที่ต่ำ จะต้องใช้แรงกดบนแผ่นจับชิ้นงานที่สูง และแรงกดแผ่นจับชิ้นงานจะเพิ่มขึ้นเมื่อวัสดุมีค่า Δr (Planar Anisotropy) สูงขึ้นด้วย

ดังนั้นการแก้ปัญหาการโก่งตัวหรือเกิดรอยย่นสามารถแก้ไขได้โดยการใช้รัศมีมุมพื้นที่และด้วยให้มีขนาดใหญ่ขึ้น เพื่อให้วัสดุมีการไหลตัวได้ง่ายขึ้น หรือแก้ไขโดยการเลือกใช้สารหล่อลื่นที่มีคุณสมบัติที่ดี เพื่อลดแรงเสียดทานระหว่างผิวสัมผัสของแผ่นโลหะกับผิวของแม่พิมพ์ให้มีการไหลตัวได้ง่ายขึ้น และยังสามารถแก้ไขปัญหาการเกิดรอยย่นได้โดยการนำตัวครอบบีด (Drawbead) เข้ามาใช้เพื่อช่วยกักการไหลตัวของวัสดุที่บริเวณขอบปีกในแนวเส้นตรงให้มีการไหลตัวที่ซ้ำซ้อนหรือไหลตัวเท่ากับบริเวณขอบปีกตามรัศมีมุมโค้ง ซึ่งมีการไหลตัวที่ซ้ำซ้อนแล้ว

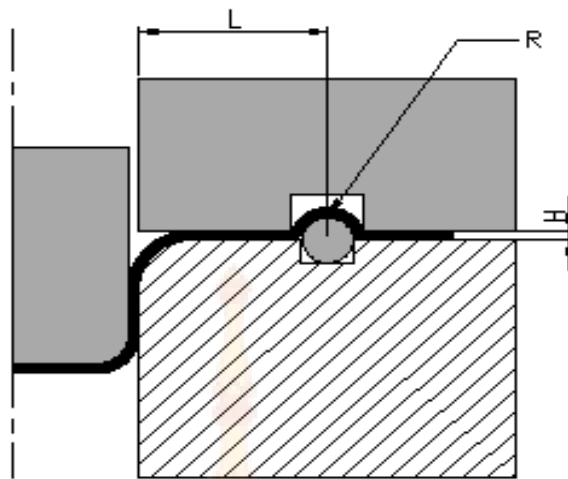
2.5 ครอบบีด (Draw bead) [32]

การควบคุมแรงกดชิ้นงานที่ไม่พอเพียง จะทำให้เกิดรอยย่นของโลหะ ซึ่งการย่นนี้จะให้โลหะแผ่นไม่สามารถที่จะไหลตัวได้ ทำให้บริเวณส่วนกันของชิ้นงานถูกพื้นชั้นฉีกขาดแต่ถ้าแรงกดของแผ่นกดชิ้นงานมากเกินไป โลหะก็จะไม่สามารถไหลตัวเข่นเดียวกัน โดยเฉพาะการขึ้นรูปกล่องสี่เหลี่ยมจะทำให้อัตราการไหลของแต่ละจุดไม่เท่ากัน ทำให้แรงที่ใช้ในการกดแต่ละจุดไม่เท่ากันด้วย สำหรับบริเวณที่ต้องการแรงกดมากจะใช้ครอบบีดเข้ามาช่วยเพื่อทำให้การไหลตัวของโลหะช้าลง [32]

ครอบบีดมีหน้าที่ควบคุมการไหลตัวของโลหะที่จะไหลเข้าไปในด้วย และช่วยป้องกันไม่ให้เกิดรอยย่น (Wrinkle) ในขณะขึ้นรูปจากนั้นยังช่วยลดแรงกดของแผ่นกดชิ้นงาน และตัวรีดโลหะให้ความเครียดลดลงเป็นการเพิ่มคุณสมบัติในการขึ้นรูปของโลหะ การติดตั้งครอบบีดสามารถติดตั้งที่แผ่นกดชิ้นงานหรือที่ดယก์ได้ แต่ปกตินิยมติดตั้งอยู่ที่แผ่นกดชิ้นงานและร่องบีด (Bead) จะอยู่ที่ดယ

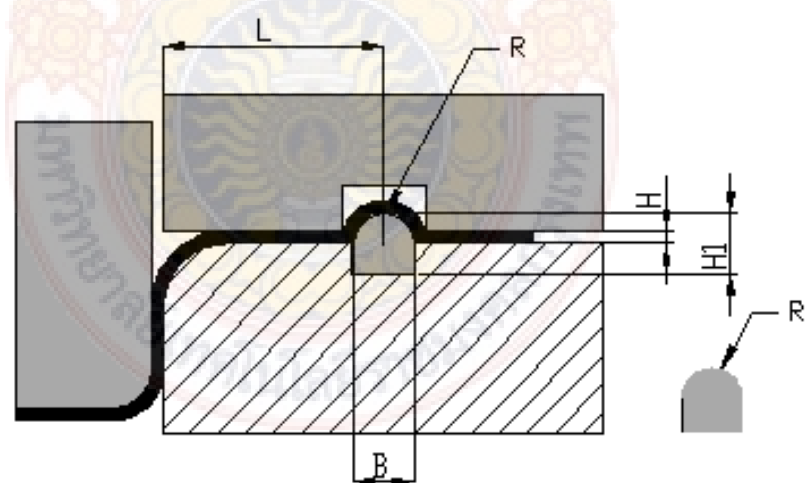
2.5.1 ครอบบีดแบ่งออกได้เป็น 5 ชนิดตามรูปร่างหน้าตัดของครอบบีด ดังต่อไปนี้

- 1) ครอบบีดแบบหน้าตัดกลม (Round Drawbead) ตัวแปลต์ที่ใช้ในการออกแบบคือรัศมีของครอบบีด (R) ความสูงที่พ้นจากผิวของแผ่นจับชิ้นงานหรือดယ (H) และระยะห่างจากปากด้วย (L) ครอบบีดประเภทนี้นิยมใช้ในงานวิจัยเพื่อช่วยลดค่าความเสียดทาน และร่องรอยที่เกิดจากการครอบบีดบนแผ่นโลหะมี้อย แต่ไม่นิยมใช้ในอุสาหกรรมการผลิตจริงแสดงดังภาพที่ 2.19



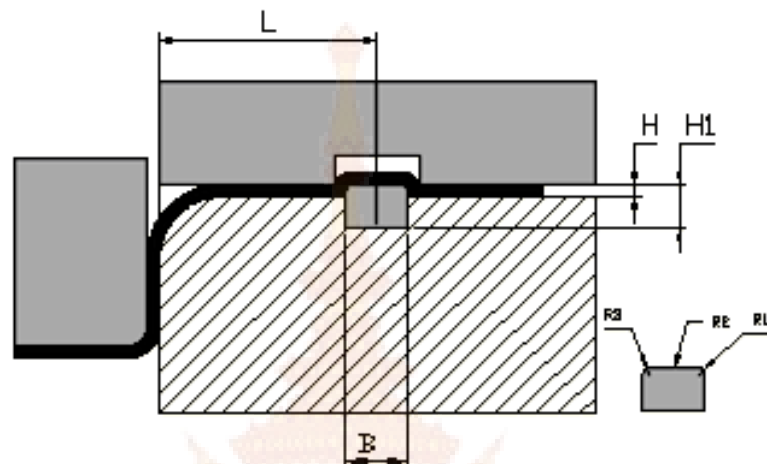
ภาพที่ 2.19 ดรอปีดแบบหน้าตัดกลม (Round Drawbead)

2) ดรอปีดแบบหน้าตัดครึ่งวงกลม (Half-Round Drawbead) มีตัวแปลในการออกแบบ คือ รัศมีของดรอปีด (R) ความกว้าง (B = 2R) ความสูงที่พ้นจากผิวของแผ่นจับชิ้นงานหรือด้าย (H) ความสูงของดรอปีด (H1) และระยะห่างจากปากตาย (L) ดรอปีดประเภทนี้นิยมใช้ในอุตสาหกรรมการผลิตจริงแสดงดังภาพที่ 2.20



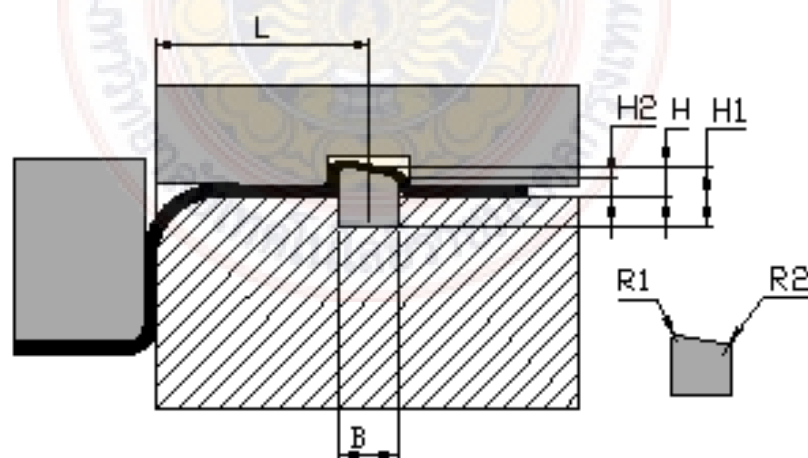
ภาพที่ 2.20 ดรอปีดแบบหน้าตัดครึ่งวงกลม (Half-Round Drawbead)

3) ครอบบีดแบบหน้าตัดสี่เหลี่ยมผืนผ้า (Rectangular Drawbead) มีตัวแปลในการออกแบบคือ รัศมี (R_1, R_2, R_3) ความกว้าง (B) ความสูง (H, H_1) และระยะห่างจากปากดาย (L) ครอบบีดแบบหน้าตัดสี่เหลี่ยมผืนผ้าที่นิยมใช้แสดงดังภาพที่ 2.21



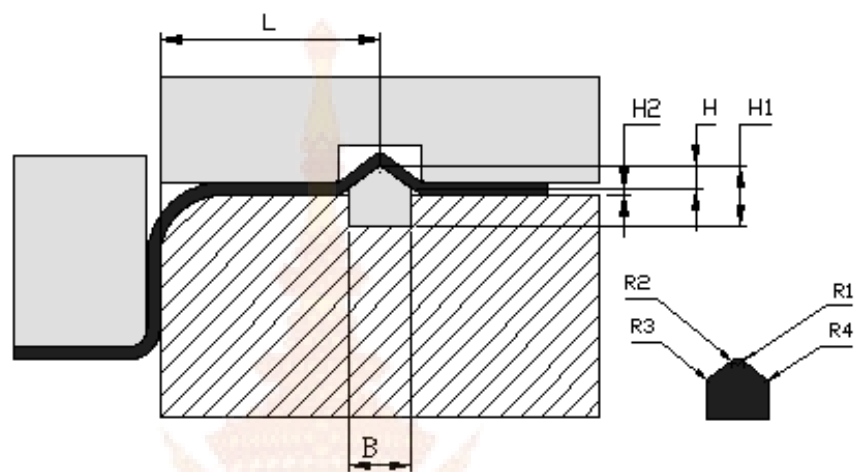
ภาพที่ 2.21 ครอบบีดแบบหน้าตัดสี่เหลี่ยมผืนผ้า (Rectangular Drawbead)

4) ครอบบีดแบบหน้าตัดสี่เหลี่ยมด้านไม่เท่า (Trapeziform Drawbead) มีตัวแปลในการออกแบบคือ รัศมี (R_1, R_2) ความกว้าง (B) ความสูง (H, H_1, H_2) และระยะห่างจากปากดาย (L) ครอบบีดแบบหน้าตัดสี่เหลี่ยมด้านไม่เท่าแสดงดังภาพที่ 2.22



ภาพที่ 2.22 ครอบบีดแบบหน้าตัดสี่เหลี่ยมด้านไม่เท่า (Trapeziform Drawbead)

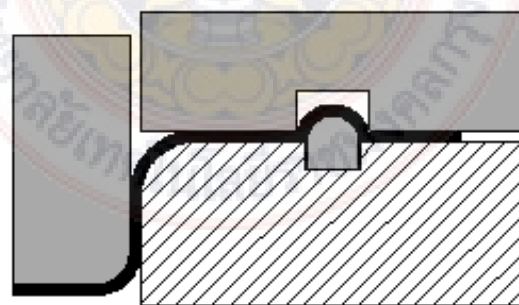
5) ดรอปีดแบบหน้าตัดรูปตัววี (V-Shaped Drawbead) มีตัวแปลในการออกแบบคือ รัศมี (R_1, R_2, R_3, R_4) ความกว้าง (B) ความสูง (H, H_1, H_2) และระยะห่างจากปากดาย (L) ดรอปีดแบบหน้าตัดรูปตัววี แสดงดังภาพที่ 2.23



ภาพที่ 2.23 ดรอปีดแบบหน้าตัดรูปตัววี (V-Shaped Drawbead)

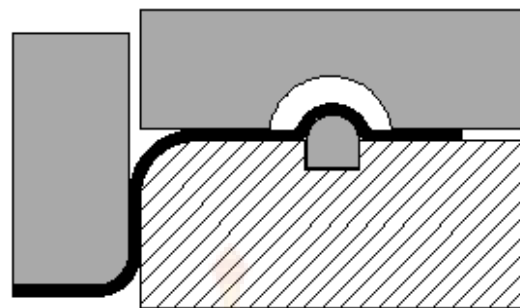
2.5.2 ส่วนของร่องบีด (Grooves) สามารถแบ่งตามรูปร่างหน้าตัดได้ 5 แบบ คือ

- 1) ร่องบีดแบบหน้าตัดตามรูปร่างของดรอปีด แสดงดังภาพที่ 2.24



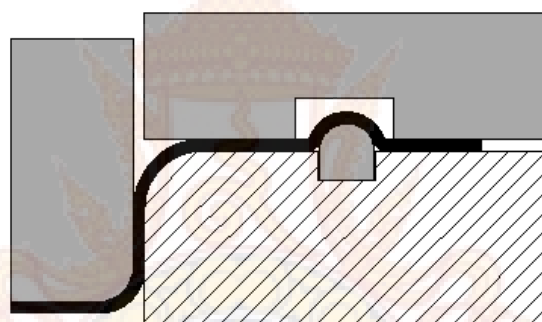
ภาพที่ 2.24 ร่องบีดแบบหน้าตัดตามรูปร่างของดรอปีด

- 2) ร่องบีดหน้าตัดครึ่งวงกลม แสดงดังภาพที่ 2.25



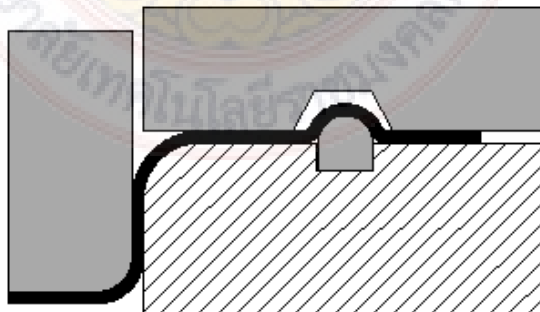
ภาพที่ 2.25 ร่องปิดหน้าตัดครึ่งวงกลม

3) ร่องปิดแบบหน้าตัดสี่เหลี่ยมผืนผ้า แสดงดังภาพที่ 2.26



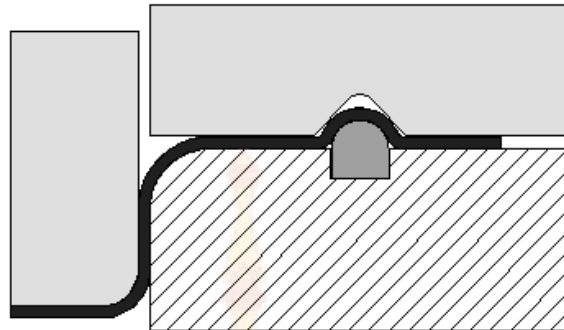
ภาพที่ 2.26 ร่องปิดแบบหน้าตัดสี่เหลี่ยมผืนผ้า

4) ร่องปิดแบบหน้าตัดสี่เหลี่ยมคงหมุน แสดงดังภาพที่ 2.27



ภาพที่ 2.27 ร่องปิดแบบหน้าตัดสี่เหลี่ยมคงหมุน

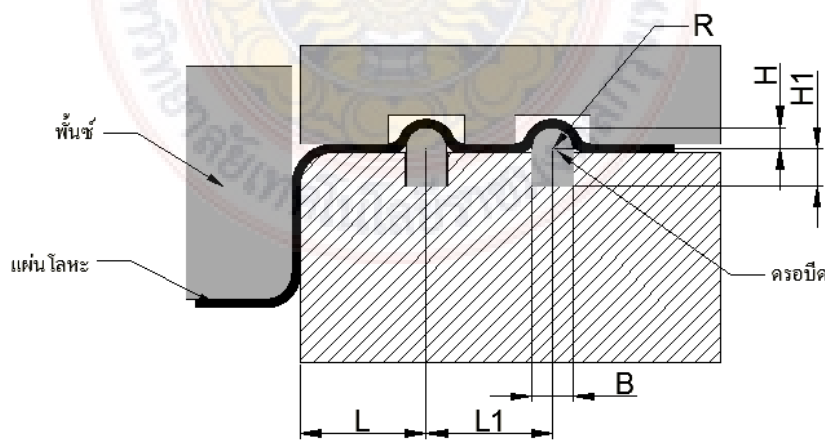
5) ร่องบีดแบบหน้าตัดสีสามเหลี่ยม แสดงดังภาพที่ 2.28



ภาพที่ 2.28 ร่องบีดแบบหน้าตัดสีเหลี่ยม

2.5.3 ตัวແໜງໃນກາຮຕິດຕັ້ງຕົວຮອບືດ (Drawbead Position) [32]

ສາມາຮຕິດຕັ້ງຕົວຮອບືດເພື່ອກາຮໃຊ້ຈານໄດ້ 2 ຕໍ່ແໜງ ອີ່ອ ຕິດຕັ້ງໄວ້ບນໜ້າດ່າຍ ມີໂຮງ
ຕິດຕັ້ງໄວ້ບນໜ້າຂອງແຜ່ນຈັບຂຶ້ນງານ ແລ້ວແຕ່ຮູປແບບແລະຄວາມເໝາະສົມໃນກາຮທຳງານ ໂດຍຕ້ອງ³
ກຳນົງຄົງກາຮຕິດຂອບດ້ວຍ ຕໍ່ແໜງຂອງຮອບືດຕັ້ງໄມ່ເປັນອຸປະກອບກັບກາຮທຳງານໃນຂັ້ນຕອນອື່ນ ກາຮ
ວາງຮອບືດຈາລໃຊ້ 1, 2, 3 ແລ້ວ ມີໂຮງກວ່ານັ້ນກີໄດ້ ຂັ້ນຢູ່ກັບຄວາມລຶກຂອງງານທີ່ຂັ້ນຮູປ ຄວາມໜາ
ແລະພື້ນທີ່ໃນກາຮໄລດ້ວ່າຂອງແຜ່ນໂລໜະ ມີໂຮງກວ່ານັ້ນກີໄດ້ ຂັ້ນຢູ່ກັບຄວາມລຶກຂອງງານທີ່ຂັ້ນຮູປ
ທີ່ 2.2 ເປັນກາຮແນະນຳນາດ ຮະຍະຫ່າງຈາກຂອບ ແລະສກຽນໃນກາຮຈັບຍືດຮອບືດແບບໜ້າຕົດຄົ່ງ
ວົງກລມໃນຕົວແປລຕາງ ຈີນຕາຮາງແສດງດັ່ງຮູປທີ່ 2.29



ภาพที่ 2.29 ຕໍ່ແໜງແລະຮະຍະຂອງຮອບືດ

ตารางที่ 2.2 ขนาดของดรอปบีดและตัวแหน่งของระยะห่างในการยึดติด

ขนาดแม่พิมพ์	L (mm)	L1 (mm)	B (mm)	R (mm)	H (mm)	H1 (mm)	D (mm)
เล็ก-กลาง	25-32	25-30	14	7	6	5	M6
กลาง-ใหญ่	28-35	28-32	16	8	7	6	M8
ใหญ่มาก	32-38	32-38	20	10	8	7	M10

2.6 ชนิดของเหล็กแผ่นที่ใช้ในการขึ้นรูป

เหล็กแผ่นรีดเย็นเป็นโลหะที่ใช้มากในการอัดโลหะ เนื่องจากเหล็กแผ่นชนิดนี้จะถูกรีดเป็นแผ่น ณ อุณหภูมิท้องจึงได้ผิวเรียบและละเอียด นิยมใช้ทำตัวถังส่วนนอกรถยนต์ เครื่องใช้ไฟฟ้า เครื่องเขียน หรือชิ้นส่วนของเครื่องใช้ที่ต้องการความสวยงาม JIS (Japanese Industrial Standard) ได้กำหนดชนิดของเหล็กแผ่น SPCC เป็นชิ้นที่นิยมใช้มากที่สุดในงานอัดโลหะ ยกเว้นอัดขึ้นรูปลีกมาก (Sever deep-drawing) ผิวของเหล็กแผ่นเหล่านี้จะแบ่งออกเป็นชนิดด้าน (Dull sheet) ซึ่งรีดจากลูกรีดผิวหายาบ และผิวเรียบ (Bright sheet) ซึ่งรีดจากลูกรีดละเอียด

SPCC เป็นสัญลักษณ์หนึ่งของเกรดเหล็ก (Steel grade) ตามมาตรฐาน JIS G3141:1996 (Cold reduced carbon steel sheets and strip) ซึ่งเป็นเหล็กแผ่นรีดเย็น (Commercial quality) ใช้สำหรับงานทั่วไป นอกจากนี้ยังมีเกรดอื่นอีก เช่น SPCD ซึ่งเป็น (Drawing quality) ใช้สำหรับงานขึ้นรูป และ SPCE (Deep draw quality) สำหรับงานขึ้นรูปลีก ดังแสดงในตารางที่ 2.2

ตารางที่ 2.3 คุณสมบัติทางเคมีของเหล็กรีดเย็น (มาตรฐาน JIS)

ชนิด	ส่วนผสม					การใช้งาน
	C	Si	Mn	P	S	
SPCC	<0.12	-	<0.05	<0.040	<0.045	ใช้อัดโลหะทั่วไป
SPCD	<0.10	-	<0.45	<0.035	<0.035	ใช้อัดขึ้นรูป
SPCE	<0.18	-	<0.40	<0.030	<0.030	ใช้อัดขึ้นรูปลีก

2.7 งานวิจัยที่เกี่ยวข้อง

Meiders,et al.[2] ได้ศึกษาการนำดรอปบีดมาใช้กับการขึ้นรูปโลหะ โดยการสร้างแบบจำลองทางคณิตศาสตร์ด้วยวิธีไฟน์เตอร์เอลิเมนต์ ตัวแปลที่สำคัญประกอบด้วย แรงในการควบคุมการไหลตัว

ของโลหะ (Drawbead Restraining Force) การเปลี่ยนแปลงความหนาแบบพลาสติก และแรงยกดรอปบีด (Drawbead Lift Force) ได้มีการจำลองดรอปบีดแบบสองมิติ และการทดลองจริงค่าความแตกต่างทางคณิตศาสตร์ทั้งสองค่าจะเป็นเครื่องมือที่สำคัญในการอธิบายการเปลี่ยนแปลงความหนาแบบพลาสติกได้

M.Samuel.[3] ได้ศึกษาอิทธิพลรูปทรงของดรอปบีดในการขึ้นรูปโลหะ ใช้วิธีไฟแนนซ์เอลิเมนต์ในการสร้างแบบจำลองของดรอปบีดเปรียบเทียบรูปทรงของดรอปบีดระหว่างร่องบีดที่เป็นแบบครึ่งวงกลม กับร่องบีดที่เป็นแบบสี่เหลี่ยมและวิเคราะห์ความแตกต่างของการไหลตัวของวัสดุในการใช้ร่องบีดทั้งสองชนิดเปรียบเทียบกับการทดลอง จากการทดลองพบว่าการเปลี่ยนแปลงความหนาและความเค้นที่เกิดขึ้นที่ผิวของร่องบีดแบบสี่เหลี่ยมมีค่าสูงกว่าร่องบีดแบบครึ่งวงกลม

กิตติภัณฑ์ รัตนจันทร์ [4] เพื่อศึกษาหากความสามารถในการควบคุมการไหลของโลหะแผ่นของดรอปบีด (Drawbead) ขึ้นอยู่กับตัวแปรหลายตัวต่างกัน เช่นรูปร่างและความสูงของดรอปบีด ความเร็วในการดึงขึ้นรูป สภาพการหล่อลื่นและสมบัติของโลหะแผ่น สำหรับในการวิจัยนี้ใช้ดรอปบีดที่มีรูปร่างแบบครึ่งทรงกระบอกกลม (Half-Round Drawbead) โดยมีตัวแปรที่สนใจคือความสูงของดรอปบีด สภาพการหล่อลื่นและความเร็วในการดึงขึ้นรูป ผลการทดลองแสดงให้ทราบว่าความสูงของดรอปบีดและการหล่อลื่นมีผลกระทบต่อการควบคุมการไหลของโลหะแผ่นที่จะเข้าสู่ช่องเปิดด้วยเป็นอย่างมาก เมื่อเพิ่มความสูงดรอปบีดให้สูงขึ้นจะต้องใช้แรงกดขึ้นงานเพิ่มมากขึ้นตามไปด้วย แต่รอยย่นที่เกิดขึ้นจะลดลง ในส่วนของการหล่อลื่นพบว่าเมื่อไม่ใช้สารหล่อลื่นจะไม่สามารถดึงขึ้นรูปได้ เพราะจะเกิดการฉีกขาดที่ผนังขึ้นงานก่อน สำหรับความเร็วในการดึงขึ้นรูปในช่วงที่ใช้ในการทดลองพบว่ามีผลต่อคุณภาพของขึ้นงานสำเร็จน้อยมาก

บุญส่ง จงกลนี [1] ได้ศึกษาการออกแบบแม่พิมพ์ที่จะใช้ในการลากขึ้นรูปลึกขึ้นงานที่มีลักษณะไม่สมมาตร เพื่อใช้ในการทดสอบอิทธิพลของตัวแปรที่มีอิทธิพลต่อการขึ้นรูป 4 ตัวแปร รูปร่างแผ่นเปล่า (Blank geometry) ขนาดแรงกดขึ้นงาน (Blank holding force : BHF) ชนิดของสารหล่อลื่น (Lubricant type) และรูปร่างดรอปบีด (Drawbead geometry) ในขั้นตอนการทดสอบจะมีการบันทึกผลแรงกดขึ้นรูปและแรงกดขึ้นงานในขณะขึ้นรูปทุกรั้ง การวัดผลการทดลองจะนำเอาขึ้นงานที่ขึ้นรูปแล้วมาตรวจสอบความเสียหายและวัดขนาดของความเครียด (Strain) ที่เกิดขึ้นในตำแหน่งต่างๆ บนขึ้นงานเพื่อใช้ในการวิเคราะห์ผลต่อไป จากการทดลองพบว่า รูปร่างของแผ่นตัดเปล่า และแรงกดขึ้นงานที่เหมาะสมมีผลต่อการขึ้นรูปแล้วยังสามารถลดระดับความเครียดบนขึ้นงานได้อีกด้วย ขนาดของแรงกดขึ้นงานที่เหมาะสมจะขึ้นอยู่กับขนาดของแผ่นตัดเปล่าและกลไกของแม่พิมพ์ สารหล่อลื่นจะลดสัมประสิทธิ์ความเสียดทานที่ผิวสัมผัสของขึ้นงานโดยตรง และการใช้ดรอปบีดที่มีขนาดที่เหมาะสม จะสามารถควบคุมการไหลของแผ่นตัดเปล่า

เข้าสู่ด้วยได้ดี จะทำให้สามารถลดขนาดของความเครียดในบริเวณวิกฤติได้ดี อย่างไรก็ตามการใช้กรอบดัดต้องมีการปรับขนาด แผ่นตัดเปล่าให้โตขึ้น เพิ่มแรงกดชิ้นงาน และเลือกใช้สารหล่อลื่นให้เหมาะสม

ทีวีภัทร์ บูรณอธิ, ทัศน์ชัย ผ่องพาย [33] การขึ้นรูปโลหะแผ่นในการผลิตชิ้นส่วนรถยนต์มักจะเกิดปัญหาการเกิดรอยย่น การฉีกขาด และการสปริงตัวกลับ ทั้งนี้กระบวนการขึ้นรูปโลหะแผ่นนั้นมีการกำหนดค่าตัวแปรกระบวนการผลิตต่างๆ ที่สำคัญ เช่น แรงกดของตัวประสานหรือแรงจับยึดเบล็งค์ตำแหน่งของกรอบดัด และขนาดรูปปั้นของเบล็งค์ เป็นต้นงานวิจัยนี้ได้นำระเบียบวิธีไฟแนนซ์เอลิเมนต์แบบไม่เชิงเส้นมาประยุกต์ในการจำลองสถานการณ์และการวิเคราะห์การขึ้นรูปโลหะแผ่นของชิ้นส่วนของยีดเครื่องยนต์มาเป็นกรณีศึกษา โดยทำการศึกษาถึงอิทธิพลของแรงกดของตัวประสานและตำแหน่งกรอบดัดแบบต่างๆ ต่อการให้ลดของวัสดุในกระบวนการขึ้นรูปโลหะที่มีต่อการฉีกขาดและการเกิดรอยย่นซึ่งเป็นเงื่อนไขของการออกแบบหลัก แผ่นโลหะที่ใช้ในการศึกษานี้ คือ เหล็กกล้า JSC440W ที่มีความหนาเริ่มต้น 1 มม. ความสามารถในการขึ้นรูปชิ้นส่วนนี้ถูกพิจารณาโดยการเปรียบเทียบกับแผนภูมิขีดจำกัดการขึ้นรูป ซึ่งเป็นลักษณะเฉพาะที่สำคัญทางด้านความไม่เสถียรทางพลาสติกของแต่ละชนิดโลหะแผ่น ผลจากการศึกษาพบว่ากรอบดัดสามารถควบคุมการให้ลดของวัสดุได้ดีกว่าการใช้แรงกดของตัวประสานเพียงอย่างเดียว การเลือกตำแหน่งกรอบดัดมีความสำคัญ โดยการวางแผนกรอบดัดอย่างสม่ำเสมอمنนั้นไม่เพียงพอต่อการขึ้นรูปสำหรับกรณีศึกษานี้การใช้กรอบดัดแบบ 6 ช่วงตำแหน่ง จะสามารถช่วยในการลดปัญหาทั้งการฉีกขาดและรอยย่นได้ดีในกรณีศึกษา

จากการศึกษางานวิจัยที่เกี่ยวข้องถึงผลกระทบของกรอบดัดที่มีผลต่อการขึ้นรูปโลหะแผ่นพบว่า กรอบดัดมีผลต่อการขึ้นรูปโลหะแผ่นโดยกรอบดัดสามารถควบคุมการให้ลดของแผ่นโลหะในตัวตำแหน่งที่มีการติดตั้งกรอบดัด และสามารถกระจายเนื้อโลหะออกไปก่อนที่จะเกิดการย่น นอกจากนั้นยังพบว่า ความสูงของกรอบดัด รูปทรงกรอบดัด และตำแหน่งในการติดตั้งกรอบดัดมีผลต่อการให้ลดของโลหะ แผ่นอีกด้วย จากทฤษฎีและงานวิจัยที่เกี่ยวข้องดังกล่าวจึงมีแนวความคิดที่จะศึกษาชนิดและรูปทรงของกรอบดัด ว่ามีอิทธิพลในการควบคุมการให้ลดของโลหะ โดยเฉพาะในการขึ้นรูปชิ้นงานที่มีรูปทรงไม่สมมาตร ทำการศึกษารูปทรงของกรอบดัด 3 ลักษณะได้แก่ กรอบดันหัวตัดรูปตัววี (V-Shaped Drawbead) กรอบดัดแบบหน้าตัดครึ่งวงกลม (Half-Round Drawbead) และ กรอบดัดแบบหน้าตัดสี่เหลี่ยมด้านไม่เท่า (Trapenzifrom Drawbead) ตัวแปลที่ใช้ในการทดลองเป็นเหล็กแผ่นรีดเย็นเกรด SPCC โดยการเปรียบเทียบผลการทดลองการขึ้นรูปจริงกับการจำลองด้วยวิธีไฟแนนซ์เอลิเมนต์ ศึกษาผลการขึ้นรูปมีความสอดคล้องให้ผลลัพธ์ในทิศทางเดียวกัน เพื่อทราบถึงปัจจัยที่มีผลกระทบต่อการขึ้นรูปโลหะแผ่น เพื่อนำไปใช้แก้ปัญหาการออกแบบกรอบดัดและเปรียบเทียบผลการจำลองการขึ้นรูปวิธีไฟแนนซ์เอลิเมนต์

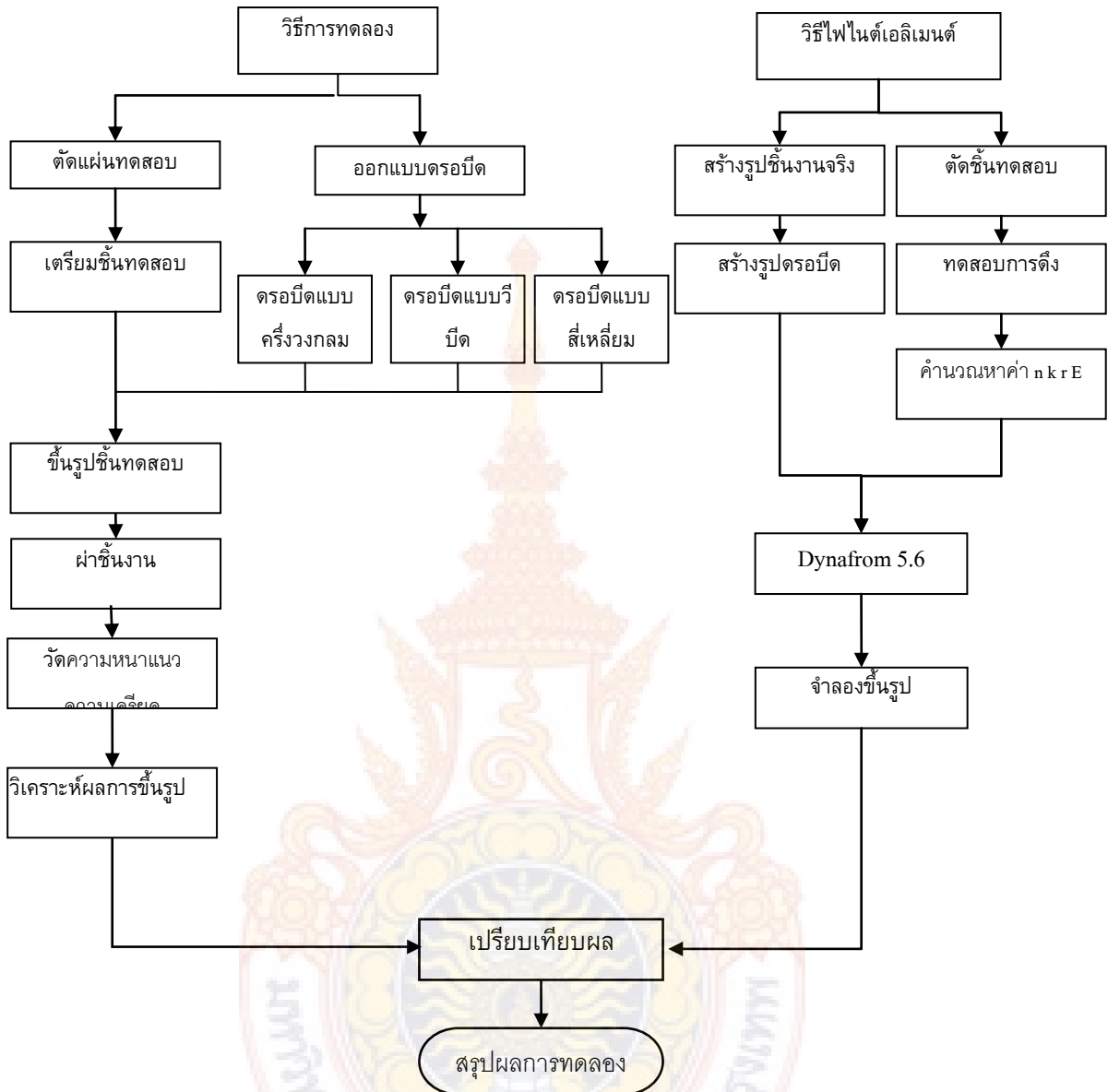
บทที่ 3

วิธีการดำเนินการวิจัย

การดำเนินการทดลองแบ่งออกเป็นดังนี้ ส่วนแรกคือการจำลองการขึ้นรูปด้วยระเบียบวิธีไฟน์ต์ออลิเมนต์ ส่วนที่สองคือการทดลองขึ้นรูปชิ้นงานจริง เพื่อวัดความหนาและบริเวณที่เกิดความเสียหาย นำข้อมูลที่ได้จากการทดลองไปเปรียบเทียบและวิเคราะห์เพื่อศึกษาหาความสัมพันธ์ระหว่างการทดลองจริงกับการจำลองขึ้นรูปด้วยระเบียบวิธีไฟน์ต์ออลิเมนต์ ซึ่งเมื่อมีแนวโน้มใกล้เคียงกันจึงปรับค่าพารามิเตอร์ในการวิเคราะห์ไฟน์ต์ออลิเมนต์ สำหรับการออกแบบครอบปิด

3.1 ขั้นตอนการดำเนินการวิจัย

การดำเนินการวิจัยแบ่งออกเป็นสองส่วน ส่วนแรกดำเนินการขึ้นรูปชิ้นงานที่รูปทรงไม่สมมาตรเพื่อนำมาวิเคราะห์ความเครียดที่เปลี่ยนไป ส่วนที่สองเป็นจำลองการขึ้นด้วยวิธีไฟน์ต์ออลิเมนต์ ผลทั้งสองส่วนนำมาเปรียบเทียบกันซึ่งมีแนวทางการดำเนินการดังนี้

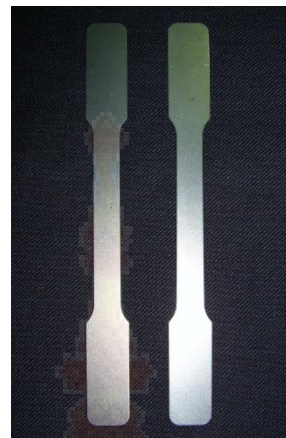


ภาพที่ 3.1 แผนภูมิการดำเนินการวิจัยการศึกษาอิทธิพลรูปทรงของครอบบีดในการลากขึ้นรูปโลหะที่มีรูปทรงไม่สมมาตรโดยการจำลองด้วยไฟไนต์เอลิเมนต์

จากแผนภูมิการดำเนินการวิจัยทั้งสองส่วนสามารถแสดงรายละเอียดขั้นตอนดังนี้

- 3.1.1 ทดสอบหาสมบัติอัตราส่วนความเครียดถาวร n, r (Anisotropy) ของแผ่นเหล็กรีดเย็น SPCD ความหนา 1.0 มิลลิเมตร ตามวิธีการของ ASTM E517 vol.01.03.(1993)
 - 1) นำแผ่นเหล็กรีดเย็น SPCD ความหนา 1.0 มิลลิเมตรมาทำการทดสอบหาค่า r (Anisotropy) ตัดชิ้นทดสอบ (Blanking) ตามแนวทิศทางการรีด (Rolling Direction) จากแผ่นเหล็กรีดเย็น ที่นำมาใช้ในการทดสอบ

2) วัดความกว้าง (W_o) และความหนา (T_o) ของแต่ละชิ้นทดสอบทุกแนวการรีดบันทึกข้อมูล ในช่วงความยืด (Gage length)



ภาพที่ 3.2 ลักษณะชิ้นทดสอบหาสมบัติเชิงกล

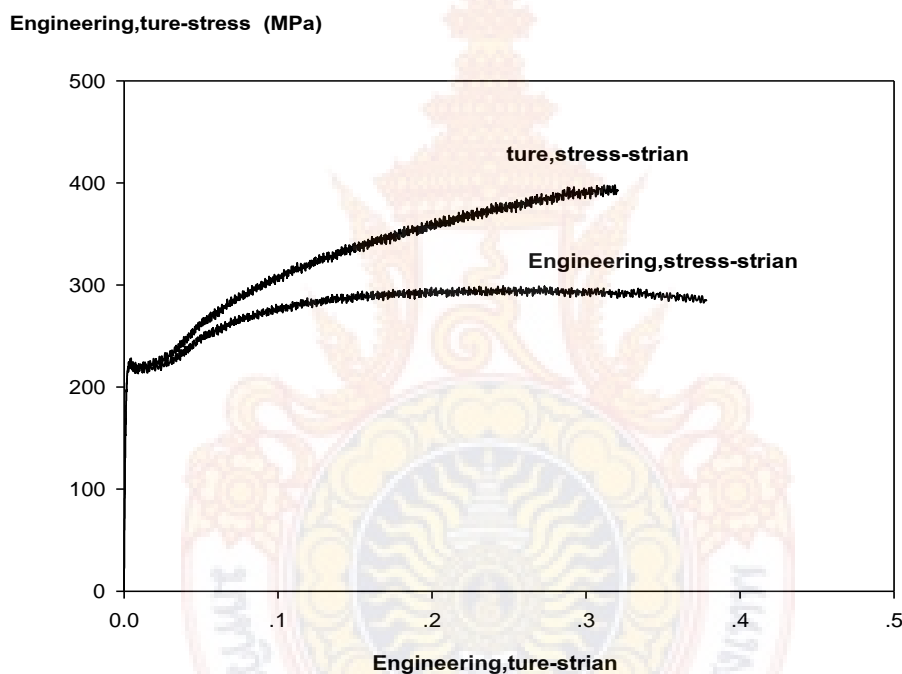
- 3) นำชิ้นทดสอบที่วัดค่าความกว้างและหนา มาทดสอบการดึงตามแนวแกน
- 4) วัดความกว้าง (W_x) และความหนา (T_x) ของชิ้นทดสอบที่ดึงทดสอบแล้วอุปกรณ์ (Extensometer) จะบันทึกการเปลี่ยนแปลงความยาวและพื้นที่หน้าตัด นำข้อมูลที่ได้จากการบันทึกมาคำนวณ

Title	Thickness	Width	GaugeLength				
T1	1	12.5	50				
===== Summary for Data Processing =====							
Title	Max_Force	Max_Stress	YP_Stress	Break_Stra	LYP_Stress	(N/mm ²)	
T1	3730.69	93.27	68.9	74.33	68.29		
Mean	0	0	0	0	0		
===== Raw Data =====							
T1	Force	Stress	Stroke	Strain	Extensometer		
Time							
0	12.29	0.31	1	2	0		
1	-69.62	-1.74	1	2	0		
7	569.23	14.23	1	2	0.01		
7	724.84	18.12	1	2	0.01		
8	1015.6	25.39	1	2	0.02		

ภาพที่ 3.3 การบันทึกข้อมูลการทดสอบการดึงจากโปรแกรมคอมพิวเตอร์

3.1.2. ทดสอบหาสมบัติเลขชี้กำลังการทำให้แข็งด้วยความเครียด (Strain-Hardening Exponent, n -values) และสัมประสิทธิ์ความต้านแรง (Strength Coefficient, K) ของเหล็กแผ่นรีดเย็น ตามวิธีทดสอบ ASTM E 646-91 vol.03.01.(1993)

- 1) วัดความกว้างความหนาของชิ้นทดสอบช่วงระยะยึด (Gage Length)
- 2) จับชิ้นงานทดสอบแรงดึงบันทึกค่าแรงที่กระทำและระยะที่เปลี่ยนแปลงช่วงที่หนึ่ง
- 3) คำนวณหาความเค้นทางวิศวกรรม (Engineering Stress, S) เท่ากับแรงกระทำช่วงที่หนึ่งต่อขนาดพื้นที่หน้าตัด
- 4) คำนวณหาความเครียดวิศวกรรม (Engineering Strain, ε)
- 5) คำนวณหาความเค้นจริง (True Stress) = $S \times (1 + \varepsilon)$
- 6) คำนวณหาความเครียดจริง (True Strain) = $\ln(1 + \varepsilon)$
- 7) คำนวณหา y หรือ Log True Stress

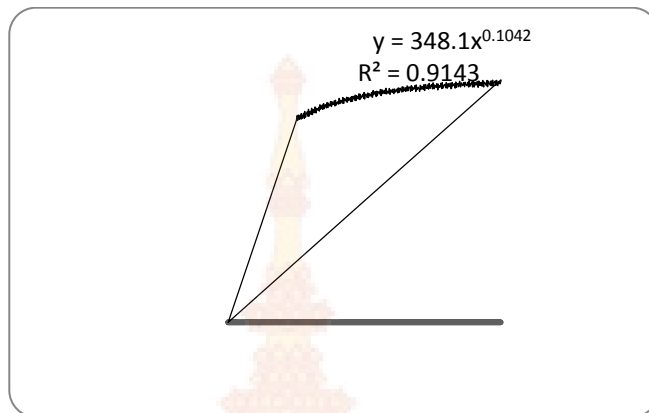


ภาพที่ 3.4 แผนภาพความเค้น-ความเครียดวิศวกรรมและ ความเค้น-ความเครียดจริงของ เหล็กรีดเย็น หนา 1 มิลลิเมตร

- 8) คำนวณหา x หรือ Log True Stress
- 9) คำนวณหา y^2
- 10) คำนวณหา x^2
- 11) คำนวณหา xy

12) คำนวณหาค่าจากการบันทึก 2.2-2.11 ทุกเปลี่ยนแปลงระยะยึดในช่วง Gage Length ให้จำนวนครั้งการเปลี่ยนแปลงระยะยึดเป็น N หาผลรวมทั้งหมด

$$\sum y, \sum x, \sum y^2, \sum x^2, \sum xy$$



ภาพที่ 3.5 หาค่าสัมประสิทธิ์ความต้านแรงและเลขชี้กำลังการทำให้แข็งด้วยความเครียดใช้แบบ
สมการกำลัง (Power Function)

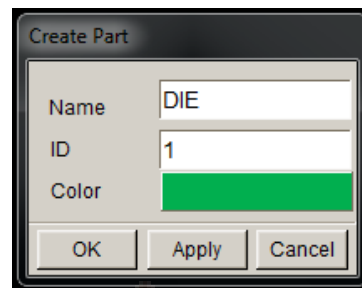
ตารางที่ 3.1 สมบัติเชิงกลแผ่นเหล็กรีดเย็น SPCD ความหนา 1.0 มิลลิเมตร

ชนิดของ วัสดุ	เลขชี้กำลังการทำ ให้แข็งด้วย ความเครียด(n)	สัมประสิทธิ์ ความต้าน แรง(K)	อัตราส่วนความเครียดพลาสติก (r)			
			R_0	R_{45}	R_{90}	\bar{R}
SPCD	0.14	366	1.301	1.365	1.468	1.378

3.1.3. การจำลองการขึ้นรูปด้วยระบบเบี่ยงเบี้ยวไฟไนต์เอลิเมนต์ การวิเคราะห์กระบวนการขึ้นรูปของงานวิจัยนี้ ใช้โปรแกรม Dyna Form 5.6 จำลองการขึ้นรูปของเหล็กแผ่นรีดเย็นเกรด SPCC , SPCD และ SPCE มีขั้นตอนดังนี้

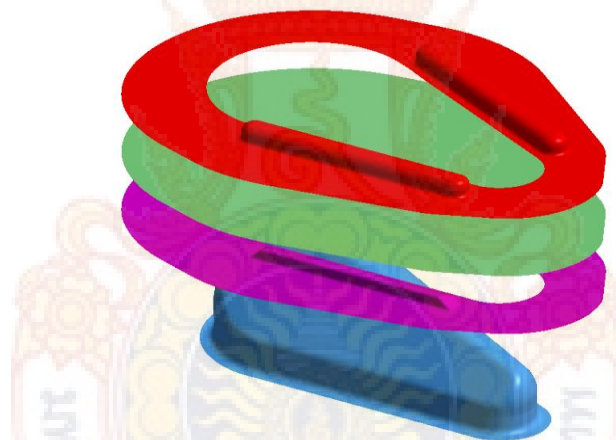
- 1 ก่อนการประมวลผล (Pre – processing)
- 2 ขั้นตอนการวิเคราะห์ (Analysis)
- 3 แสดงผลลัพธ์จากการประมวลผล (Post - Processing)

3.1.4 ก่อนการประมวลผล (Pre – processing) มีขั้นตอนดังนี้



ภาพที่ 3.6 กำหนดชื่อของเครื่องมือ

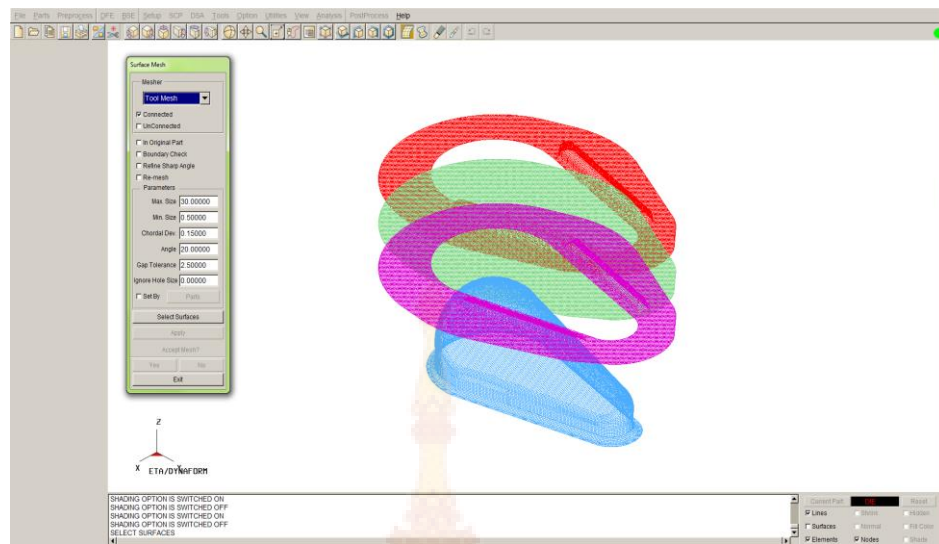
1) ขั้นตอนการกำหนดชื่อของเครื่องมือเพื่อใช้ในการวิเคราะห์ ดังภาพที่ 3.6 จากเมนูบาร์ เลือกเมนู Part โดยเลือกฟังชั่น Create กำหนดชื่อ Die , Punch,Bender และ Blank จากนั้นกำหนดสีเพื่อแทนชนิดของเครื่องมือและชิ้นงาน โดยที่มี Drawbead ติดอยู่กับ Bender



ภาพที่ 3.7 ขั้นตอนการสร้างชิ้นส่วนเครื่องมือและชิ้นงาน

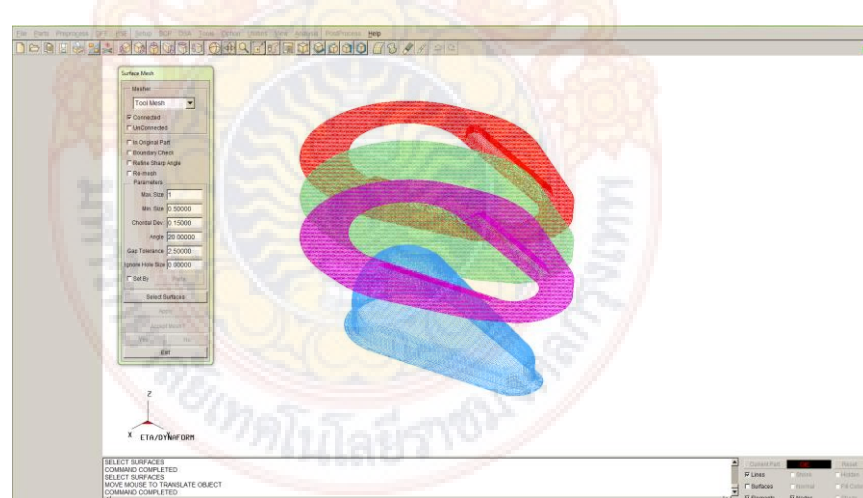
2) การสร้างเครื่องมือและชิ้นงาน ดังภาพที่ 3.7 สร้างจาก CAD – file โดยใช้โปรแกรม CATIA V5 R20

3) การสร้างผิวสำหรับเครื่องมือและชิ้นงาน เนื่องจากการขึ้นรูปเป็นแบบไม่สมมาตร จึงวิเคราะห์การขึ้นรูปตลอดทั้งชิ้นงาน ดังภาพที่ 3.8



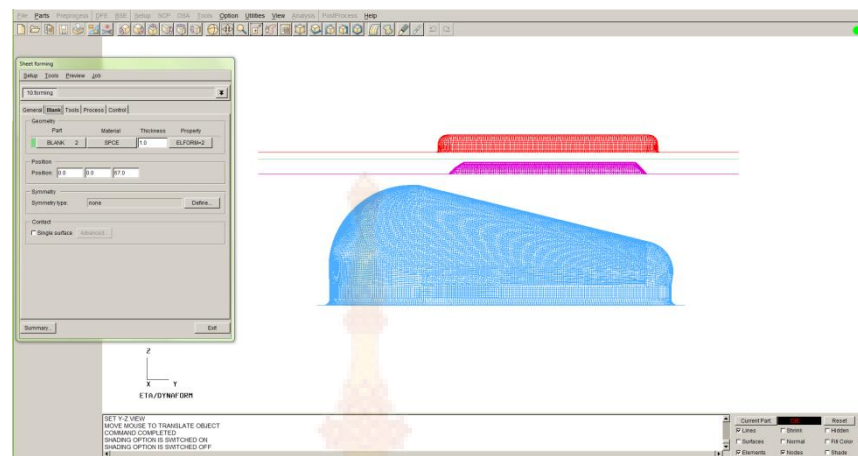
ภาพที่ 3.8 การสร้างผิวสำหรับเครื่องมือและชิ้นงาน

4) กำหนด Part mesh ดังภาพที่ 3.9 จากเมนูบาร์ เลือกเมนู BSE เลือกฟังชั่น Preparation คลิกไอคอน Part mesh กำหนดขนาดเอลิเมนต์ เท่ากับ 1 มิลลิเมตร และคลิกปุ่ม Select Surface



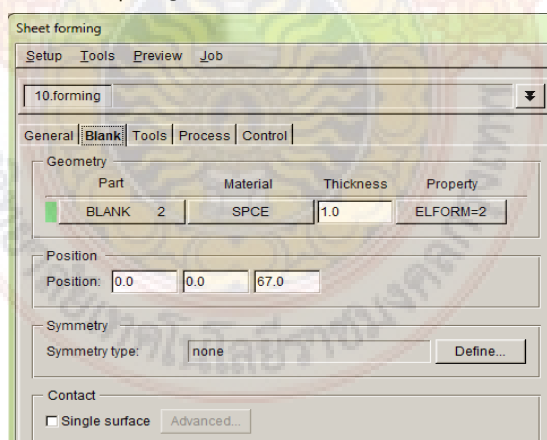
ภาพที่ 3.9 การสร้างพื้นผิวเครื่องมือและชิ้นงาน

3.1.5 ขั้นตอนการวิเคราะห์ (Analysis) มีขั้นตอนดังนี้



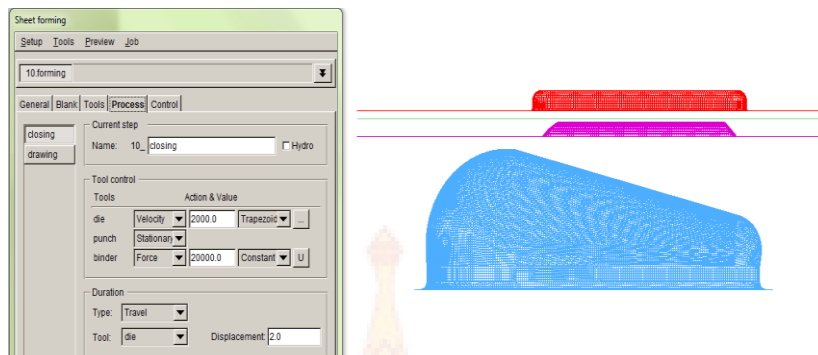
ภาพที่ 3.10 กำหนดชนิดการขึ้นรูป

กำหนดค่าของ Simulation Type เป็นชนิด Sheet Forming ดังภาพที่ 3.10 จาก เมนูบาร์ เลือกเมนู Setup เลือกฟังชั่น Auto Setup กำหนดความหนาของชิ้นงาน 1 มิลลิเมตร กำหนดชนิดของการขึ้นรูปแบบ Crash form กำหนด Blank surface แบบ Top ซึ่งการกำหนดชนิด การขึ้นรูปขึ้นกับลักษณะของงานที่วิเคราะห์ โดยแบ่งได้ดังนี้ แบบ Single action และ Double action และ Triple action แบบ Springback



ภาพที่ 3.11 กำหนดชนิดวัสดุของชิ้นงาน

ภาพที่ 3.11 เป็นการกำหนดชนิดของวัสดุ คลิกไอคอน Blank กำหนดวัสดุ คลิกไอคอน Material เลือกเกรดวัสดุเหล็กเกรด SPCD



ภาพที่ 3.12 เครื่องมือและการกำหนดเงื่อนไขขอบเขตการขึ้นรูป

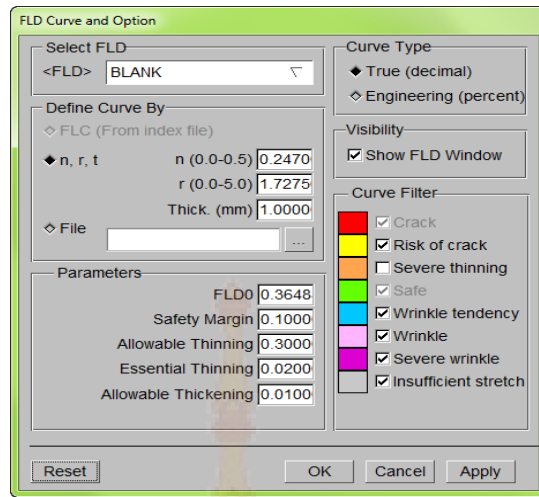


ภาพที่ 3.13 การประมวลผลของโปรแกรม Dyna Form 5.6

ภาพที่ 3.12 กำหนดเงื่อนไขขอบเขตการขึ้นรูป (Boundary Condition) ประมวลการจำลองขึ้นรูปชิ้นงาน (Process) กำหนดระยะเวลาเคลื่อนที่ของพินซ์เท่ากับ 52 มิลลิเมตร ความเร็วของ การเคลื่อนที่ Die กับ Bender เท่ากับ 500 มิลลิเมตรต่อวินาที กำหนด Punch ไม่เคลื่อนที่ ภาพที่ 3.13 เป็นการประมวลผล ซึ่งก่อนการประมวลผลต้องตรวจสอบความถูกต้องของการเคลื่อนที่ ให้คลิก Preview ดูการเคลื่อนที่ จากนั้นเลือก Job Submitter

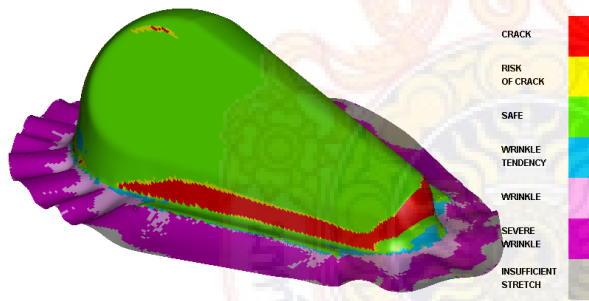
3.1.6 แสดงผลลัพธ์จากการประมวลผล (Post - Processing)

ประมวลผลการจำลองขึ้นรูปชิ้นงาน เมื่อกำหนดค่าพารามิเตอร์เกี่ยวกับ Geometry กำหนดค่าสมบัติของวัสดุ กำหนดเครื่องมือ (Tools) จากนั้นจึงจำลองการขึ้นรูปเพื่อตรวจสอบความถูกต้อง และทำการประมวลผลต่อไป



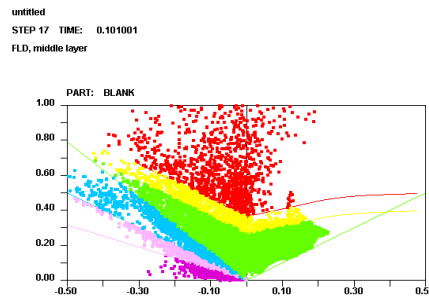
ภาพที่ 3.14 การกำหนดค่าสมบัติของวัสดุในโปรแกรม Dyna Form 5.6

ภาพที่ 3.14 การนำค่าเลขที่กำลังการทำให้แข็งด้วยความเครียด และค่าอัตราส่วนความเครียดพลาสติก จากการทดสอบการดึง เพื่อให้โปรแกรม Dyna Form 5.6 สร้างแผนภาพขีดจำกัดการขึ้นรูป

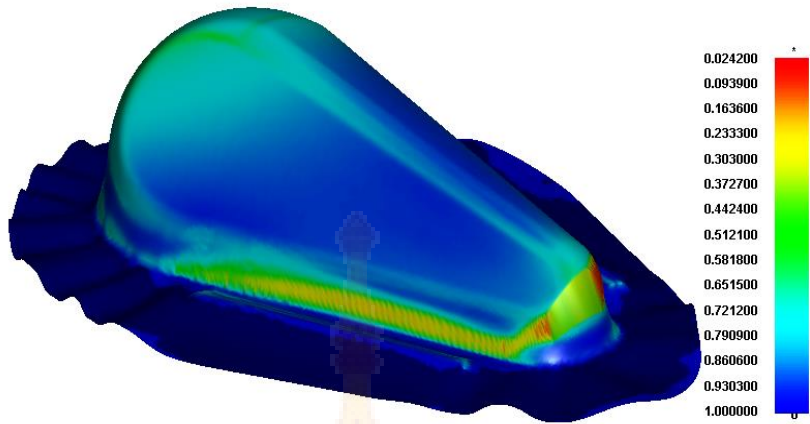


ภาพที่ 3.15 ค่า

ความเครียดวิเคราะห์
จากโปรแกรม Dyna
Form 5.6



ภาพที่ 3.15 แสดงผลลัพธ์การประมวลผล (Post-process) หลังจากโปรแกรม Dyna Form 5.6 ทำการวิเคราะห์ประมวลผล นำผลลัพธ์จากค่าหนา เพื่อเปรียบเทียบกับการทดลองขึ้นรูปจริง จากรูปภาพบริเวณพื้นที่สีเขียวคือบริเวณที่อยู่ระหว่างเส้นสภาพวายต์ดึง สภาวะดึงและเส้นปลดภัยในการขึ้นรูป พื้นที่สีน้ำเงิน คือบริเวณที่อยู่ระหว่างเส้นสภาพเดิง และสภาวะเนื่องอย่างเดียวรูป ถ้าเนื้อโลหะแผ่นบริเวณใดมีค่าความเครียดหลังขึ้นรูปต่ำอยู่ในพื้นที่นี้ แสดงให้เห็นว่าเนื้อโลหะแผ่นบริเวณนั้นมีแนวโน้มที่จะเกิดรอยย่นหลังขึ้นรูป พื้นที่สีม่วงคือบริเวณที่อยู่ใต้เส้นสภาพ เนื่องอย่างเดียว ถ้าเนื้อโลหะแผ่นบริเวณใดมีค่าความเครียดหลังขึ้นรูปต่ำอยู่ในพื้นที่นี้ แสดงให้เห็นว่าเนื้อโลหะแผ่นบริเวณนั้นจะเกิดรอยย่นหลังขึ้นรูป



ภาพที่ 3.16 ค่าความหนาวิเคราะห์จากโปรแกรม Dyna Form 5.6

ภาพที่ 3.16 แสดงถึงตำแหน่งของความหนาของชิ้นงาน (Thickness) โดยแสดงค่าความหนาตามสีที่ปรากฏบนชิ้นงาน เพื่อเปรียบเทียบกับการทดลองขึ้นรูปจริง

3.2 เครื่องมือและอุปกรณ์ในการดำเนินงานวิจัย

เครื่องมือที่ใช้ในทดสอบโดยใช้เครื่องปั๊มโลหะของภาควิชาวิศวกรรมอุตสาหการที่มีขนาด 80 ตัน แม่พิมพ์ลากขึ้นรูปลักษณะที่มีรูปทรงไม่สมมาตร และเครื่องจักรกลอัตโนมัติ (CNC automatic machine) ใช้ในการสร้างครอบปีด

3.2.1. เครื่องปั๊มโลหะที่มีขนาด 80 ตัน ดังแสดงในภาพที่ 3.17



ภาพที่ 3.17 เครื่องปั๊มโลหะขนาด 80 ตัน

3.2.2. แม่พิมพ์ลากขึ้นรูปลึกชิ้นงานที่มีรูปทรงไม่สมมาตร ดังแสดงในภาพที่ 3.18



ภาพที่ 3.18 แม่พิมพ์ลากขึ้นรูปลึกชิ้นงานที่มีรูปทรงไม่สมมาตร

3.2.3. เครื่องจักรกลอัตโนมัติ (CNC automatic machine) ดังแสดงในภาพที่ 3.19



ภาพที่ 3.19 เครื่องจักรกลอัตโนมัติ (CNC automatic machine)

3.2.4. การเตรียมแผ่นชิ้นงานทดสอบ

1) เตรียมชิ้นทดสอบ ดังแสดงภาพที่ 3.20



ภาพที่ 3.20 ชิ้นงานทดสอบ

2) ครอบปิดแบบหน้าตัดครึ่งวงกลม (Haft-Round Drawbead) ดังแสดงใน
ภาพที่ 3.21



ภาพที่ 3.21 ครอบปีดแบบหน้าตัดครึ่งกลม (Haft-Round Drawbead)

3) ครอบปีดแบบหน้าตัดสามเหลี่ยม (V-Shaped Drawbead) ดังแสดงในภาพที่ 3.22



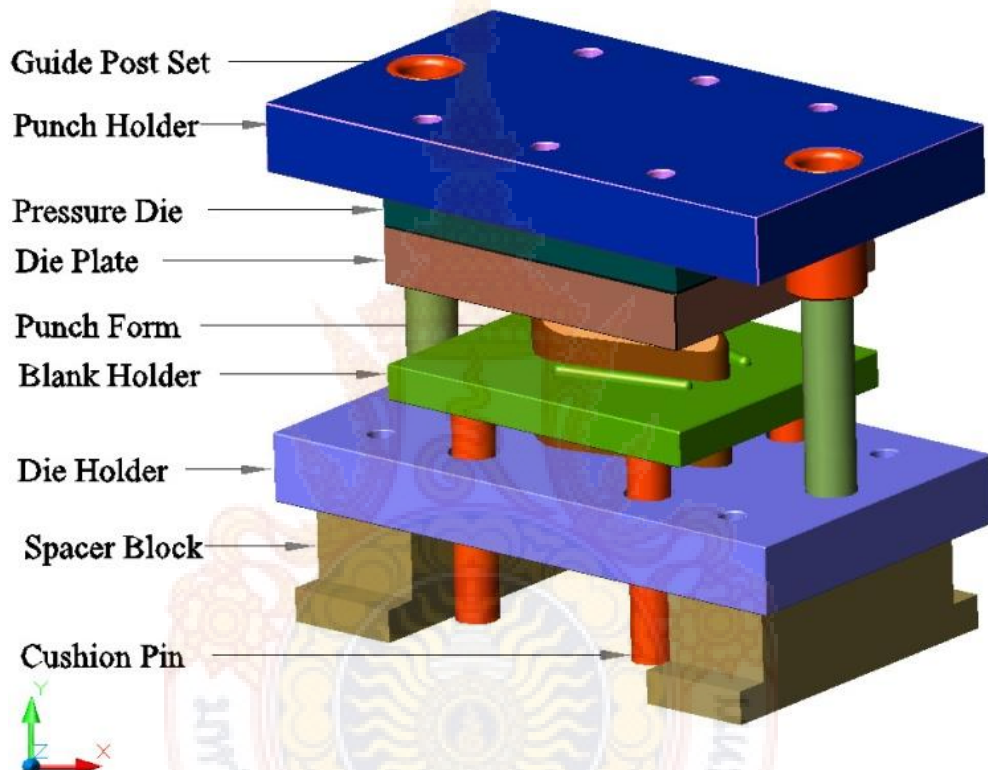
ภาพที่ 3.22 ครอบปีดแบบหน้าตัดสามเหลี่ยม (V-Shaped Drawbead)

4) ครอบปีดแบบหน้าตัดสี่เหลี่ยมด้านไม่เท่า (Trapenzifrom Drawbead) ดังภาพที่ 3.23



ภาพที่ 3.23 ครอบปีดแบบหน้าตัดสี่เหลี่ยมด้านไม่เท่า (Trapenzifrom Drawbead)

3.2.5. แม่พิมพ์และการติดตั้ง หลักการทำงานของแม่พิมพ์ชุดตัว (Die holder) ใช้รับยึดกับแท่นปั๊มขึ้นลงและยึดแผ่นรองดาย (Pressure die) และแผ่นดาย (Die holder) จะยึดกันเช่นชุดบน (Upper shore) มีชุดนำการปั๊ม (Guide post) เป็นชุดนำเพื่อความเที่ยงตรงในการปั๊มขึ้นลงและชุดล่าง (Lower shore) จะประกอบด้วยพินช์ (Punch) และกดยึด (Blank holder) มีหน้าที่ในการกดยึดชิ้นงานโดยส่งถ่ายแรงจากคุชชั่นพิน (Cushion pin) ซึ่งสามารถปรับแรงได้และแผ่นพื้นช์ไฮลเดอร์ (Punch holder) จะจับยึดกับแท่นเครื่องปั๊ม ดังแสดงในภาพที่ 3.24



ภาพที่ 3.24 ส่วนประกอบของแม่พิมพ์ขึ้นรูปลีก [1]

ตารางที่ 3.2 ตารางข้อมูลส่วนแม่พิมพ์

รายการ	วัสดุ	ขนาด	จำนวน/ชิ้น
Punch holder	SS41	240x420x48	1
Pressure die	S50C	210x250x25	1
Die plate	SKD11	210x250x40	1
Punch form	SKD11	80x150x118	1
Blank holder	SS41	210x250x30	1

Die holder	SS41	240x420x48	1
Spacer block	SS41	240x420x48	1
Cushion pin	SS41	35x400	4

3.2.6. แม่พิมพ์พร้อมใช้งานติดตั้งบนเครื่องปั๊ม ดังแสดงในภาพที่ 3.25



ภาพที่ 3.25 แม่พิมพ์พร้อมใช้งาน

3.2.7. แรงกดชิ้นงาน (Blank Holder Force) จากการคำนวณแรงขึ้นรูปลีก ทำการศึกษาโดยเทียบเป็นขนาดของแรงกดที่ระดับ 30 % , 50 % และ 70 % ของแรงที่ใช้ในการขึ้นรูปได้ดังนี้

$$\text{จากการคำนวณเทียบได้ } = \frac{49.69 \times 100}{104.84} = 47.4\% \text{ เป็นค่าของแรงเริ่มต้น}$$

$$\text{แรงกดชิ้นงานที่ } 30\% = \frac{30 \times 104.84}{100} = 31.45 \text{ kN}$$

$$\text{แรงกดชิ้นงานที่ } 50\% = \frac{50 \times 104.84}{100} = 52.42 \text{ kN}$$

$$\text{แรงกดชิ้นงานที่ } 70\% = \frac{70 \times 104.84}{100} = 73.38 \text{ kN}$$

3.2.8. สารหล่อลื่น [1] สารหล่อลื่น DRAW 359H ใช้ในงานลากขึ้นรูปเหล็กกล้าไร้สนิมและเหล็กกล้า ง่ายในการทำความสะอาดหลังจากใช้งาน การนำไปใช้งานจะใช้เฉพาะสารหล่อลื่นโดยตรงหรือผสมกับน้ำมันแร่ก็ได้ โดยใช้พองน้ำ แปรรูปกึ่งฉีดพ่น ใช้ในงานลากขึ้นรูปที่ยากสำหรับวัสดุที่เป็นเหล็กกล้าและเหล็กกล้าไร้สนิมคุณสมบัติทางเคมีและฟิสิกส์ความหนืดที่ 100 องศาฟาเรนไฮต์

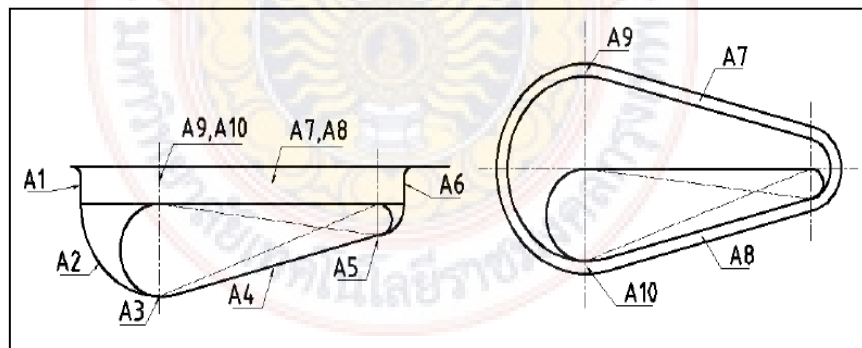
หรือ 38 องศาเซลเซียส เท่ากับ 1100 ม.ม.2/วินาทีเป็นสีดำ สีน้ำตาลเหลือง สีอ่อนความถ่วงจำเพาะ 1.28

3.2.9. อุปกรณ์บันทึกข้อมูลเป็นอุปกรณ์จัดเก็บสัญญาณ (Mini data logger) เป็นอุปกรณ์จัดเก็บข้อมูล พื้นฐานของระบบ (data logger) ประกอบไปด้วย scanner หรือ multiplexer digital-voltmeter และตัวบันทึกข้อมูล ซึ่งรับ Input ที่เป็นระบบ analog จาก sensor และทำการเปลี่ยนข้อมูลเป็นระบบ digital และเก็บข้อมูลไว้ในหน่วยความจำเพื่อการนำไปใช้ต่อไป ดังแสดงในภาพที่ 3.26



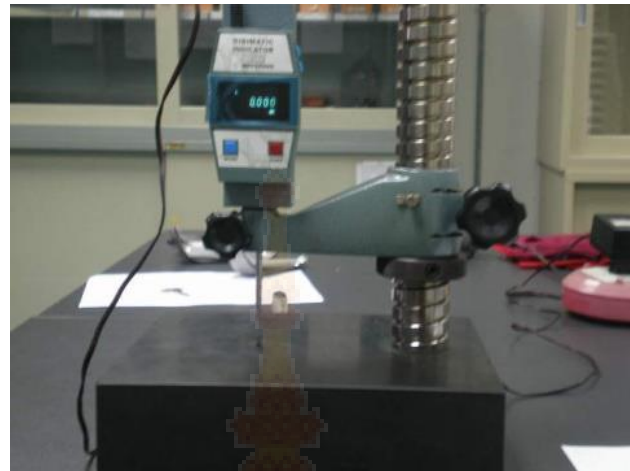
ภาพที่ 3.26 (ก) อุปกรณ์วัดแรงดันน้ำมัน (ข) อุปกรณ์จัดเก็บสัญญาณ

3.2.10. บริเวณจุดที่ตรวจวัดความเครียดแนวความหนา



ภาพที่ 3.27 บริเวณจุดที่ตรวจวัดความเครียดบนชิ้นงาน [1]

3.2.11. อุปกรณ์วัดความหนาชิ้นงาน ดังแสดงในภาพที่ 3.28



ภาพที่ 3.28 เครื่องวัดความหนาชิ้นงาน

3.2.12. ตารางบันทึกผลการทดลอง เป็นตารางบันทึกแรงของการลากขึ้นรูปต่อสัดส่วนของแรงกด ในการใช้ดรอปบีดแต่ละชนิด

ตารางที่ 3.3 ตารางบันทึกแรงที่ใช้ในการลากขึ้นรูป

ครั้งที่	แรงที่ใช้ในการลากขึ้นรูปของรูปทรงดรอป (KN)		
	ครั้งวงกลม	สามเหลี่ยม	สี่เหลี่ยมด้านไม่เท่า
1 แผ่นแบล็ค	X	X	X
2 แผ่นแบล็ค	X	X	X
3 แผ่นแบล็ค	X	X	X
เฉลี่ย	X	X	X

ตารางที่ 3.4 ความเครียดในแนวความ窄ของชิ้นงานในแต่ละจุดตรวจวัด

จุดตรวจวัด ความ窄	รูปทรงครอบบีด					
	ครึ่งวงกลม		หน้าตัดสามเหลี่ยม		สี่เหลี่ยมด้านไม่เท่า	
	ความ窄 ชิ้นงาน	ค่า ความเครียด	ความ窄 ชิ้นงาน	ค่า ความเครียด	ความ窄 ชิ้นงาน	ค่า ความเครียด
A1	X	X	X	X	X	X
A2	X	X	X	X	X	X
A3	X	X	X	X	X	X
A4	X	X	X	X	X	X
A5	X	X	X	X	X	X
A6	X	X	X	X	X	X
A7	X	X	X	X	X	X
A8	X	X	X	X	X	X
A9	X	X	X	X	X	X
A10	X	X	X	X	X	X



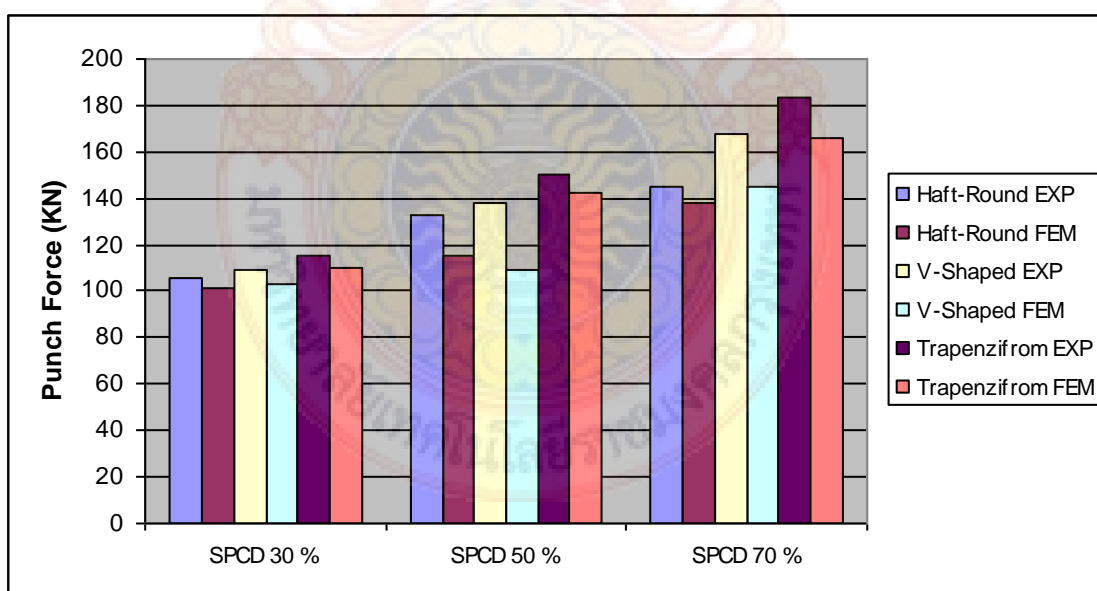
บทที่ 4

ผลการทดลอง

งานวิจัยนี้มีวัตถุประสงค์เพื่อศึกษาอิทธิพลของรูปทรงดรوبีดที่มีผลต่อการลากขึ้นรูปโลหะแผ่นรูปทรงไม่สมมาตร โดยการวิเคราะห์ด้วยไฟไนต์เอลิเมนต์ และนำมาเปรียบเทียบกับชิ้นงานจริง เพื่อนำไปหาค่าความเครียดและความหนาของชิ้นงานในแต่ละจุดที่เกิดขึ้น เมื่อทำการจำลองในแต่ละกรณี รูปทรงดรوبีดต่างกันพบว่ามีผลต่อรอยย่น แรงในการขึ้นรูป และการกระจายตัวของความหนาชิ้นงาน การศึกษาเป็นการเปรียบเทียบกับแผนภาพขีดจำกัดการขึ้นรูป (Forming Limit Diagram :FLD) เพื่อศึกษาความเป็นไปได้ที่จะเกิดรอยย่นกับชิ้นงาน ในแต่ละรูปทรงดรوبีด มีผลการวิจัยดังนี้

4.1 เปรียบเทียบแรงในการขึ้นรูป

เปรียบเทียบแรงขึ้นรูปจริงกับการจำลองด้วยไฟไนต์เอลิเมนต์ในการใช้ดรอบีดแต่ละชนิด ที่ระดับแรงกดชิ้นงาน 30 ,50 และ 70 เปอร์เซ็นต์ ของเหล็ก SPCD



ภาพที่ 4.1 เปรียบเทียบแรงขึ้นรูปจริงกับการจำลองด้วยไฟไนต์เอลิเมนต์ในการใช้ดรอบีดแต่ละชนิด ที่ระดับแรงกดชิ้นงาน 30 ,50 และ 70 เปอร์เซ็นต์ ของเหล็ก SPCD

จากรูปที่ 4.1 เป็นภาพแสดงแรงในการขึ้นรูปชิ้นงานที่มีรูปทรงไม่สมมาตรในการใช้ดรอปิดหน้าตัดครึ่งวงกลม ดรอปิดหน้าตัดรูปตัววี และ ดรอปิดหน้าตัดสีเหลี่ยมด้านไม่เท่า ที่แรงกดชิ้นงาน 30 , 50 และ 70 เปรอร์เซ็นต์ ของเหล็ก SPCD พบว่า

4.1.1 แรงกดชิ้นงาน 30 เปรอร์เซ็นต์ ดรอปิดหน้าตัดครึ่งวงกลม ให้แรงกดสูงสุดที่ 106 KN เปรียบเทียบกันระหว่างแรงในการขึ้นรูปชิ้นงานจริง กับการจำลองการขึ้นรูปด้วยวิธีไฟในอลิเมนต์ พบว่าแรงในการขึ้นรูปแตกต่างเฉลี่ย 5 เปรอร์เซ็นต์ ดรอปิดหน้าตัดรูปตัววี ให้แรงกดสูงสุดที่ 109 KN เปรียบเทียบกันระหว่างแรงในการขึ้นรูปชิ้นงานจริง กับการจำลองการขึ้นรูปด้วยวิธีไฟในอลิเมนต์ พบว่าแรงในการขึ้นรูปแตกต่างเฉลี่ย 6 เปรอร์เซ็นต์ และดรอปิดหน้าตัดสีเหลี่ยมด้านไม่เท่า ให้แรงกดสูงสุดที่ 115 KN เปรียบเทียบกันระหว่างแรงในการขึ้นรูปชิ้นงานจริง กับการจำลองการขึ้นรูปด้วยวิธีไฟในอลิเมนต์ พบว่าแรงในการขึ้นรูปแตกต่างเฉลี่ย 5 เปรอร์เซ็นต์

4.1.2 แรงกดชิ้นงาน 50 เปรอร์เซ็นต์ ดรอปิดหน้าตัดครึ่งวงกลม ให้แรงกดสูงสุดที่ 113 KN เปรียบเทียบกันระหว่างแรงในการขึ้นรูปชิ้นงานจริง กับการจำลองการขึ้นรูปด้วยวิธีไฟในอลิเมนต์ พบว่าแรงในการขึ้นรูปแตกต่างเฉลี่ย 18 เปรอร์เซ็นต์ ดรอปิดหน้าตัดรูปตัววี ให้แรงกดสูงสุดที่ 138 KN เปรียบเทียบกันระหว่างแรงในการขึ้นรูปชิ้นงานจริง กับการจำลองการขึ้นรูปด้วยวิธีไฟในอลิเมนต์ พบว่าแรงในการขึ้นรูปแตกต่างเฉลี่ย 29 เปรอร์เซ็นต์ และดรอปิดหน้าตัดสีเหลี่ยมด้านไม่เท่า ให้แรงกดสูงสุดที่ 150 KN เปรียบเทียบกันระหว่างแรงในการขึ้นรูปชิ้นงานจริง กับการจำลองการขึ้นรูปด้วยวิธีไฟในอลิเมนต์ พบว่าแรงในการขึ้นรูปแตกต่างเฉลี่ย 8 เปรอร์เซ็นต์

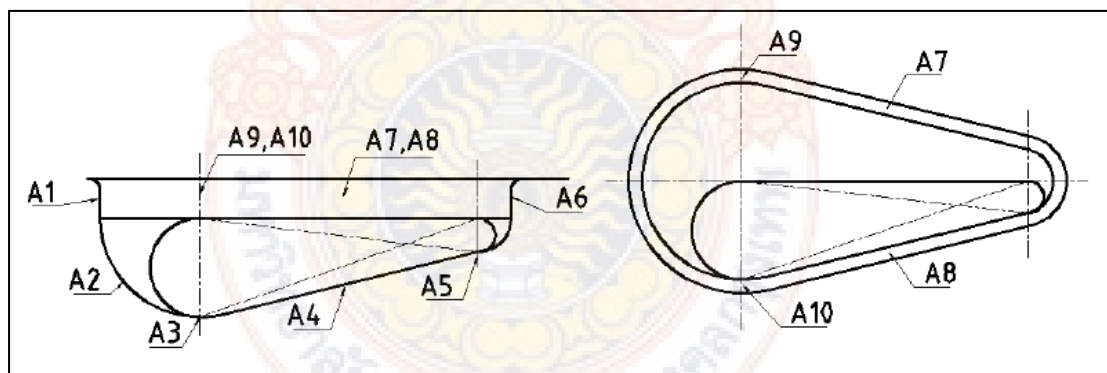
4.1.3 แรงกดชิ้นงาน 70 เปรอร์เซ็นต์ ดรอปิดหน้าตัดครึ่งวงกลม ให้แรงกดสูงสุดที่ 145 KN เปรียบเทียบกันระหว่างแรงในการขึ้นรูปชิ้นงานจริง กับการจำลองการขึ้นรูปด้วยวิธีไฟในอลิเมนต์ พบว่าแรงในการขึ้นรูปแตกต่างเฉลี่ย 7 เปรอร์เซ็นต์ ดรอปิดหน้าตัดรูปตัววี ให้แรงกดสูงสุดที่ 168 KN เปรียบเทียบกันระหว่างแรงในการขึ้นรูปชิ้นงานจริง กับการจำลองการขึ้นรูปด้วยวิธีไฟในอลิเมนต์ พบว่าแรงในการขึ้นรูปแตกต่างเฉลี่ย 23 เปรอร์เซ็นต์ และดรอปิดหน้าตัดสีเหลี่ยมด้านไม่เท่า ให้แรงกดสูงสุดที่ 183 KN เปรียบเทียบกันระหว่างแรงในการขึ้นรูปชิ้นงานจริง กับการจำลองการขึ้นรูปด้วยวิธีไฟในอลิเมนต์ พบว่าแรงในการขึ้นรูปแตกต่างเฉลี่ย 17 เปรอร์เซ็นต์

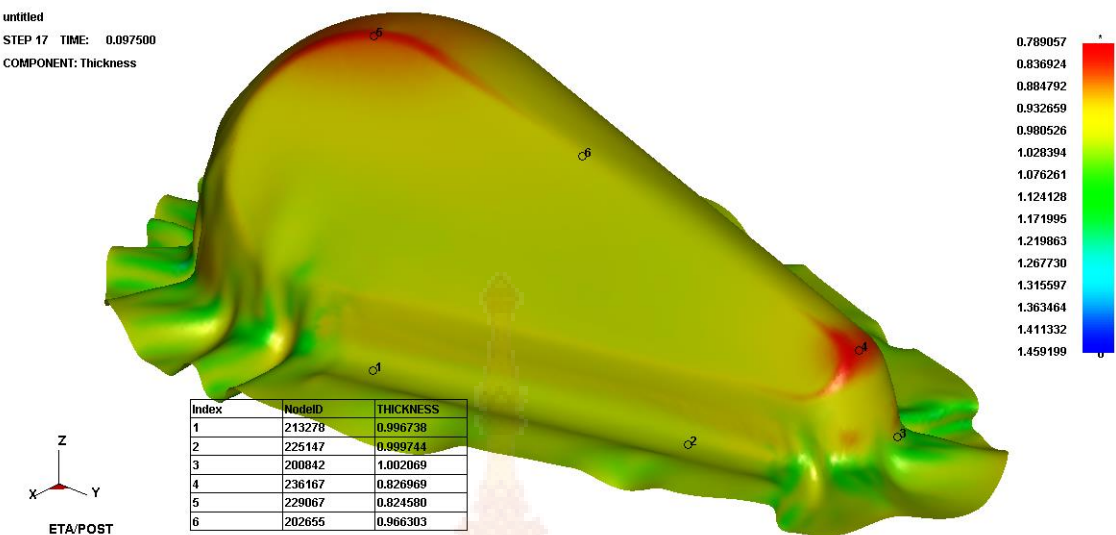
ผลการทดลอง การใช้แรงกดชิ้นงาน 30 เปรอร์เซ็นต์ ไม่เหมาะสมสำหรับการขึ้นรูป เพราะเมื่อทำการขึ้นรูปชิ้นงานเกิดรอยย่นขอบปีกและผนังด้านข้างชิ้นงาน ที่แรงกดชิ้นงาน 50 เปรอร์เซ็นต์ เหมาะสมกับดรอปิดแบบหน้าตัดครึ่งวงกลม เพราะใช้แรงในการขึ้นรูปไม่สูงมากและเกิดการเปลี่ยนแปลงความหนาไม่มากทำให้ชิ้นงานมีคุณภาพมากที่สุด และใช้แรงกดชิ้นงานที่ 70 เปรอร์เซ็นต์ แรงกดชิ้นงานสูงทำให้ชิ้นงานใกล้ตัวได้น้อยจะมีแรงลากขึ้นรูปสูงและทำให้ชิ้นงานเกิดการฉีกขาดของดรอปิดทุกครั้ง ผลการจำลองด้วยไฟในต่ออลิเมนต์มีค่าใกล้เคียงกัน

สรุปกราฟเปรียบเทียบแรงขึ้นรูปจริงกับการจำลองด้วยไฟไนต์เอลิเมนต์ ความลึกในการขึ้นรูป 52 มม. ที่แรงกดชิ้นงาน 30 ,50 และ 70 เปอร์เซ็นต์ ในการใช้ครอบบีดแต่ละชนิด พบว่าแรงลากขึ้นรูปในการใช้ ครอบบีดแบบหน้าตัดสีเหลี่ยมด้านไม่เท่า มีระดับแรงขึ้นรูปสูงสุด เพราะว่าครอบบีดมีหน้าสัมผัส กับโลหะมากที่สุดและรัศมีของครอบบีดมีน้อย ทำให้วัสดุไหลตัวได้น้อยส่งผลให้แรงขึ้นรูปมีค่าสูง รองลงมาเป็นการใช้ครอบบีดหน้าตัดรูปตัววี เพราะรูปทรงของครอบบีดมีลักษณะเรียวและรัศมีน้อยเมื่อมี แรงกดชิ้นงานทำให้วัสดุเกิดการดัดมากเกินไปวัสดุไหลตัวได้น้อย ทำให้ความต้องการในการใช้แรงขึ้นรูปสูง และครอบบีดแบบหน้าตัดครึ่งวงกลม มีระดับแรงขึ้นรูปต่ำสุดเนื่องจากมีรัศมีมากทำให้ความเสียดทานผิวชิ้นงานที่สัมผัสถูกกัดเจ็บมาก แต่ครอบบีดหน้าตัดสีเหลี่ยมด้านไม่เท่า มีค่าน้อยทำให้วัสดุไหลตัวได้ดีที่สุดเมื่อเปรียบเทียบ กับครอบบีดชนิดอื่นทำให้แรงกดที่พื้นที่มีค่าต่ำสุด

4.2 เปรียบเทียบความเครียดแนวความหนา

เปรียบเทียบผลการขึ้นรูปจริงกับการจำลองด้วยไฟไนต์เอลิเมนต์ในการใช้ครอบบีดแต่ละชนิด ที่ระดับแรงกดชิ้นงาน 30 ,50 และ 70 เปอร์เซ็นต์โดยวัดความเครียดแนวความหนา ของชิ้นงานในแต่ละจุด แสดงบริเวณจุดที่ตรวจวัดความหนาบนชิ้นงาน ดังแสดงในภาพที่ 4.2

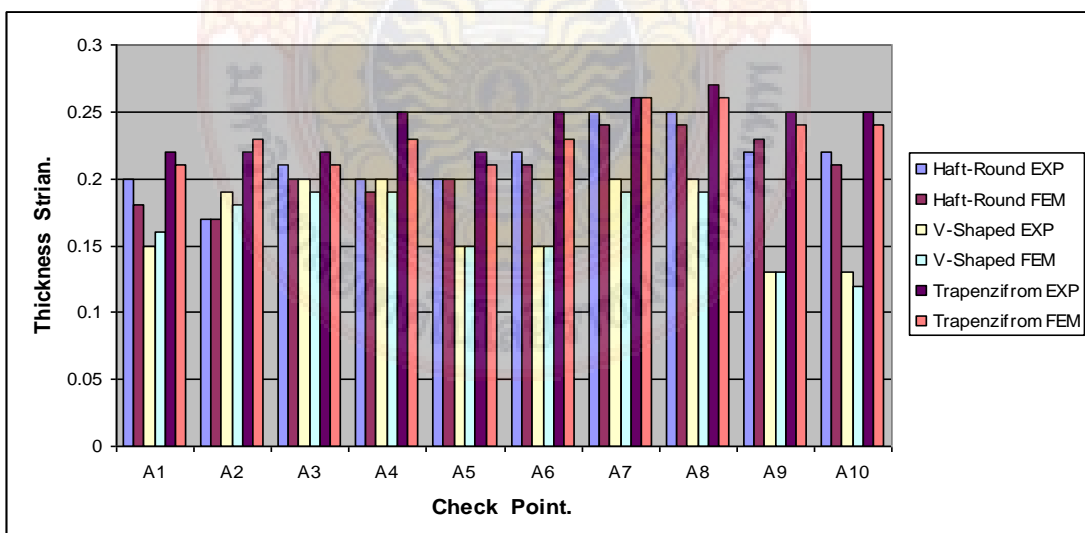




ภาพที่ 4.2 บริเวณจุดที่ตรวจวัดความหนาบนชิ้นงาน [1]

เปรียบเทียบความเครียดแนวความหนาของการขึ้นรูปจริงกับการจำลองด้วยไฟไนต์อเลี่ยมเมนต์ในการใช้รอบปีดแต่ละชนิด ที่ระดับแรงกดชิ้นงาน 30 ,50 และ 70 เปอร์เซ็นต์

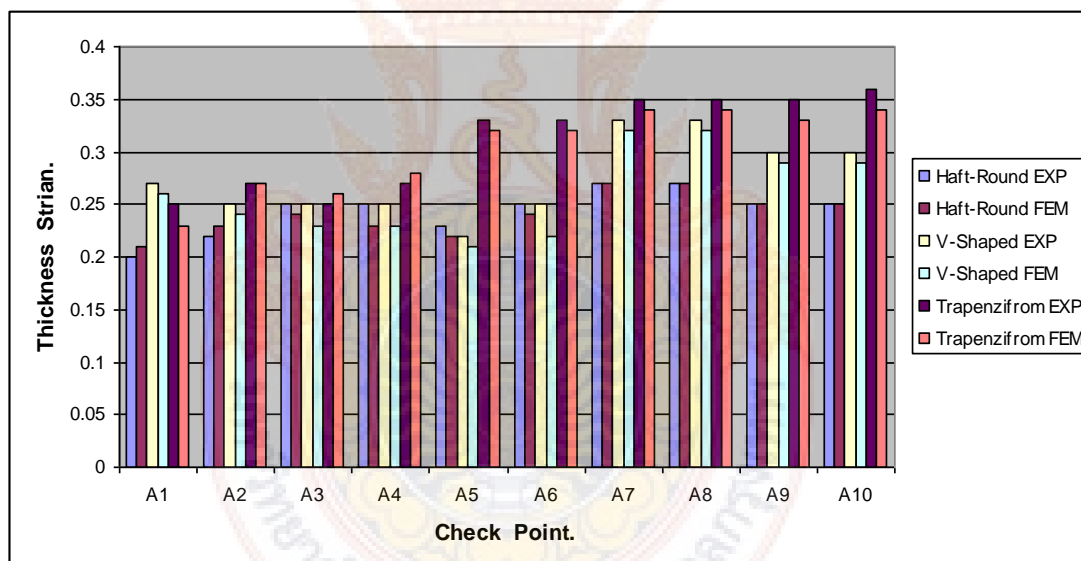
4.2.1 เปรียบเทียบความเครียดแนวความหนาของการขึ้นรูปจริงกับการจำลองด้วยไฟไนต์อเลี่ยมเมนต์ในการใช้รอบปีดแต่ละชนิด ที่ระดับแรงกดชิ้นงาน 30 เปอร์เซ็นต์ เหล็ก SPCD



ภาพที่ 4.3 เปรียบเทียบความเครียดแนวความหนาของการขึ้นรูปจริงกับการจำลองด้วยไฟไนต์อเลี่ยมเมนต์ในการใช้รอบปีดแต่ละชนิด ที่ระดับแรงกดชิ้นงาน 30 เปอร์เซ็นต์ เหล็ก SPCD

จากการทดลองการขึ้นรูปจะพบว่า ตัวแปรที่มีผลต่อ ความหนาที่ลดลง ระหว่างการขึ้นรูปคือ แรงกดของแผ่นกดชิ้นงานและชนิดครอบดิบ จากภาพที่ 4.4 แสดงการเปลี่ยนแปลงความเครียดแนว ความหนา มีค่าสูงสุดเท่ากับ 27 % ที่จุด A7 และ A8 ของหน้าตัดสี่เหลี่ยมด้านไม่เท่า ส่วนครอบดิบแบบหน้าตัดรูปตัววีเปลี่ยนแปลงความเครียดแนวความหนาสูงสุดเท่ากับ 20 % ที่จุด A7 และ A8 และครอบดิบหน้าตัดครึ่งวงกลมเปลี่ยนแปลงความหนาสูงสุดเท่ากับ 25 % ที่แรงกดชิ้นงาน 30 % จาก รูปที่ 4.6 กราฟแสดงเปรียบเทียบครอบดิบต่างชนิดกันกัน จะเห็นได้ว่า เมื่อเปลี่ยนรูปทรงของครอบดิบ จากครอบดิบแบบหน้าตัดรูปตัววีและหน้าตัดสี่เหลี่ยมด้านไม่เท่า และครอบดิบหน้าตัดครึ่งวงกลม จะเห็นได้ว่าค่าร้อยละการบางลงของความหนาสูงสุดเกิดการเปลี่ยนแปลง เมื่อเปลี่ยนรูปทรงของครอบดิบ จากผลการทดลองเปรียบเทียบกับการจำลองด้วยไฟไนต์เอลิเมนต์พบว่าการเปลี่ยนแปลงความหนามีค่าใกล้เคียงกันทุกตัวແเน่ง มีความแตกต่างเฉลี่ย 21 %

4.2.2. เปรียบเทียบความเครียดแนวความหนาของการขึ้นรูปจริงกับการจำลองด้วยไฟไนต์เอลิเมนต์ในการใช้ครอบดิบแต่ละชนิด ที่ระดับแรงกดชิ้นงาน 50 เปอร์เซ็นต์ เหล็ก SPCD

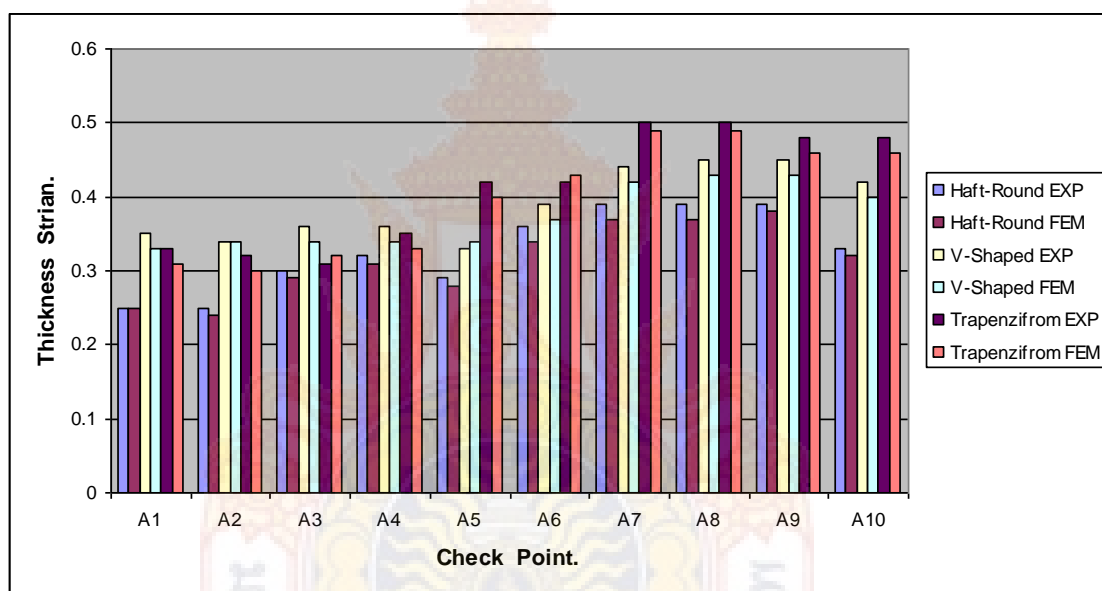


ภาพที่ 4.4 เปรียบเทียบความเครียดแนวความหนาของการขึ้นรูปจริงกับการจำลองด้วยไฟไนต์เอลิเมนต์ในการใช้ครอบดิบแต่ละชนิด ที่ระดับแรงกดชิ้นงาน 50 เปอร์เซ็นต์ เหล็ก SPCD

จากการทดลองการผลิตการขึ้นรูป ภาพที่ 4.5 พบว่าเมื่อเพิ่มแรงกดชิ้นงานจาก 30 % เป็น 50% ใน การขึ้นรูปโดยการใช้ครอบดิบที่มีรูปทรงแตกต่างกัน พบว่าความหนามีค่าแตกต่างกัน โดยที่ ครอบรูปทรงหน้าตัดแบบสี่เหลี่ยมด้านไม่เท่ามีการเปลี่ยนแปลงความเครียดแนวความหนาสูงสุด เฉลี่ย 36 % ที่จุด A10 รองลงมาเป็นครอบหน้าตัดรูปตัววี

มีการเปลี่ยนแปลงความเครียดแนวความหนาสูงสุดเฉลี่ย 33 % ที่จุดวัดความหนาเดียวกัน และรอบปีดหน้าตัดครึ่งวงกลมเกิดการเปลี่ยนแปลงความหนาต่ำสุดเฉลี่ย 27 % ที่แรงกดชิ้นงาน 50 % พบว่า เมื่อเปลี่ยนรูปทรงของรอบปีด จากรอบปีดแบบหน้าตัดรูปตัววีและหน้าตัดสี่เหลี่ยมด้านไม่เท่า และรอบปีดหน้าตัดครึ่งวงกลม จะเห็นได้ว่าค่าร้อยละการบางลงของความหนาเกิดการเปลี่ยนแปลงเมื่อเปลี่ยนรูปทรงของรอบปีด จากผลการทดลองเปรียบเทียบกับการจำลองด้วยไฟไนต์เอลิเมนต์พบว่าการเปลี่ยนแปลงความหนามีค่าใกล้เคียงกันทุกตัวแทน มีความแตกต่างเฉลี่ย 25 %

4.2.3 เปรียบเทียบความเครียดแนวความหนาของการขึ้นรูปจริงกับการจำลองด้วยไฟไนต์เอลิเมนต์ในการใช้รอบปีดแต่ละชนิด ที่ระดับแรงกดชิ้นงาน 70 เปอร์เซ็นต์ เหล็ก SPCD



ภาพที่ 4.5 เปรียบเทียบความเครียดแนวความหนาของการขึ้นรูปจริงกับการจำลองด้วยไฟไนต์เอลิเมนต์ในการใช้รอบปีดแต่ละชนิด ที่ระดับแรงกดชิ้นงาน 70 เปอร์เซ็นต์ เหล็ก SPCD

จากการผลทดสอบการลองการขึ้นรูป ภาพที่ 4.11 พบว่าเมื่อเพิ่มแรงกดชิ้นงาน 70 % ใน การขึ้นรูปโดยการใช้รอบปีดที่มีรูปทรงแตกต่างกัน พบว่าความเครียดแนวความหนามีค่าเพิ่มสูงขึ้น โดยที่รอบปีดรูปทรงหน้าตัดแบบสี่เหลี่ยมด้านไม่เท่ามีการเปลี่ยนแปลงความเครียดแนวความหนาสูงสุดเฉลี่ย 50 % ที่จุด A7,A8 รองลงมาเป็นรอบปีดหน้าตัดรูปตัววี มีการเปลี่ยนแปลงความเครียดแนวความหนาสูงสุดเฉลี่ย 45% ที่จุดวัดความหนาเดียวกัน และรอบปีดหน้าตัดครึ่งวงกลมเกิดการเปลี่ยนแปลงความหนาต่ำสุดเฉลี่ย 38 % ที่แรงกดชิ้นงาน 50 % จากภาพที่ 4.7 กราฟแสดง

เปรียบเทียบรูปทรงครอบบีด จะเห็นได้ว่า เมื่อเปลี่ยนรูปทรงของครอบบีด จากครอบบีดแบบหน้าตัดรูปตัววีและหน้าตัดสี่เหลี่ยมด้านไม่เท่า และครอบบีดหน้าตัดครึ่งวงกลม จะเห็นได้ว่าค่าร้อยละการบางลงของความหนาเกิดการเปลี่ยนแปลงเมื่อเปลี่ยนรูปทรงของครอบบีด จากผลการทดลองเปรียบเทียบกับการจำลองด้วยไฟในต์เอลิเมนต์พบว่าการเปลี่ยนแปลงความหนามีค่าใกล้เคียงกันทุกตัวแหน่ง มีความแตกต่างเฉลี่ย 30 %

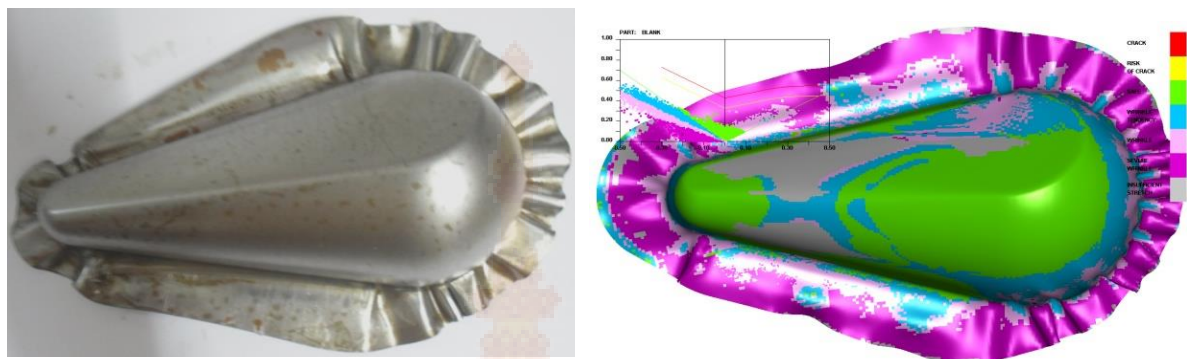
4.2.4 สรุปการเปรียบเทียบความเครียดและความหนาของการขึ้นรูป

1) จากผลการทดลองการขึ้นรูป พบร่วมกัน 30 เปรอร์เซ็นต์ ของครอบบีดทั้ง 3 ชนิด คือ ครอบบีดแบบหน้าตัดครึ่งวงกลม หน้าตัดสามเหลี่ยม หน้าตัดสี่เหลี่ยมด้านไม่เท่า วัสดุไอลต์ได้มากเกินไปเนื่องจากแรงกดชิ้นงานน้อยเกินไปส่งผลให้เกิดรอยย่นบริเวณปีกของชิ้นงาน แต่จากการจำลองด้วยไฟในต์เอลิเมนต์ที่แรงกดชิ้นงาน 30 เปรอร์เซ็นต์ของครอบบีดทั้ง 3 ชนิดวัสดุมีค่าความหนาและตัวแหน่งของรอยย่นใกล้เคียงกับการขึ้นรูปจริง

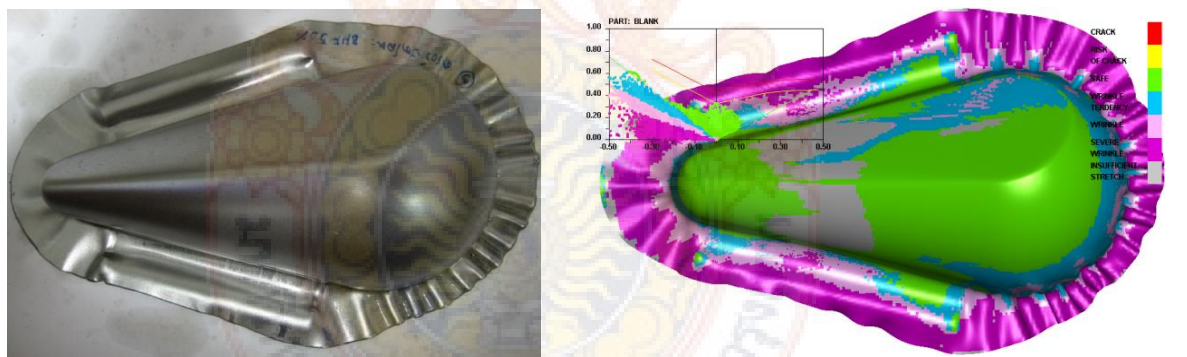
2) คุณภาพชิ้นงานในการใช้ครอบบีดแต่ละชนิดที่แรงกดชิ้นงาน 50 % ชิ้นงานที่ได้จากการขึ้นรูปมีแรง拉开ขึ้นรูปสูงกว่า 30 % ใน การใช้ครอบบีดทั้ง 3 รูปทรงนั้นยังพบว่าชิ้นงานเกิดรอยย่นที่ผนังชิ้นงานและขอบปีกชิ้นงานบ้างเล็กน้อย เนื่องจากแรงกดชิ้นงานมีความเหมาะสมกับการขึ้นรูป แต่ที่ระยะลึกสุดของชิ้นงานบริเวณนี้จะมีขนาดความหนาลดลง จะเห็นได้ว่ามีค่าความเครียดเกิดขึ้นสูงและตรงที่ชิ้นงานที่ใช้ครอบบีดแบบหน้าตัดสี่เหลี่ยมด้านไม่เท่า จะทำให้ชิ้นงานง่ายต่อการฉีกขาด แต่ในขณะที่ใช้ครอบบีดแบบหน้าตัดสี่เหลี่ยมด้านไม่เท่า นั้นพบว่าชิ้นงานเกิดรอยย่นที่ขอบปีกชิ้นงาน ความถี่การเกิดรอยย่นมากขึ้นกว่าครอบบีดแบบหน้าตัดสามเหลี่ยม และครอบบีดแบบหน้าตัดครึ่งวงกลม มีการเกิดรอยย่นน้อยที่สุด ซึ่งผลการจำลองด้วยไฟในต์เอลิเมนต์ที่แรงกดชิ้นงาน 50 เปรอร์เซ็นต์ ของครอบบีดและวัสดุทั้ง 3 ชนิดวัสดุมีค่าความหนาและตัวแหน่งของรอยย่นใกล้เคียงกับการขึ้นรูปจริง

3) คุณภาพชิ้นงานในการใช้ครอบบีดแต่รูปทรงที่แรงกดชิ้นงาน 70 เปรอร์เซ็นต์ ชิ้นงานที่ได้จากการขึ้นใน การใช้ครอบบีดแบบหน้าตัดสี่เหลี่ยมด้านไม่เท่า ครอบบีดแบบหน้าตัดครึ่งวงกลม และครอบบีดแบบหน้าตัดสามเหลี่ยม พบร่วมกัน 70 เปรอร์เซ็นต์ ของครอบบีดที่ครอบบีดทำให้โลหะไม่สามารถไหลเข้าสู่ช่องดายได้ทำให้เกิดความรุนแรงของการเปลี่ยนรูปวัสดุ เกิดความเค้นสูงสุดทำให้ชิ้นงานเกิดความเสียหาย แต่ไม่เกิดรอยย่นที่บริเวณขอบปีกของชิ้นงานเนื่องจากแรงกดของชิ้นงานสูงและแรง拉开ขึ้นรูปมากจึงทำให้มีการเปลี่ยนแปลงความหนาของชิ้นงานมากที่สุดด้วย ซึ่งผลการจำลองการขึ้นรูปด้วยไฟในต์เอลิเมนต์ มีค่าใกล้เคียงกัน

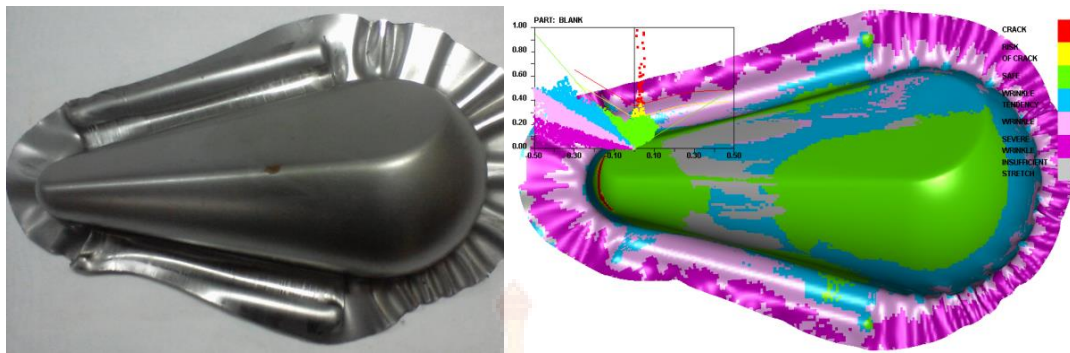
4.2.5 เปรียบเทียบรูปร่างของชิ้นงาน ระหว่างวิธีไฟไนต์เอลิเมนต์และวิธีการทดลองจริงของครอปิดแบบครึ่งวงกลม ด้วยแรงกดชิ้นงาน 30,50 และ 70 เปอร์เซ็นต์ ของเหล็ก SPCD ดังภาพที่ 4.5 - 4.7



ภาพที่ 4.6 เปรียบเทียบรูปร่างของชิ้นงาน ระหว่างวิธีไฟไนต์เอลิเมนต์และวิธีการทดลองจริงของครอปิดแบบครึ่งวงกลม ด้วยแรงกดชิ้นงาน 30 เปอร์เซ็นต์ ของเหล็ก SPCD



ภาพที่ 4.7 เปรียบเทียบรูปร่างของชิ้นงาน ระหว่างวิธีไฟไนต์เอลิเมนต์และวิธีการทดลองจริงของครอปิดแบบครึ่งวงกลม ด้วยแรงกดชิ้นงาน 50 เปอร์เซ็นต์ ของเหล็ก SPCD



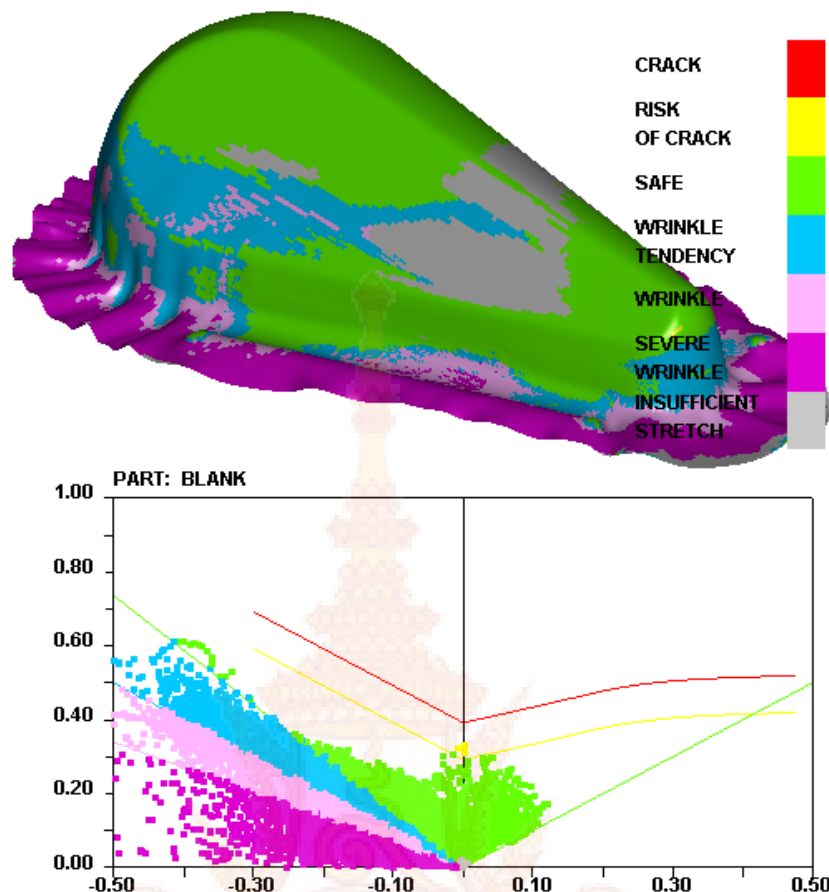
ภาพที่ 4.8 เปรียบเทียบปรับร่างของชิ้นงาน ระหว่างวิธีไฟแน็ตเอลิเมนต์และวิธีการทดลองจริงของ ดรอปีดแบบครึ่งวงกลม ด้วยแรงกดชิ้นงาน 70 เปอร์เซ็นต์ ของเหล็ก SPCD

4.3 ศึกษาอิทธิพลรูปทรงของดรอปีดในกระบวนการขึ้นรูป

หลังจากที่ได้ทำการเปรียบเทียบผลการทดลองกับจำลองกระบวนการขึ้นรูปโลหะแผ่นที่มีรูปทรงไม่สมมาตร โดยใช้ระบบวิธีไฟแน็ตเอลิเมนต์ กับผลการทดลองในหัวข้อที่ 4.2 และ 4.3 สรุปได้ว่าการนำดรอปีดเข้ามาช่วยควบคุมปริมาณวัสดุที่ถูกดึงเข้าไปในแม่พิมพ์ที่มีรูปทรงไม่สมมาตรเพื่อป้องกันการเกิดรอยย่น หรือรอยย่นน้อยที่สุด ในกระบวนการทำได้โดยใช้ ดรอปีด 3 ชนิด ที่มีรูปทรงต่างกัน ได้แก่ ดรอปีดหน้าตัดแบบครึ่งวงกลม หน้าตัดรูปปัตรวีและหน้าตัดสี่เหลี่ยมด้านไม่เท่า ที่แรงกดชิ้นงาน 50 เปอร์เซ็นต์ ของเหล็ก SPCD ในกระบวนการเปรียบเทียบผลการขึ้นรูป

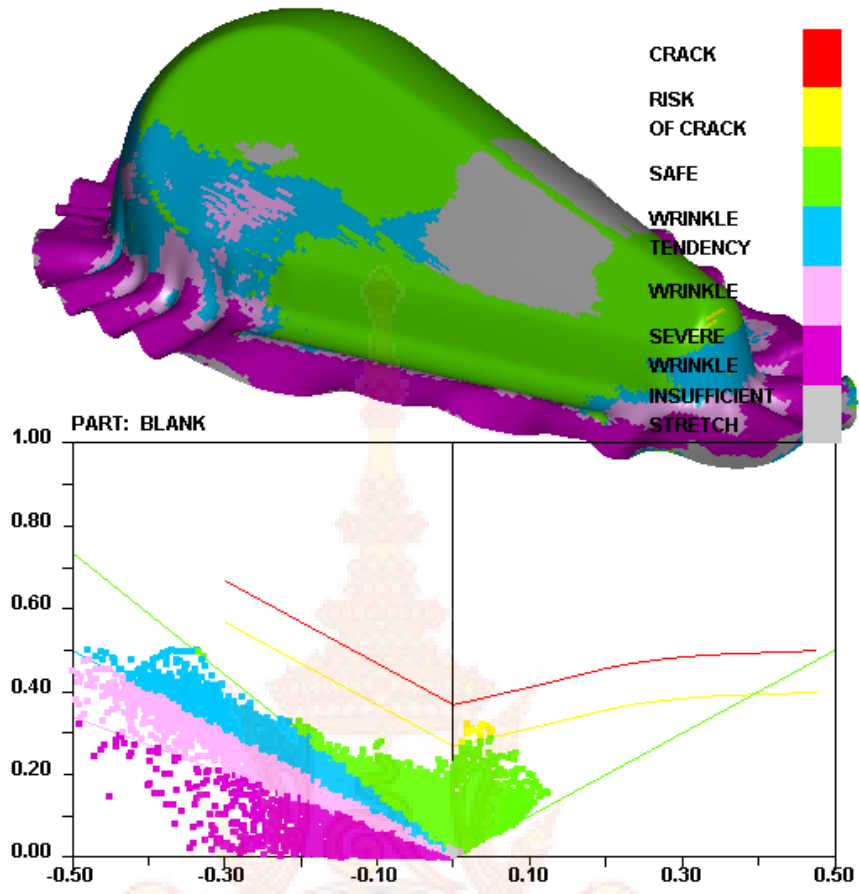
4.3.1 การเปรียบเทียบรอยย่นกับรูปทรงของดรอปีด

การเปรียบเทียบรอยย่นกับรูปทรงของดรอปีด แรงกดชิ้นงาน 50 เปอร์เซ็นต์ เหล็ก SPCD จากภาพที่ 4.9 แสดงการเปรียบเทียบร้อยละการเกิดรอยย่นกับรูปทรงของดรอปีด ซึ่งได้จากแผนภาพขีดจำกัดการขึ้นรูป (Forming Limit Diagram :FLD) พบว่าเมื่อเปลี่ยนรูปทรงของดรอปีดร้อยละของรอยย่นเมื่อเทียบกับจำนวนเอลิเมนต์ทั้งหมดนั้นมีค่าเปลี่ยนไป



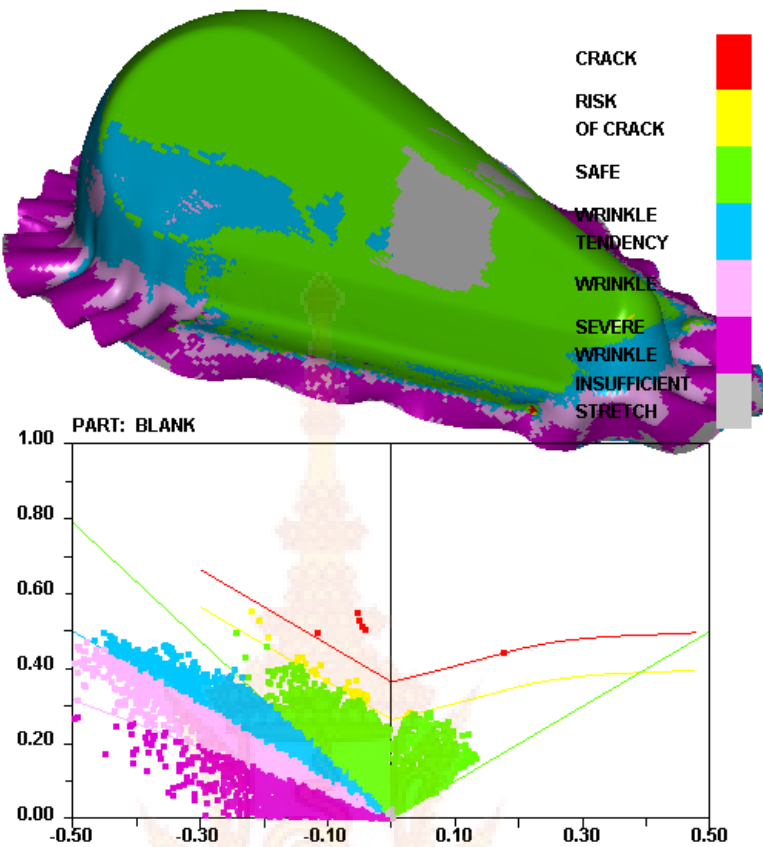
ภาพที่ 4.9 แผนภาพขีดจำกัดการขึ้นรูป กรณีการใช้ดรอปบีดหน้าตัดครึ่งวงกลม ของเหล็ก SPCD

รูปร่างของดรอปบีดที่ต่างกัน ซึ่งดรอปบีดหน้าตัดแบบครึ่งวงกลม เกิดรอยย่นน้อยที่สุด กล่าวคือเมื่อดรอปบีดสัมผัสกับแผ่นชิ้นงานและมีแรงกดชิ้นงานที่เพียงพอสำหรับการขึ้นรูป เกิดการดรอว์ (Draw) และ การดึงยืดขึ้นรูป (Stretching) ที่เพียงพอสำหรับการให้ผลิตภัณฑ์ที่มีคุณภาพ โดยไม่เกิดการหักเห แต่ในกรณีที่ดรอปบีดไม่สามารถให้แรงกดที่เพียงพอ อาจเกิดการหักเหได้ ดังที่แสดงในภาพที่ 4.10

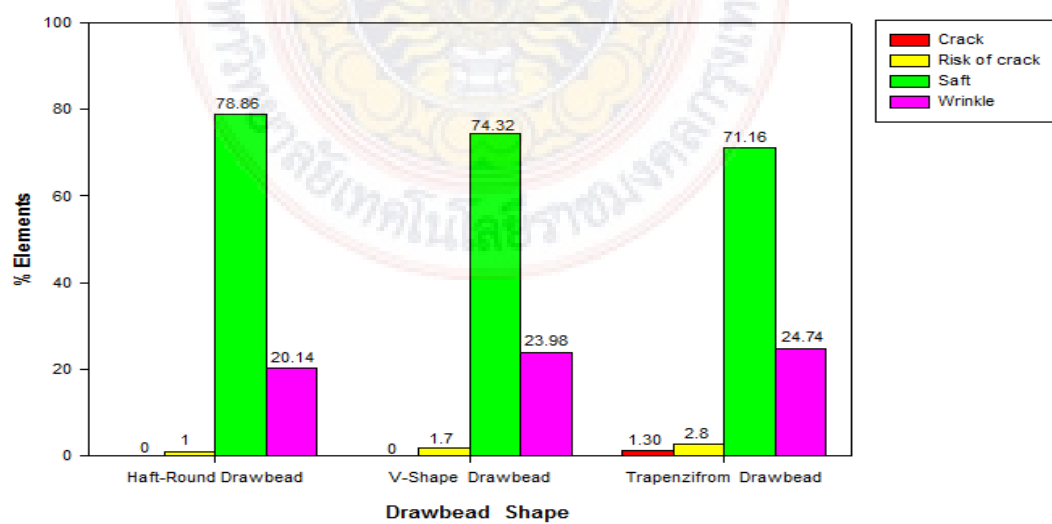


ภาพที่ 4.10 แผนภาพขีดจำกัดการขึ้นรูป กรณีการใช้รอบปิดหน้ารูปตัววี ของเหล็ก SPCD

ส่วนครอบปิดหน้าตัดรูปตัววีพบว่าเกิดรอยย่นมากกว่าครอบปิดหน้าตัดครึ่งวงกลม คือ เมื่อมีแรงกดซิ้นงานครอบปิดมีรูปทรงปลายแหลมและรัศมีของครอบปิดน้อยทำให้วัสดุเกิดการดัดมาก เกินไปโลหะแหลมตัวได้น้อยซิ้นงานเกิดการดึงยึดขึ้นรูปสูง และการตรวจสอบลดลงส่งผลให้ซิ้นงานเกิดการฉีกขาด แต่บริเวณขอบซิ้นงานเกิดความเค้นอัดสูงขึ้นส่งผลให้รอยย่นเพิ่มสูงขึ้น ภาพที่ 4.11 แสดง แผนภาพขีดจำกัดการขึ้นรูป ใช้รอบปิดหน้ารูปตัววี และครอบปิดหน้าตัดแบบสี่เหลี่ยมด้านไม่เท่า เกิดรอยย่นมากที่สุด ซึ่งแนวโน้มของภาพที่ 4.10 พบว่ารูปทรงของครอบปิดมีอิทธิพลต่อรอยย่นที่เกิดขึ้น สอดคล้องกับทฤษฎี ในหัวข้อที่ 2.5 จากกราฟจะเห็นได้ว่ารูปทรงของครอบปิดและแรงกดของแผ่นกด ซิ้นงาน นั้นมีผลต่อการเกิดรอยย่น ซึ่งทำให้ปริมาณการดึงยึดขึ้นรูป (Stretching) เพิ่มขึ้น และลด ความเค้นกดในแนวเส้นรอบวง (Compressive Stress) ลงได้ จึงทำให้รอยย่นลดลง จากผลการทดลองนี้ ยังต้องพิจารณาการเกิดการฉีกขาดด้วย เมื่อเพิ่มแรงกดแผ่นกดซิ้นงาน อาจจะทำให้เกิดการฉีกขาดมากขึ้นตามไปด้วย เนื่องจากเกิดการดึงยึดขึ้นรูปที่เพิ่มขึ้น



ภาพที่ 4.11 แผนภาพขีดจำกัดการขึ้นรูป กรณีการใช้ดรอปบีดหน้าตัดสี่เหลี่ยมด้านไม่เท่า ของเหล็ก SPCD



ภาพที่ 4.12 แผนภูมิของร้อยละเอลิเม้นต์ในแต่ละชนิดของดรอปบีดของเหล็ก SPCD

บทที่ 5

สรุปผลการทดลอง

งานวิจัยฉบับนี้ได้ศึกษาเกี่ยวกับการศึกษาอิทธิพลของรูปทรงของครอบบีดที่มีผลต่อการลากขึ้นรูปโลหะแผ่นโดยวิธีการวิเคราะห์ด้วยไฟไนต์เอลิเมนต์ เพื่อศึกษาผลกระทบในการขึ้นรูปโลหะแผ่นเพื่อประเมินความสามารถในการขึ้นรูปโลหะที่มีรูปทรงไม่สมมาตร เปรียบเทียบการขึ้นรูปชิ้นงานจริงกับการวิเคราะห์จากการจำลองการขึ้นรูปด้วยระบบเบียร์ไฟไนต์เอลิเมนต์ ภายใต้แรงกดขึ้นงาน 30 เปอร์เซ็นต์ 50 เปอร์เซ็นต์ และ 70 เปอร์เซ็นต์ ของแรงลากขึ้นรูป ทดสอบ SPCD สามารถสรุปได้ดังนี้

5.1 สรุปผลการทดลอง

1. แรงกดขึ้นงาน 30 เปอร์เซ็นต์ แรงกดไม่เพียงพอสำหรับการขึ้นรูป ทำให้ชิ้นงานเกิดรอยย่นบริเวณขอบปีกชิ้นงาน แรงกดขึ้นงาน 50 เปอร์เซ็นต์เป็นแรงที่เหมาะสมสำหรับการขึ้นรูปโดยใช้ดรอปบีดแบบหน้าตัดครึ่งวงกลม ถ้าใช้แรงกดขึ้นงาน 70 เปอร์เซ็นต์ ชิ้นงานเกิดการฉีกขาดจะมีความหนาลดลงมากจากผลการจำลองด้วยไฟไนต์เอลิเมนต์มีความสอดคล้องกัน

2. จากการวิจัยพบว่า รูปทรงของครอบนั้น มีผลต่อ การเกิดรอยย่นและ การฉีกขาด โดยวัดเป็นจำนวนเอลิเมนต์ที่ เกิดขึ้น พบร่วมกับ ครอบหน้าตัดครึ่งวงกลม เกิดรอยย่นน้อยที่สุด และ รูปทรงของครอบบีดมีผลต่อการฉีกขาด และรอยย่น ซึ่งเมื่อใช้แรงกดขึ้นงานที่เท่ากัน แรงขึ้นรูปเพิ่มขึ้นตามแรงกดขึ้นงาน และรูปทรงของครอบบีดในส่วนของการเปลี่ยนแปลงความหนาของแผ่นโลหะนั้น รูปทรงของครอบมีผลต่อการลดลงของการเปลี่ยนแปลงความหนา ซึ่งสามารถทำนายการเกิดการฉีกขาดได้ เมื่อพิจารณา แผนภาพขีดจำกัดการขึ้นรูป (Forming Limit Diagram: FLD) จะแสดงถึงเอลิเมนต์ที่เกิดการฉีกขาด และรอยย่น เมื่อเปรียบเทียบรูปทรงของครอบบีดต่างๆ พบร่วมกับ ครอบหน้าตัดครึ่งวงกลม เกิดการฉีกขาดและรอยย่นน้อยที่สุด

5.2 การอภิปรายผล

จากการวิเคราะห์การเปรียบเทียบระหว่างการขึ้นรูปชิ้นงานจริง กับการจำลองการขึ้นรูปด้วยระบบเบียร์ไฟไนต์เอลิเมนต์ พบร่วมกับความสามารถแสดงถึงพฤติกรรมการขึ้นรูปโลหะแผ่น ที่มีแนวโน้มของผลลัพธ์ที่สอดคล้องกัน ดังนั้นจึงสามารถนำผลการวิเคราะห์ไฟไนต์เอลิเมนต์จากการจำลองการขึ้นรูป ไปประยุกต์ใช้สำหรับการออกแบบครอบบีดในการขึ้นรูปโลหะแผ่น สำหรับในการใช้ครอบมี

อิทธิพลต่อการขึ้นรูปชิ้นงานที่มีรูปทรงไม่สมมาตรของเหล็กแผ่นเกรด SPCD โดยเฉพาะการขึ้นรูปชิ้นงานที่มีรูปทรงไม่สมมาตร การให้เหล็ตัวของวัสดุไม่เท่ากันส่งผลให้ชิ้นงานมีความหนากระจากตัวไม่สม่ำเสมอ กัน จึงได้มีการประยุกต์ใช้ครอบบีดมาใช้ในการควบคุมการให้เหล็ตัวของวัสดุ โดยมีการออกแบบครอบบีด 3 ลักษณะได้แก่ ครอบหน้าตัดครึ่งวงกลม หน้าตัดรูปตัววี และ หน้าตัดสี่เหลี่ยม ด้านไม่เท่า มาใช้ในการขึ้นรูปชิ้นงานรูปทรงไม่สมมาตรแล้วนำผลที่ได้มาเปรียบเทียบกับการจำลองด้วยไฟไนต์เอลิเมนต์ ดังนั้นจึงสรุปได้ว่า รูปทรงของครอบบีดมีผลต่อการขึ้นรูปชิ้นงานที่มีรูปทรงไม่สมมาตร โดยครอบหน้าตัดครึ่งวงกลม

5.3 ข้อเสนอแนะ

5.3.1 ศึกษาปัจจัยที่มีอิทธิพลต่อการขึ้นรูปชิ้นงานที่มีรูปทรงไม่สมมาตรกับวัสดุนอกกลุ่มเหล็ก โดยเปรียบเทียบกับไฟไนต์เอลิเมนต์

5.3.2 ศึกษาเปรียบเทียบชนิดของสารหล่อลื่นสำหรับกับการขึ้นรูปเปรียบเทียบกับการจำลองด้วยไฟไนต์เอลิเมนต์

5.3.3 เปรียบเทียบความสูงของครอบสำหรับการขึ้นรูปกับการจำลองด้วยไฟไนต์เอลิเมนต์

5.3.4 ครอบที่ใช้สำหรับการลากขึ้นรูปควรมีรัศมีมากเพื่อลดแรงเสียดทานของแผ่น แบล็คที่จะสัมผัสกับแผ่นเหยียบชิ้นงานและช่องดาย

5.3.5 ศึกษาชนิดของครอบบีด ความสูงของครอบบีด และตำแหน่งการติดตั้งครอบในการขึ้นรูปเปรียบเทียบกับการจำลองด้วยไฟไนต์เอลิเมนต์

บรรณานุกรม

- [1] บุญส่ง จงกลนี, ศึกษาอิทธิพลของตัวแปรในกระบวนการขึ้นรูปลีกชิ้นงานที่มีรูปทรงไม่สมมาตรต่อสมบัติการขึ้นรูปของเหล็ก SPCC , วิทยานิพนธ์ปริญญาวิศวกรรมศาสตร์ มหาบัณฑิต วิศวกรรมอุตสาหการ มหาวิทยาลัยเทคโนโลยีราชมงคลล้านบุรี, 2552.
- [2] Meiders,et al, The implementation of an Equivalent Drawbead model in a finite Element code for sheet model forming. Journal of material processing Technology 1998,234-244
- [3] M.Samuel, Influence of drawbead geometry on sheet metal forming, Faculty of Engineering, Department of Production Engineering and Machine Design, Mansoura University, 2001.pp.94-103.
- [4] กิตติภูมิ รัตนจันทร์ , ผลกระทบจากการขึ้นรูปโลหะแผ่น, ปริญญา วิศวกรรมศาสตร์มหาบัณฑิต สาขาวิศวกรรมการผลิต สถาบันเทคโนโลยีพระจอมเกล้าฯ พระนครเหนือ,2543
- [5] ชัยยศ บุรณะชีพ, การวิเคราะห์พฤติกรรมการย่นโดย แผนภาพขีดจำกัดการขึ้นรูป, ภาควิชาช่างเครื่อง, การผลิตบัณฑิตวิทยาลัย สถาบันเทคโนโลยีพระนครเหนือ, 2549.
- [6] ธนาสาร อินทร์กำธร, “5 คำถามกับการจำลองการขึ้นรูปโลหะแผ่น,” ศูนย์เทคโนโลยีโลหะและวัสดุแห่งชาติ.
- [7] ชนะชัย วัฒนาวงศ์, และ ชัยวัฒน์ ทองหลี, การศึกษาตัวแปรในการลากขึ้นรูปโลหะแผ่น, ปริญญาดุษฎีบัณฑิต สาขาวิศวกรรมเครื่องมือและวัสดุ คณะ วิศวกรรมศาสตร์ มหาวิทยาลัยเทคโนโลยีพระจอมเกล้าธนบุรี, 2540.
- [8] มาโนช กรอบเงิน, การออกแบบแม่พิมพ์และการใช้โปรแกรมไฟไนต์เอลิเมนต์ช่วยในการวิเคราะห์การลากขึ้นรูปชิ้นงานขอบสันฝาข้างท้ายรถระบบ, ปริญญาดุษฎีบัณฑิต สาขาวิชาเทคโนโลยีการขึ้นรูปโลหะ คณะวิศวกรรมศาสตร์ มหาวิทยาลัยเทคโนโลยีพระจอมเกล้าธนบุรี, 2548.
- [9] Kobayashi, S., Oh, S. and Altan, T., Metal Forming and Finite Element Method, New York Oxford University, 1989. pp.58-109.

- [10] พนา แซ่บสวัสดิ์, การแก้ปัญหารอยย่นในงานขึ้นรูปถ่วงที่ทำด้วยเหล็กกล้าไร้สนิม, วิทยานิพนธ์วิศวกรรมศาสตร์มหาบัณฑิต สาขาวิศวกรรมการผลิต สถานบันเทคโนโลยีพระจอมเกล้าฯ พระนครเหนือ, 2541.
- [11] สุบิน ขันตี, การศึกษาความไวอัตราการยึดตัวของเหล็กกล้าไร้สนิม SUS 304 ด้วยไฟไนต์ เอลิเมนต์, ปริญญาวิศวกรรมศาสตร์มหาบัณฑิต สาขาวิชาเทคโนโลยีการขึ้นรูปโลหะ คณะวิศวกรรมศาสตร์ มหาวิทยาเทคโนโลยีพระจอมเกล้าธนบุรี, 2548.
- [12] ชาญ ณัดงาน, “เทคโนโลยีการขึ้นรูปโลหะและพื้นฐานการขึ้นรูปโลหะ,” ภาควิชา วิศวกรรมการผลิต คณะวิศวกรรมศาสตร์ สถานบันเทคโนโลยีพระจอมเกล้าฯ พระนครเหนือ, 2541.
- [13] Manfred Jasner, Meinhard Hecht, Wolfgang Beckmann, Heat Exchangers and Piping Systems from Copper Alloys - Commissioning, Operating and Shutdown, May 2009
- [14] Van Sant Enterprises, Inc. 80 Truman Road Pella, IA 50219 877-VAN-SANT.
- [15] ปราโมทย์ เดชะอิ่ม, ไฟไนต์เอลิเมนต์ในงานวิศวกรรม. พิมพ์ครั้งที่ 4. : สำนักพิมพ์แห่งจุฬาลงกรณ์มหาวิทยาลัย, 2550. หน้า 3-18.
- [16] R. W. Clough, The Finite Element Method. Pittsburgh, PA, September 1960, pp. 8-9.
- [17] Tai Hun Kwon, INTRODUCTION TO FINITE ELEMENT METHOD, Department of Mechanical Engineering Pohang University of Science and Technology, pp. 2.
- [18] Daryl L. Logan, FINITE ELEMENT METHOD Fourth Edition, University of Wisconsin-Platteville.
- [19] MSC.Software Corporation, “INTRODUCTION TO MSC. MARC AND MENTAT,” 815 Colorado Boulevard Innsbrucker Ring 15 Los Angeles, 2007.
- [20] T. H. Kwon, FEM MODELLING INTRODUCTION, 2005.
- [21] MSC.Software Corporation, “MSC. MARC USER GUIDE VERSION 2008 R1 VOLUME B.” 815 Colorado Boulevard Innsbrucker Ring 15 Los Angeles, March 2008.

- [22] MSC.Software, “**MSC. MARC. MENTAT.**” 815 Colorado Boulevard Innsbrucker Ring 15 Los Angeles, 2003.
- [23] D.A. Anderson, J.C. Tannehill, and R.H. Pletcher, “**COMPUTATIONAL FLUID MECHANICS AND HEAT TRANSFER,**” Hemisphere, Washington, DC, 1984.
- [24] GK Lal SK Chhoudhury, “**FUNDAMENTALS OF MANUFACTURING PROCESSES,**” Alpha Science Internationnal Ltd. Harrow, U.K., 2005.
- [25] วิทยา สงวนวรรณ และทีมงานวิชาการ, “**NX CAE THE FINITE ELEMENT (FEA) ANALYSIS,**” : สำนักพิมพ์ เออนจิเนียร์ แอนด์ อคิดิเค พลัส 315/22-23 ถ.สุขุมวิท 6 ต.บาง พလ์ใหญ่ อ.บางพลี จ.สมุทรปราการ 10540
- [26] รศ.ดร.เดช พุทธเจริญทอง, “**ทฤษฎีพลาสติกซึ่งและการเปลี่ยนรูปภาว,**” ภาควิชา วิศวกรรมเครื่องกล คณะวิศวกรรมศาสตร์ มหาวิทยาลัยเทคโนโลยีพระจอมเกล้าธนบุรี, :ศูนย์ สืบฯเสริมกรุงเทพ 431/5 ถ.ประชาราษฎร์บำเพ็ญ เขตห้วยขวาง กรุงเทพมหานคร 10320
- [27] Frank J. Vecchio, Professor, **Nonlinear Finite Element Analysis of Reinforced Concrete Membranes**, Department of Civil Engieering, University of Toronto , Ontario Canada.
- [28] Kurt Lage, Professor, “**HANDBOOK OF METAL FORMING,**” University of Stuttgart.
- [29] Bill Smith and Mark King, Bending Square and Retangular Tubing, May 16, 2002.
- [30] J D Square Inc. 2244 Eddie Williams Rd. Johnson City, Opyright 2009.
- [31] K. Longe , **Handbook of Metal Forming**, Society of manufacturing Engineering , 1985.
- [32] V.A.Zharkov, **Theory and Practice of Deep Drawing**, Mechanical Engineering Publication Limited,London,1995.
- [33] ทวีภัทร์ บูรณอิติ. 2550. “การออกแบบการขึ้นรูปชิ้นส่วนของเย็บเครื่องยนต์โดยการวิเคราะห์ การฉีกขาดและรอยย่น.” วารสารวิชาการพระจอมเกล้าพระนครเหนือ.

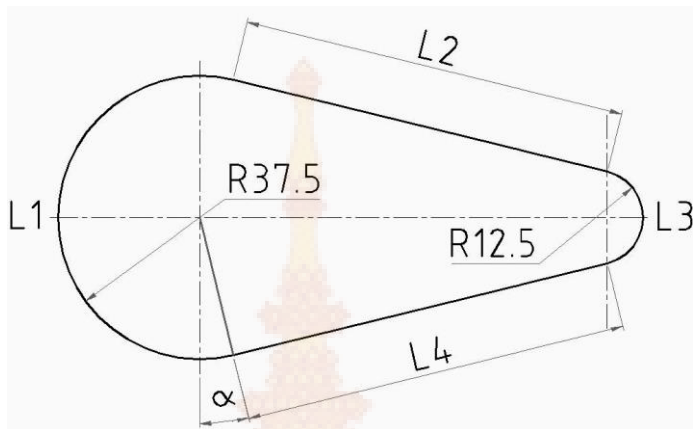


ภาคผนวก ๑

การคำนวณแรงขึ้นรูป แรงกดชิ้นงานและขนาดของแผ่นชิ้นงาน

ก.1 การคำนวณแรงขึ้นรูปเล็ก

แรงในการขึ้นรูปสามารถหาได้จากสมการที่ 2.3 มีการคำนวณโดยการประมาณค่าดังแสดงไว้ดังนี้ [9]



ภาพที่ ก.1 เส้นรอบรูปชิ้นงานหากความยาว L_t (L Total) [1]

เมื่อ L_2 กับ L_4 เป็นเส้นตรงที่มีขนาดเท่ากันและ L_1 กับ L_3 เป็นเส้นโค้ง $R_1 = 37.5$ มม. $R_2 = 12.5$ มม. ตามลำดับเพื่อหาค่ามุม α

$$\sin \alpha = \frac{R_1 + R_2}{105}$$

แทนค่าในสมการ

$$\sin \alpha = \frac{37.5 + 12.5}{105} = \frac{25}{105}$$

$$\alpha = \sin^{-1} \frac{25}{105} = 13.77 \text{ องศา}$$

$$\begin{aligned} L_2 &= L_4 = 105 \cos \alpha \\ &= 105 \cos 13.77 \end{aligned}$$

$$L_2 = L_4 = 102 \text{ mm}$$

หากค่า L_1 และ L_3 ที่สัมผัสส่วนโค้งของ R_1 และ R_2

$$L_1 = \frac{\pi(180 + 2\alpha)R_1}{180}$$

$$L_1 = \frac{\pi(180 + 2 \times 13.77) \times 37.5}{180}$$

$$L_1 = 135.8 \text{ mm}$$

$$L1 = \frac{\pi(180 + 2\alpha)R2}{180}$$

$$L3 = \frac{\pi(180 + 2 \times 13.77) \times 12.5}{180}$$

$$L3 = 33.3 \text{ mm}$$

$$Lt = L1 + L2 + L3 + L4$$

$$Lt = 135.8 + 102 + 102 + 33.3$$

$$Lt = 373.1 \text{ mm}$$

แทนค่าในสมการที่ 2.00

$$Fd = \frac{241 + 321}{2} \times 373.1 \times 1.0$$

$$Fd = \frac{104841}{1000} \text{ N หรือ} = 104.84 \text{ kN}$$

ก.2 แรงกดยึดแผ่นชิ้นงาน

แรงกดยึดแผ่นชิ้นงานสามารถหาได้จากการที่ 2.4 และ 2.5 ดังนี้ [9]

$$\text{หากว่า } h = \sqrt{105^2 - (37.5 - 12.5)^2} = 101.98 \text{ mm.}$$

$$Ao = \frac{207.54}{360} \pi(75)^2 + \frac{152.46}{360} \pi(38)^2 + \frac{87+48}{2} 101.98 + \frac{81+46}{2} 101.98$$

$$Ao = 25468.17 \text{ mm}^2$$

$$Ast = \frac{207.54}{360} \pi(37.5)^2 + \frac{154.46}{360} \pi(12.5)^2 + 2 \left[\frac{37.5 + 12.5}{2} 101.98 \right]$$

$$Ast = 7853.78 \text{ mm}^2$$

คำนวณค่า k, m ของวัสดุ SPCD

$$k = \frac{1 + (r_{\max} - r_{\min})}{r_m n_m} 0.49 \times 10^{-3}$$

$$m = 1 + \left[\frac{d_{fo}}{t_o} - 175 \right] \frac{0.17}{100}$$

ค่าคุณสมบัติของวัสดุ SPCD ทดสอบตามมาตรฐาน ASTM E517-92 [38]

$$r_m = \frac{(r_0 + 2r45 + r90)}{4}$$

$$r_m = \frac{(0.89 + 2(0.699) + 1.102)}{4}$$

$$r_m = 0.848$$

$$r_{\max} = 1.102$$

$$r_{\min} = 0.699$$

$$n_m = \frac{(n_0 + 2n45 + n90)}{4}$$

$$n_m = 0.184$$

หากค่า n ตามมุมใดๆ จากสมการที่ 2.15

จากสมการเส้นตรงของข้อมูลคู่ระหว่างแรงกับความเครียด F, ε

$$k = \left[\frac{1 + (1.102 - 0.699)}{0.848 \times 0.180} \right] 0.49 \times 10^{-3}$$

$$k = 4.5038 \times 10^{-3}$$

d_{fo} , (The fictitious equivalent punch diameter)

$$d_{fo} = \sqrt{\frac{4A_{st}}{\pi}} = \sqrt{\frac{4(7854)}{\pi}} = 100 \text{ mm}$$

ค่าตัวแปรของวัสดุ m

$$m = 1 + \left[\frac{100}{1} - 175 \right] \frac{0.17}{100}$$

$$m = 0.87$$

แรงกดที่ F_{NA} แผ่นกดชิ้นงาน (BHF)

$$P_{NA} = (4.5038 \times 10^{-3})(0.87) \times \left(\frac{25468}{7854} - 1 \right) \times 321$$

$$P_{NA} = 2.8208 \text{ N/mm}^2$$

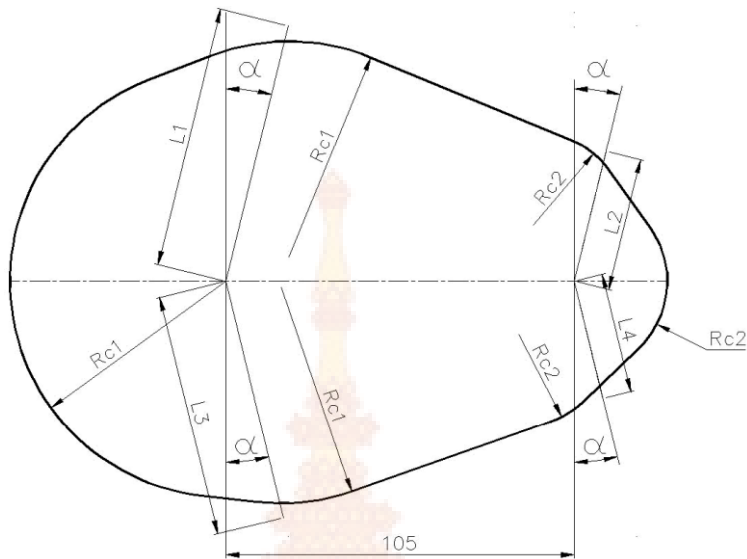
\therefore BHF จาก

$$F_{NA} = P_{NA}(Ao - Ast)$$

$$F_{NA} = 2.8208(25468 - 7854)$$

$$F_{NA} = 49685.57 \text{ N หรือ } \cong 49.6 \text{ kN}$$

ก.2 ขนาดของแผ่นชิ้นงาน



ภาพที่ ก.2 การคำนวณแผ่นตัดเปล่า [1]

หากำร รัศมี $Rc1$ จากสมการ
เมื่อกำหนดให้

$$D1 = \sqrt{d^2 + (d+2a)^2 + 4d(h - 0.43r)}$$

$$d = 75 \text{ mm}$$

$$h = 15 \text{ mm}$$

$$a = 5 \text{ mm}$$

$$r = 4 \text{ mm}$$

แทนค่า

$$D1 = \sqrt{75^2 + (75+2(5))^2 + 4(75)(15 - 0.43(4))} \\ = 129.75 \text{ mm}$$

$$Rc1 = \frac{D1}{2} = \frac{129.75}{2} = 64.88 \approx 65 \text{ mm}$$

หากำร รัศมี $Rc2$

$$D2 = \sqrt{25^2 + (25+2(5))^2 + 4(25)(15 - 0.43(4))} \\ = 56.37 \text{ mm}$$

เมื่อกำหนดให้

$$d = 25 \text{ mm}$$

$$h = 15 \text{ mm}$$

$$a = 5 \text{ mm}$$

$$r = 4 \text{ mm}$$

$$Rc2 = \frac{D2}{2} = \frac{56.37}{2} = 28.19 \approx 28 \text{ mm}$$

หาค่าความยาว $L1$ และ $L2$

$$L1 = \frac{\pi}{2} R1 + (h - r) + \frac{\pi}{2} r + (a - r)$$

เมื่อกำหนดให้

$$R1 = 37.5 \text{ mm}$$

$$h = 15 \text{ mm}$$

$$a = 5 \text{ mm}$$

$$r = 4 \text{ mm}$$

แทนค่าตัวแปรในสมการเพื่อหาค่า $L1$

$$L1 = \frac{\pi}{2}(37.5) + (15 - 4) + \frac{\pi}{2}(4) + (5 - 4)$$

$$L1 = 77.16 \cong 77 \text{ mm}$$

$$L2 = \frac{\pi}{2} R2 + (h - r) + \frac{\pi}{2} r + (a - r)$$

เมื่อกำหนดให้

$$R1 = 12.5 \text{ mm}$$

$$h = 15 \text{ mm}$$

$$a = 5 \text{ mm}$$

$$r = 4 \text{ mm}$$

$$L2 = \frac{\pi}{2}(12.5) + (15 - 4) + \frac{\pi}{2}(4) + (5 - 4)$$

$$L2 = 37.91 \cong 38 \text{ mm}$$

หาค่าความยาว $L3$ และ $L4$

$$L3 = 2R1 \sin 45 + (h - r) + \frac{\pi}{2} r + (a - r)$$

เมื่อกำหนดให้

$$R1 = 37.5 \text{ mm}$$

$$h = 15 \text{ mm}$$

$$a = 5 \text{ mm}$$

$$r = 4 \text{ mm}$$

แทนค่าในสมการหาค่า

$$L3$$

$$L3 = 2(37.5) \sin 45 + (15 - 4) + \frac{\pi}{2}(4) + (5 - 4)$$

$$L3 = 71.31 \cong 71 \text{ mm}$$

$$L4 = 2R2 \sin 45 + (h - r) + \frac{\pi}{2} r + (a - r)$$

เมื่อกำหนดให้

$$R1 = 12.5 \text{ mm}$$

$$h = 15 \text{ mm}$$

$$a = 5 \text{ mm}$$

$$r = 4 \text{ mm}$$

แทนค่าในสมการหาค่า

$L4$

$$L4 = 2(12.5)\sin 45 + (15 - 4) + \frac{\pi}{2}(4) + (5 - 4)$$

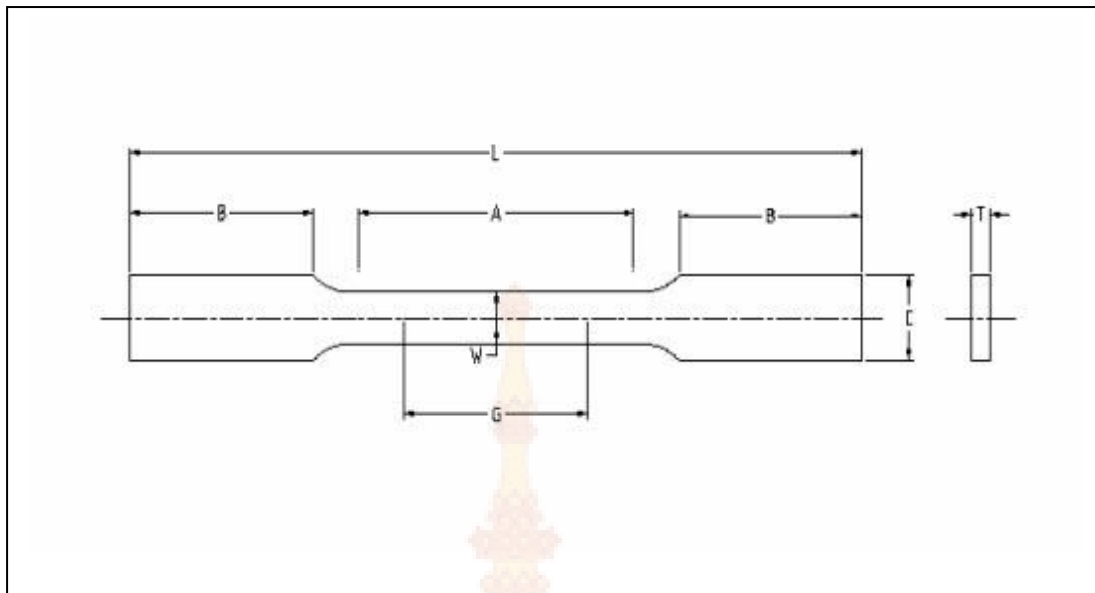
$$L4 = 35.95 \approx 36 \text{ mm}$$





ภาคผนวก ๖

คุณสมบัติทางกลของเหล็ก



ภาพที่ ข.1 ชิ้นทดสอบการดึง (Plain-End Specimen)

ชิ้นทดสอบการดึงเพื่อหาค่าเลขซึ่งกำลังการทำให้แตกด้วยความเครียด (σ) ของวัสดุโลหะ แผ่นตามมาตรฐาน ASTM E 646-91 ดังภาพที่ ข.1

ตารางที่ ข.1 ขนาดของชิ้นทดสอบการดึง

รายละเอียด	ขนาด	
	นิว	มิลลิเมตร
G ความยาวเกจ	2.000 ± 0.005	50.00 ± 0.01
W ความกว้าง	0.500 ± 0.010	12.5 ± 0.25
T ความหนา	ความหนาของชิ้นทดสอบ	
R รัศมีของส่วนโค้ง, น้อยที่สุด	1/2	13
L ความยาวรวม, น้อยที่สุด	8	200
A ความยาวของการลดพื้นที่หน้าตัด, น้อยที่สุด	$2\frac{1}{4}$	60
B ความยาวของส่วนที่ใช้จับยืด, น้อยที่สุด	2	50
C ความกว้างของส่วนที่ใช้จับยืด	3/4	20

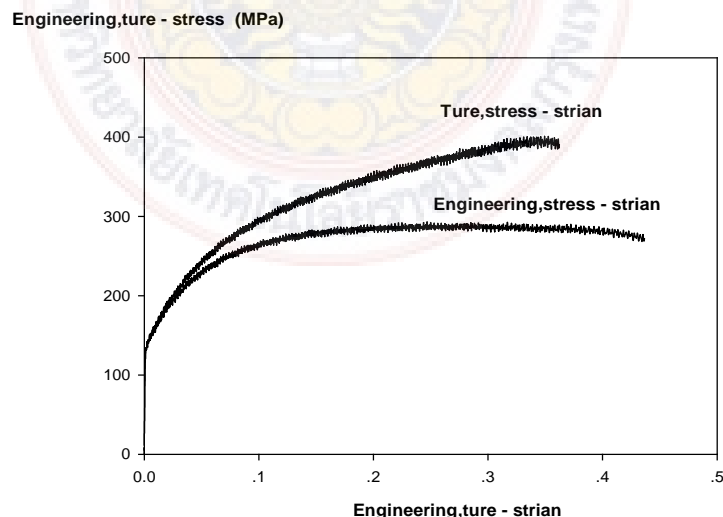
ข.1 ทดสอบหาสมบัติทางกลของเหล็ก SPCD หนา 1 มิลลิเมตร

- 1) นำค่าจากการทดสอบการดึง (Tensile test) มาลงจุดสร้างแผนภาพความคันจริง (True stress) ความเครียดจริง (True strain)

Title	Thickness	Width	GaugeLength		
T1	1	12.5	50		
===== Summary for Data Processing =====					
Title	Max_Force	Max_Stress	YP_Stress	Break_Stress	LYP_Stress (N/mm ²)
T1	3644.69	91.12	46.38	49.42	45.87
Mean	0	0	0	0	0
===== Raw Data =====					
T1					
Time	Force	Stress	Stroke	Strain	Extensometer
0	4.1	0.1	1	2	0
0	102.38	2.56	1	2	0
2	69.62	1.74	1	2	0
2	147.43	3.69	1	2	0
3	479.13	11.98	1	2	0.01
3	888.65	22.22	1	2	0.02

ภาพที่ ข.1 การบันทึกข้อมูลจากการทดสอบการดึง (Tensile test)

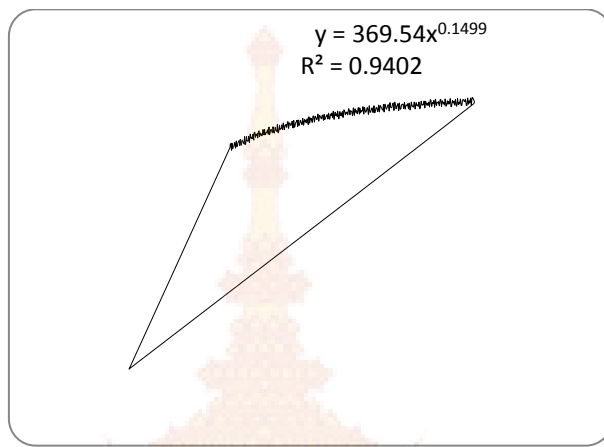
การบันทึกข้อมูลในช่วงความยืด (gage length) 50 mm. เครื่องบันทึกข้อมูลจะสามารถบันทึกได้ประมาณ 30,500 ค่า และคำนวณโดยโปรแกรมสำเร็จรูปไมโครซอฟฟ์เวิร์กเซล (Microsoft excel) จะได้ค่าความเค้นความเครียดวิศวกรรม



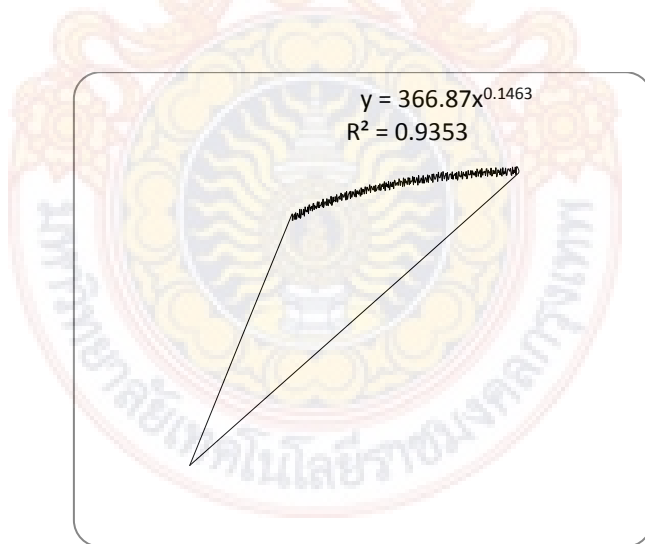
ภาพที่ ข.2 แผนภาพความเค้น-ความเครียดวิศวกรรมและ ความเค้น-ความเครียดจริงของเหล็ก

SPCD หนา 1 มิลลิเมตร

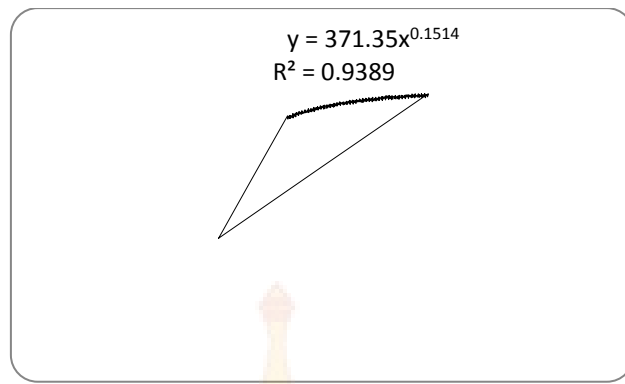
2) จากการลงจุดสร้างแผนภาพ ความเค้นจริง ความเครียดจริง หาค่า K, n จากพหุติกรรمهช่วงพลาสติกชีต (Plasticity) โดยใช้สมการตามแบบ กำลัง (Power function) จำนวนห้าชิ้นทดสอบ



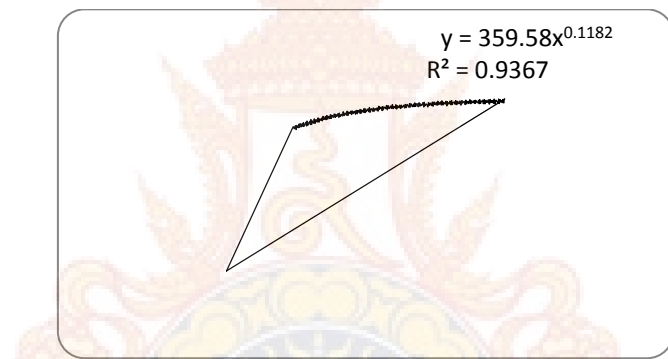
ภาพที่ ข.3 ชิ้นทดสอบชิ้นทดสอบที่ 1 แทนค่า K, n ตามแบบสมการ $\sigma = K\varepsilon^n$ ได้ค่า $K = 369.54$ และ ค่า $n = 0.1499$



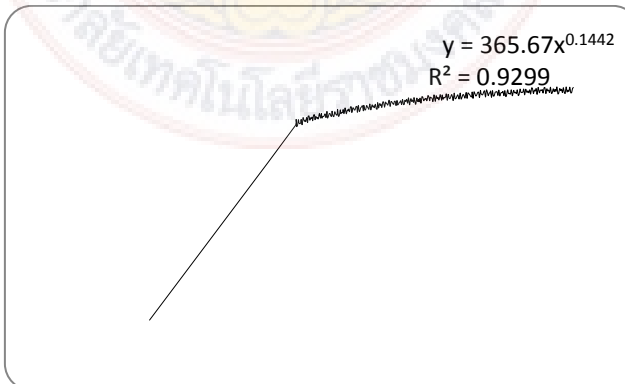
ภาพที่ ข.4 ชิ้นทดสอบชิ้นทดสอบที่ 2 แทนค่า K, n ตามแบบสมการ $\sigma = K\varepsilon^n$ ได้ค่า $K = 366.87$ และ ค่า $n = 0.1463$



ภาพที่ ข.5 ขั้นทดสอบขั้นทดสอบที่ 3 แทนค่า K, n ตามแบบสมการ $\sigma = K\varepsilon^n$ ได้ค่า $K = 371.35$ และ ค่า $n = 0.1514$



ภาพที่ ข.6 ขั้นทดสอบขั้นทดสอบที่ 4 แทนค่า K, n ตามแบบสมการ $\sigma = K\varepsilon^n$ ได้ค่า $K = 359.58$ และ ค่า $n = 0.1182$



ภาพที่ ข.7 ชี้นทดสอบชี้นทดสอบที่ 5 แทนค่า K, n ตามแบบสมการ $\sigma = K\varepsilon^n$ ได้ค่า

$$K = 365.67 \text{ และ } n = 0.1442$$

คำนวณหาค่าเฉลี่ย K รวม $(369.54+366.87+371.35+359.58+365.67)/5 = 366.6$

คำนวณหาค่าเฉลี่ย n รวม $(0.149+0.146+0.151+0.118+0.144) / 5 = 0.141$

3) หากาแอนໄโอโซทรอปิกของเหล็ก SPCD ตามแนวทิศทางการรีด (Rolling Direction)

หนา 1 มิลิเมตร ที่ 20 เปอร์เซ็นต์ของความเครียด จากสมการที่ 2.11

$$r_0 = \frac{\ln(8.16/12.5)}{\ln(0.72/1)} = \frac{\ln(0.652)}{\ln(0.72)} = 1.13$$

$$r_{45} = \frac{\ln(8.44/12.5)}{\ln(0.75/1)} = \frac{\ln(0.675)}{\ln(0.75)} = 1.365$$

$$r_{90} = \frac{\ln(7.25/12.5)}{\ln(0.69/1)} = \frac{\ln(0.98)}{\ln(0.65)} = 1.468$$

ตารางที่ ข.1 คุณสมบัติของเหล็ก SPCD

ชนิดของวัสดุ	เลขที่กำลังการ ทำให้แข็งด้วย ความเครียด(n)	สัมประสิทธิ์ ความต้านแรง (K)	อัตราส่วนความเครียดพลาสติก (r)			
			R_0	R_{45}	R_{90}	\bar{R}
SPCD	0.14	366	1.13	1.365	1.468	1.378



ค.1 ตารางบันทึกแรงที่ใช้ในการขึ้นรูป

ตารางที่ ค.1 ตารางบันทึกผลของการลากขึ้นรูปที่ แรงกดชิ้นงาน 30 ,50,70 เปอร์เซ็นต์ เหล็ก SPCD เพรียบเทียบกับการจำลองด้วยไฟไนต์เอลิเม้นต์

วัสดุ/แรงกดชิ้นงาน	แรงที่ใช้ในการลากขึ้นรูปของรูปทรงดรอปบีด (KN)					
	ครึ่งวงกลม		สามเหลี่ยม		สี่เหลี่ยมด้านไม่เท่า	
	EXP	FEM	EXP	FEM	EXP	FEM
1.เหล็ก SPCD แรงกด 30 %	106	101	109	103	132	133
2.เหล็ก SPCD แรงกด 50 %	133	115	138	109	150	142
3.เหล็ก SPCD แรงกด 70 %	145	138	168	145	183	166

ค.2 ความเครียดในแนวความหนาของชิ้นงานในแต่ละจุดตรวจวัด

ตารางที่ ค.2 ตารางวิเคราะห์ความเครียดเทียบเท่าความหนา (Equivalent strain) ของเหล็ก SPCD ที่ แรงกดชิ้นงาน (Blank Holder Force) 30 เปอร์เซ็นต์

จุดตรวจวัด ความหนา	ครึ่งวงกลม		สามเหลี่ยม		สี่เหลี่ยมด้านไม่เท่า	
	ความเครียดแนวความ หนา $\varepsilon_t = \ln(t/t_o)$		ความเครียดแนวความ หนา $\varepsilon_t = \ln(t/t_o)$		ความเครียดแนวความ หนา $\varepsilon_t = \ln(t/t_o)$	
	EXP	FEM	EXP	FEM	EXP	FEM
A1	0.20	0.18	0.15	0.16	0.22	0.21
A2	0.17	0.17	0.19	0.18	0.22	0.23
A3	0.21	0.20	0.20	0.19	0.22	0.21
A4	0.20	0.19	0.20	0.19	0.25	0.23
A5	0.20	0.20	0.15	0.15	0.22	0.21
A6	0.22	0.21	0.15	0.15	0.25	0.23
A7	0.25	0.24	0.20	0.19	0.26	0.26
A8	0.25	0.24	0.20	0.19	0.27	0.26
A9	0.22	0.23	0.13	0.13	0.25	0.24
A10	0.22	0.21	0.13	0.12	0.25	0.24

$$\varepsilon_t \text{ คือ ความเครียดแนวความหนา } \varepsilon_t = \ln(t/t_o)$$

ตารางที่ ค.3 ตารางวิเคราะห์ความเครียดเทียบเท่าความหนา (Equivalent strain) ของเหล็ก SPCD ที่แรงกดขึ้นงาน (Blank Holder Force) 50 เปอร์เซ็นต์

จุดตรวจวัด ความหนา	ครึ่งวงกลม		สามเหลี่ยม		สี่เหลี่ยมด้านไม่เท่า	
	ความเครียดแนวความ หนา $\varepsilon_t = \ln(t/t_o)$		ความเครียดแนวความ หนา $\varepsilon_t = \ln(t/t_o)$		ความเครียดแนวความ หนา $\varepsilon_t = \ln(t/t_o)$	
	EXP	FEM	EXP	FEM	EXP	FEM
A1	0.20	0.21	0.27	0.26	0.25	0.23
A2	0.22	0.23	0.25	0.24	0.27	0.27
A3	0.25	0.24	0.25	0.23	0.25	0.26
A4	0.25	0.23	0.25	0.23	0.27	0.28
A5	0.23	0.22	0.22	0.21	0.33	0.32
A6	0.25	0.24	0.25	0.22	0.33	0.32
A7	0.27	0.27	0.33	0.32	0.35	0.34
A8	0.27	0.27	0.33	0.32	0.35	0.34
A9	0.25	0.25	0.30	0.29	0.35	0.33
A10	0.25	0.25	0.30	0.29	0.36	0.34

$$\varepsilon_t \text{ คือ ความเครียดแนวความหนา } \varepsilon_t = \ln(t/t_o)$$

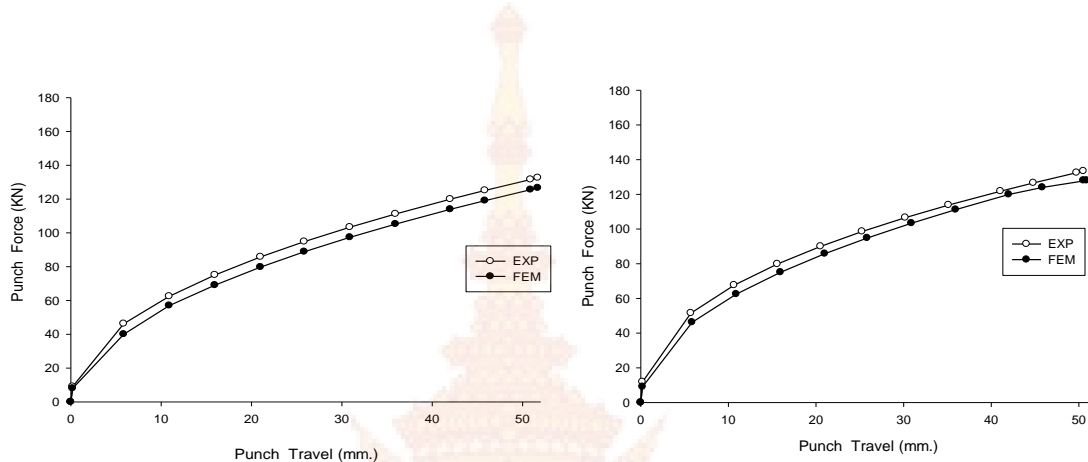
ตารางที่ ค.4 ตารางวิเคราะห์ความเครียดเทียบเท่าความหนา (Equivalent strain) ของเหล็ก SPCD
ที่ แรงกดขึ้นงาน (Blank Holder Force) 70 เปอร์เซ็นต์

จุดตรวจวัด ความหนา	ครึ่งวงกลม		สามเหลี่ยม		สี่เหลี่ยมด้านไม่เท่า	
	ความเครียดแนวความ หนา $\varepsilon_t = \ln(t/t_o)$		ความเครียดแนวความ หนา $\varepsilon_t = \ln(t/t_o)$		ความเครียดแนวความ หนา $\varepsilon_t = \ln(t/t_o)$	
	EXP	FEM	EXP	FEM	EXP	FEM
A1	0.25	0.25	0.35	0.33	0.33	0.31
A2	0.25	0.24	0.34	0.34	0.32	0.30
A3	0.30	0.29	0.36	0.34	0.31	0.32
A4	0.32	0.31	0.36	0.34	0.35	0.33
A5	0.29	0.28	0.33	0.34	0.42	0.40
A6	0.36	0.34	0.39	0.37	0.42	0.43
A7	0.39	0.37	0.44	0.42	0.50	0.49
A8	0.39	0.37	0.45	0.43	0.50	0.49
A9	0.39	0.38	0.45	0.43	0.48	0.46
A10	0.33	0.32	0.42	0.40	0.48	0.46

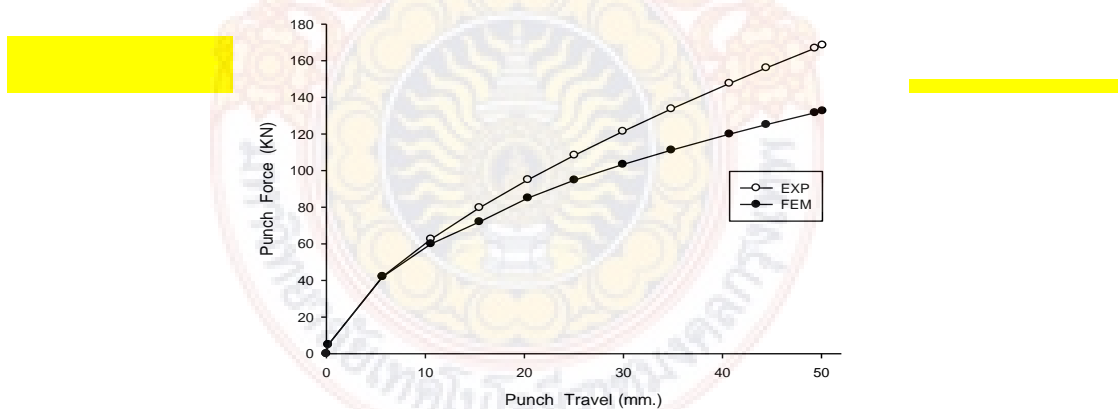
$$\varepsilon_t \text{ คือ ความเครียดแนวความหนา } \varepsilon_t = \ln(t/t_o)$$

ค3. เปรียบเทียบแรงในการขึ้นรูประหว่างการขึ้นรูปจริงกับการจำลองด้วยไฟไนต์เอลิเมนต์โดยมีเงื่อนไขดังต่อไปนี้

- 1) เปรียบเทียบแรงในการขึ้นรูปจริงกับการจำลองด้วยไฟไนต์เอลิเมนต์ของครอบเบบครึงวงกลม ของเหล็กเกรด SPCD ดังภาพที่ ค4 – ค6 ด้วยแรงกดชิ้นงาน 30 , 50 และ 70 เปอร์เซ็นต์

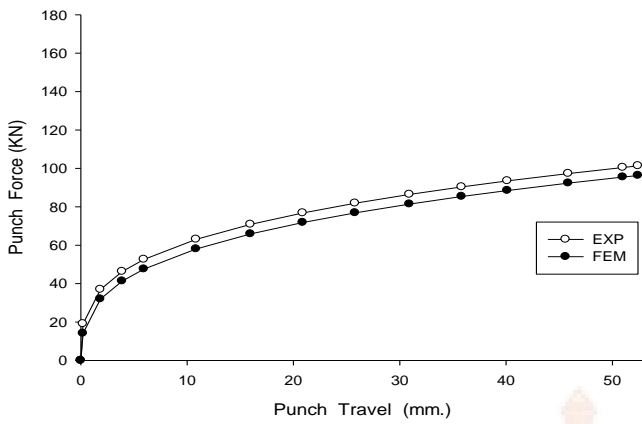


ภาพที่ ค1 Half-Round Drawbead, BHF 30 % ,SPC ภาพที่ ค2 Half-Round Drawbead, BHF 50 % ,SPCD

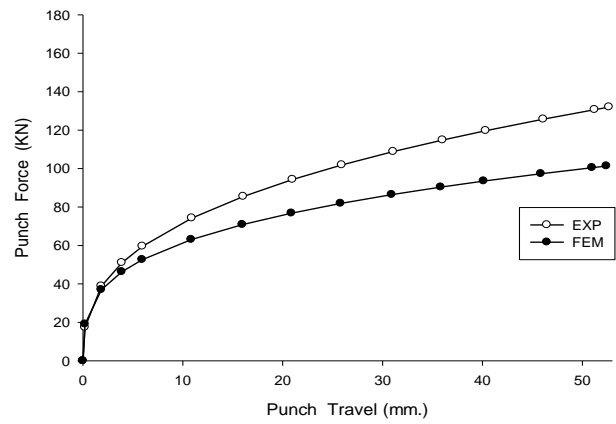


ภาพที่ ค3 Half-Round Drawbead, BHF 70 % ,SPCD

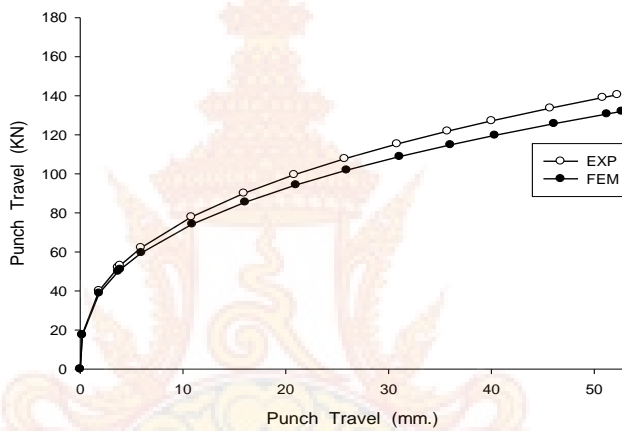
- 2) เปรียบเทียบแรงในการขึ้นรูประหว่างการขึ้นรูปจริงกับการจำลองด้วยไฟไนต์เอลิเมนต์ของครอบเบบหน้าตัดสามเหลี่ยม ของเหล็กเกรด SPCD ดังภาพที่ ค13 – ค15 ด้วยแรงกดชิ้นงาน 30 , 50 และ 70 เปอร์เซ็นต์



ภาพที่ ค4 V-Shaped Drawbead, BHF 30 % ,SPCD

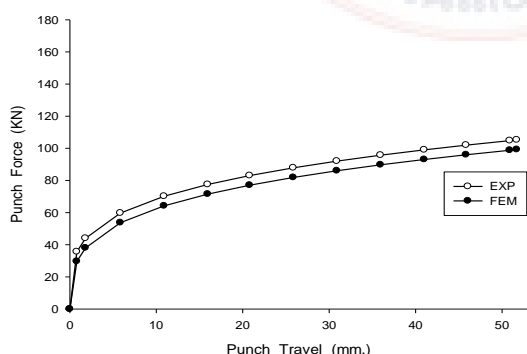


ภาพที่ ค5 V-Shaped Drawbead, BHF 50 % ,SPCD

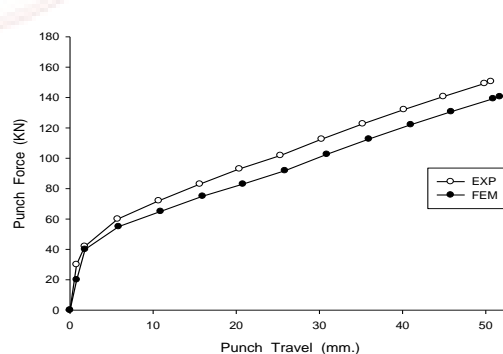


ภาพที่ ค6 V-Shaped Drawbead, BHF 70 % ,SPCD

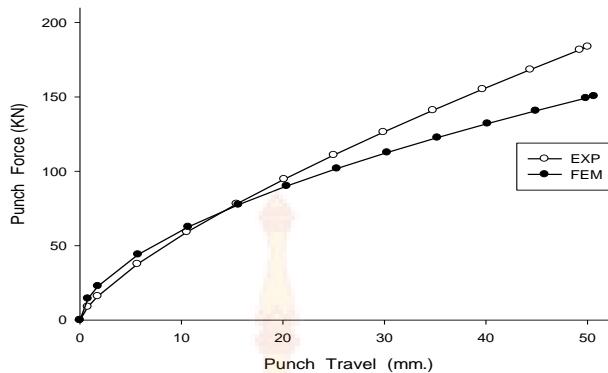
3) เปรียบเทียบแรงในการขึ้นรูปจริงกับการจำลองด้วยไฟล์เนตเวิล์ฟเอน์ตของดรอว์บีดแบบสี่เหลี่ยมด้านไม่เท่า ของเหล็กเกรด SPCD ดังภาพที่ ค22 – ค24 ด้วยแรงกดซิ้นจาน 30 , 50 และ 70 เปอร์เซ็นต์



ภาพที่ ค7 Trapenziform Drawbead, BHF 30 %
SPCD



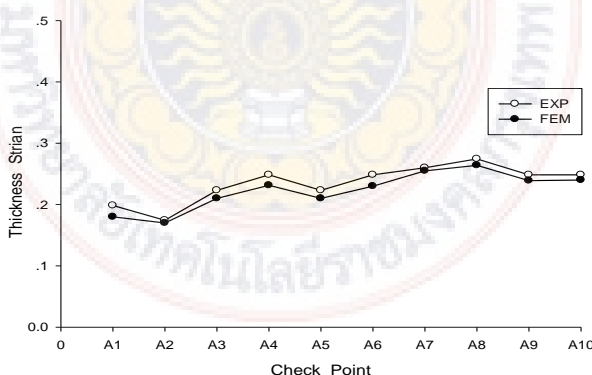
ภาพที่ ค8 Trapenziform Drawbead, BHF 50 %
SPCD



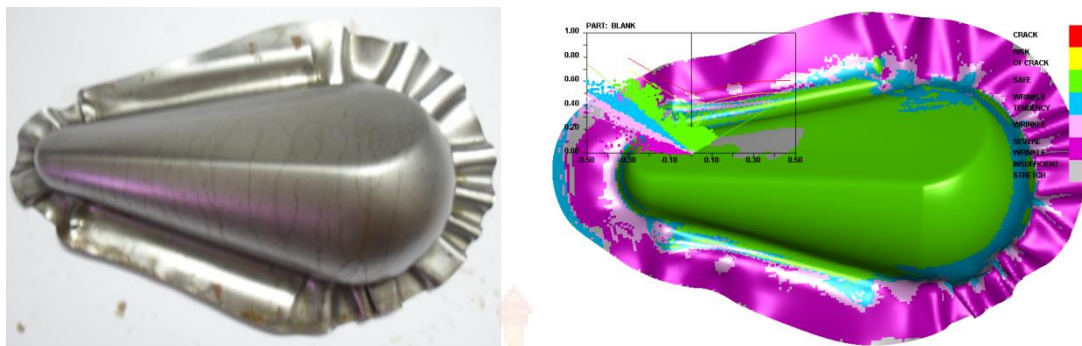
ภาพที่ ค9 Trapenziform Drawbead, BHF 70 % ,SPCD

ค.4 เปรียบเทียบการเปลี่ยนแปลงความเครียดและความหนา รูปร่างของชิ้นงานระหว่างการขึ้นรูปจริงกับการจำลองด้วยไฟโนต์เอลิเมนต์ โดยมีเงื่อนไขดังต่อไปนี้

1) เปรียบเทียบความเครียดและความหนา รูปร่างของชิ้นงาน ระหว่างวิธีไฟโนต์เอลิเมนต์และวิธีการทดลองจริงของดรอปดีบแบบครึ่งวงกลม ด้วยแรงกดชิ้นงาน 30 เปอร์เซ็นต์ ของเหล็ก SPCD ดังภาพที่ ค.34 – ค.35

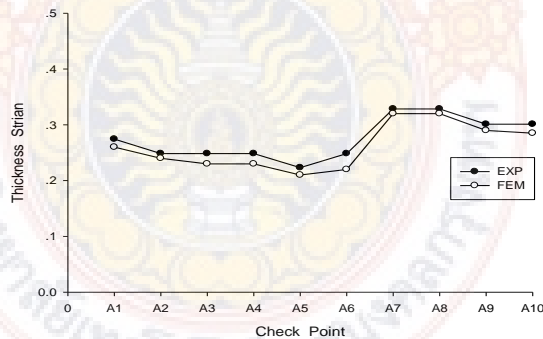


ภาพที่ ค.10 Thickness Strain , Half-Round Drawbead, BHF 30 %,SPCD

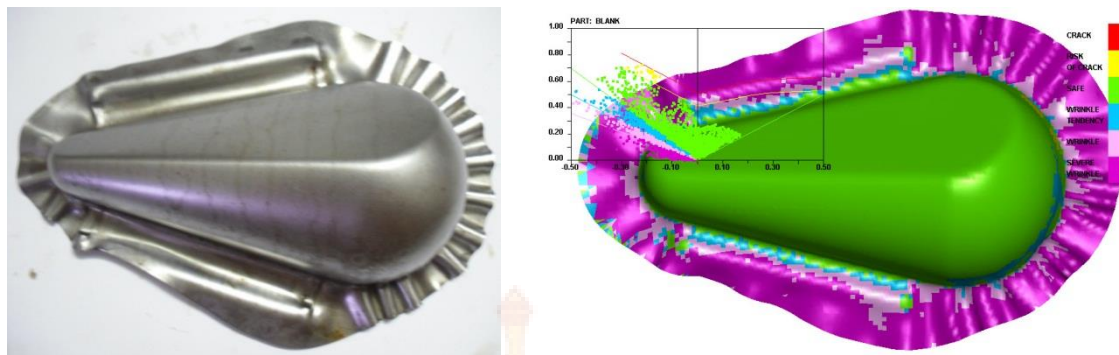


ภาพที่ ค.11 เปรียบเทียบชิ้นงานจริงกับ FEM , Half-Round Drawbead, BHF 30 % , SPCD

2) เปรียบเทียบความเครียดและความหนา รูปร่างของชิ้นงานระหว่างวิธีไฟแนนซ์เอลิเมนต์และวิธีการทดลองจริงของครอบเบ็ดแบบครึ่งวงกลม ด้วยแรงกดชิ้นงาน 50 เปอร์เซ็นต์ ของเหล็ก SPCD ดังภาพที่ ค.36 – ค.37

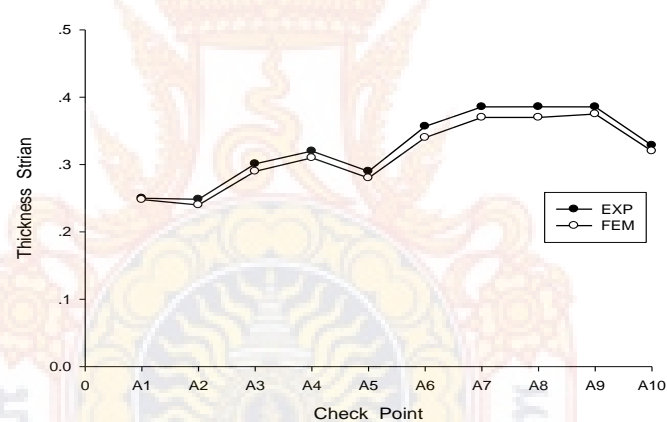


ภาพที่ ค.12 Thickness Strain , Half-Round Drawbead, BHF 50 %,SPCD

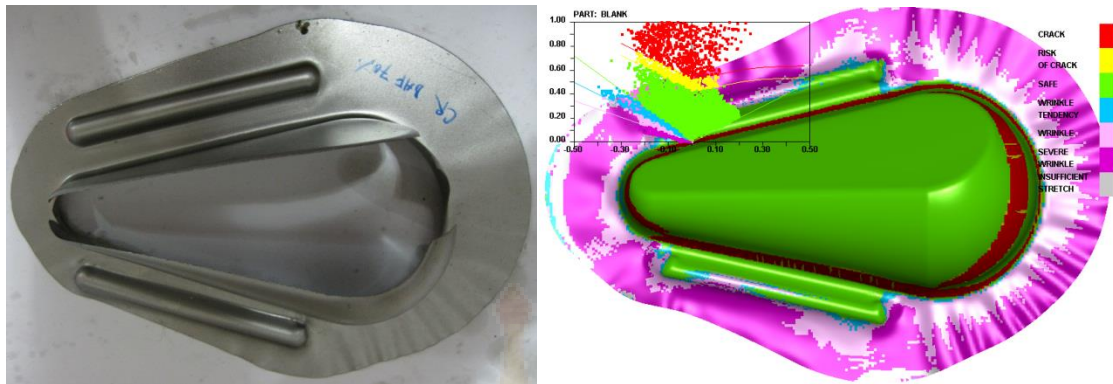


ภาพที่ ค.13 เปรียบเทียบชิ้นงานจริงกับ FEM , Half-Round Drawbead, BHF 50 % , SPCD

3) เปรียบเทียบความเครียดแนวความหนา รูปร่างของชิ้นงาน ระหว่างวิธีไฟโนต์เอลิเมนต์ และวิธีการทดลองจริงของดรอปบีดแบบครึ่งวงกลม ด้วยแรงกดชิ้นงาน 70 เปอร์เซ็นต์ ของเหล็ก SPCD ดังภาพที่ ค.38 – ค.39

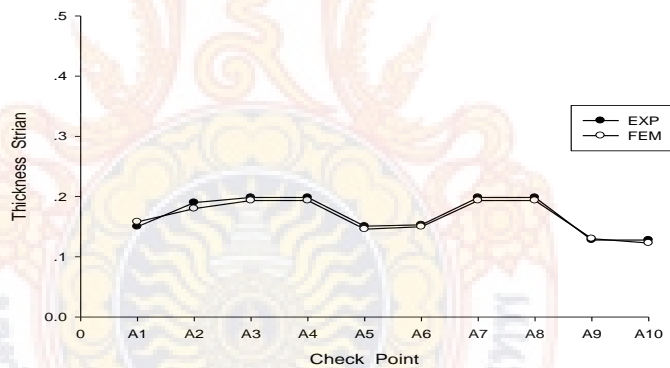


ภาพที่ ค.14 Thickness Strain , Half-Round Drawbead, BHF 70 %,SPCD

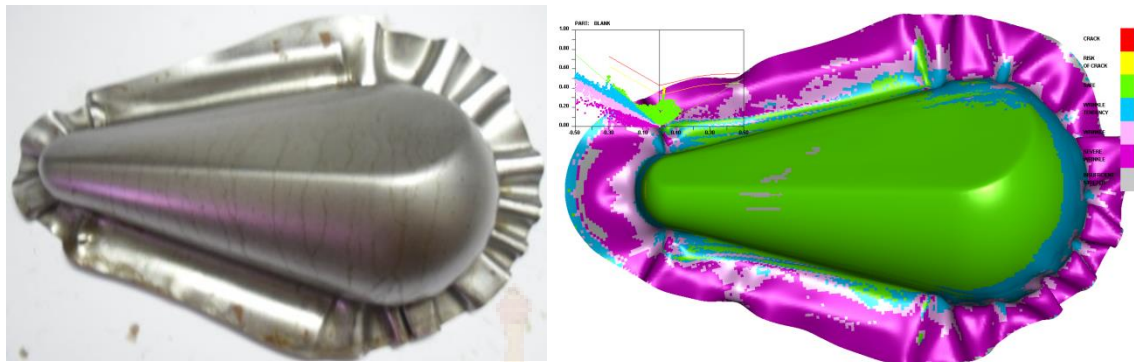


ภาพที่ ค.15 เปรียบเทียบชิ้นงานจริงกับ FEM , Half-Round Drawbead, BHF 70 % , SPCD

4) เปรียบเทียบความเครียดแนวความหนา รูปร่างของชิ้นงานระหว่างวิธีไฟไนต์เอลิเมนต์และวิธีการทดลองจริงของดรอปบีดแบบหน้าตัดสามเหลี่ยม ด้วยแรงกดชิ้นงาน 30 เปอร์เซ็นต์ ของเหล็ก SPCD ดังภาพที่ ค.52 – ค.53



ภาพที่ ค.16 Thickness Strain , V-Shaped Drawbead, BHF 30 % , SPCD



ภาพที่ ค.17 เปรียบเทียบชิ้นงานจริงกับ FEM , V-Shaped Drawbead , BHF 30 % , SPCD

5) เปรียบเทียบความเครียดแนวความหนา รูปร่างของชิ้นงาน ระหว่างวิธีไฟแนนซ์เอลิเม้นต์ และวิธีการทดลองจริงของครอบปีดแบบหน้าตัดสามเหลี่ยม ด้วยแรงกดชิ้นงาน 50 เปอร์เซ็นต์ ของเหล็ก SPCD ดังภาพที่ ค ๕๑ – ค ๕๕

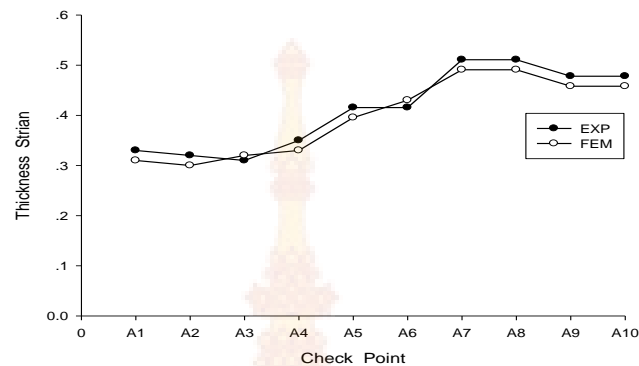


ภาพที่ ค.18 Thickness Strain , V-Shaped Drawbead, BHF 50 % , SPCD

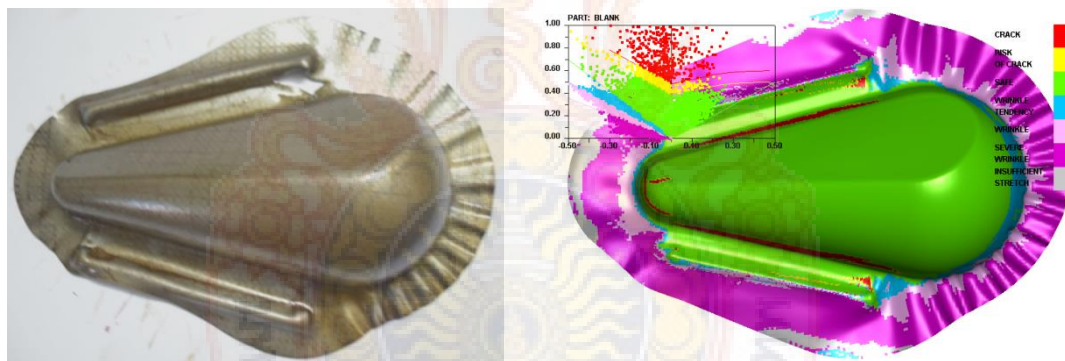


ภาพที่ ค.19 เปรียบเทียบชิ้นงานจริงกับ FEM , V-Shaped Drawbead, BHF 50 % , SPCD

6) เปรียบเทียบความเครียดแนวความหนา รูปร่างของชิ้นงาน ระหว่างวิธีไฟไนต์เอลิเมนต์ และวิธีการทดลองจริงของดรอปปิดแบบหน้าตัดสามเหลี่ยม ด้วยแรงกดชิ้นงาน 70 เปอร์เซ็นต์ ของเหล็ก SPCD ดังภาพที่ ค.56 – ค.57

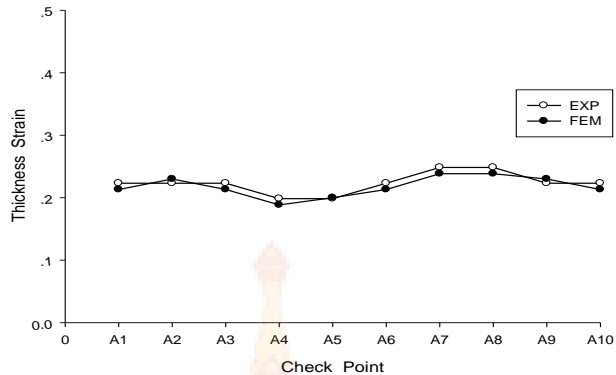


ภาพที่ ค.20 Thickness Strain , V-Shaped Drawbead, BHF 70 % , SPCD

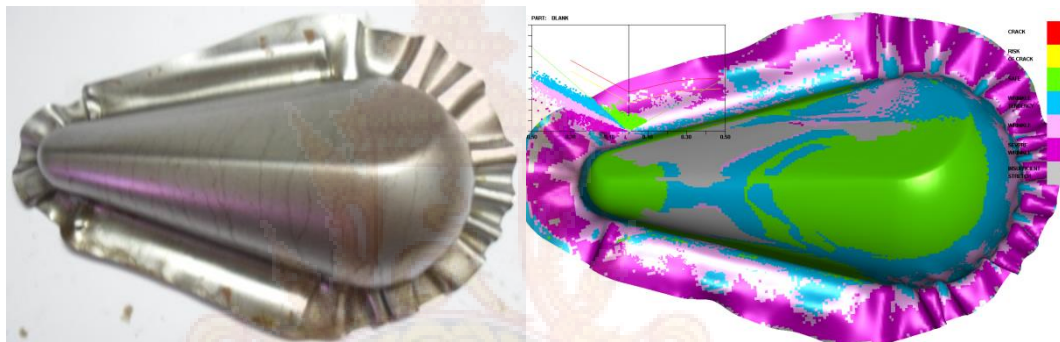


ภาพที่ ค.21 เปรียบเทียบชิ้นงานจริงกับ FEM , V-Shaped Drawbead, BHF 70 % , SPCD

7) เปรียบเทียบความเครียดแนวความหนา รูปร่างของชิ้นงาน ระหว่างวิธีไฟไนต์เอลิเมนต์ และวิธีการทดลองจริงของดรอปปิดแบบสี่เหลี่ยมด้านไม่เท่า ด้วยแรงกดชิ้นงาน 30 เปอร์เซ็นต์ ของเหล็ก SPCD ดังภาพที่ ค.70 – ค.71

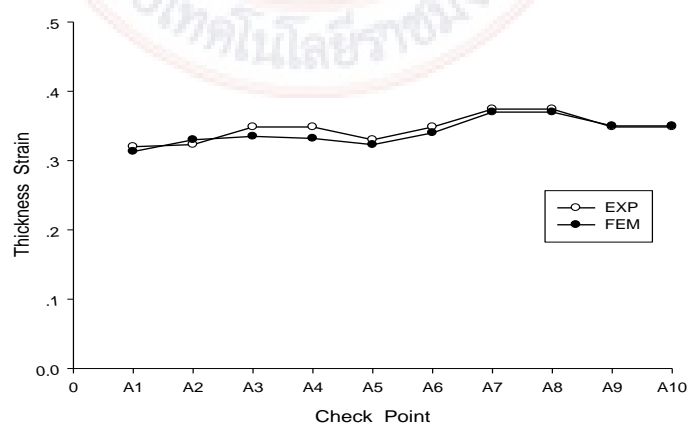


ภาพที่ ค.22 Thickness Strain , Trapenzifrom Drawbead, BHF 30 % , SPCD

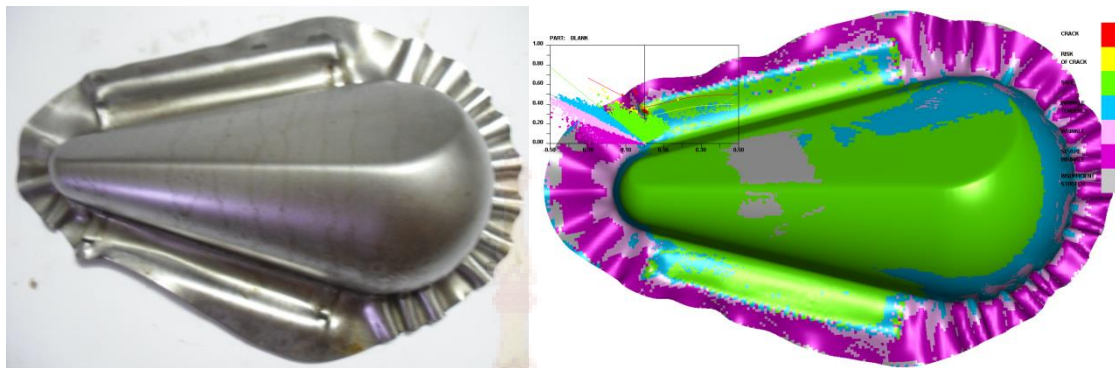


ภาพที่ ค.23 เปรียบเทียบขั้นงานจริงกับ FEM , Trapenzifrom Drawbead, BHF 30 % , SPCD

8) เปรียบเทียบความเครียดแนวความหนา รูปร่างของขั้นงาน ระหว่างวิธีไฟแนนซ์เอลิเมนต์ และวิธีการทดลองจริงของครอปิดแบบสี่เหลี่ยมด้านไม่เท่า ด้วยแรงกดขั้นงาน 50 เบอร์เซ็นต์ ของเหล็ก SPCD ดังภาพที่ ค.72 – ค.73

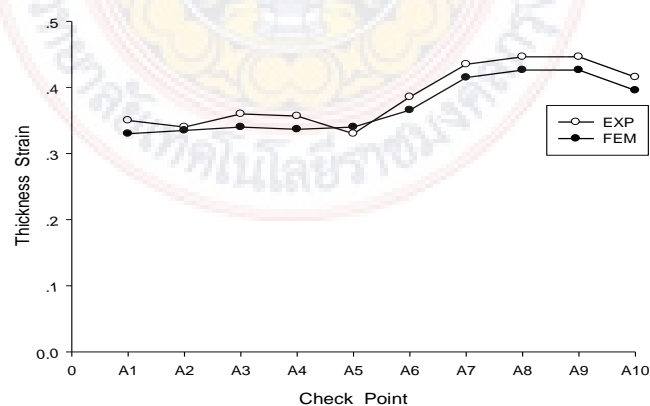


ภาพที่ ค.24 Thickness Strain , Trapenzifrom Drawbead, BHF 50 % , SPCD

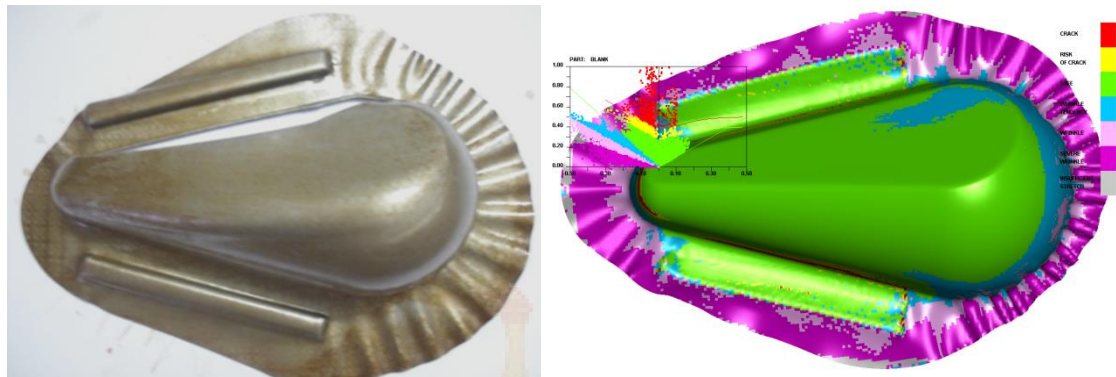


ภาพที่ ค.25 เปรียบเทียบชิ้นงานจริงกับ FEM , Trapenzifrom Drawbead, BHF 50 % , SPCD

9) เปรียบเทียบความเครียดแนวความหนา รูปร่างของชิ้นงาน ระหว่างวิธีไฟไนต์เอลิเมนต์ และวิธีการทดลองจริงของครอว์บีดแบบสี่เหลี่ยมด้านไม่เท่า ด้วยแรงกดชิ้นงาน 70 เปอร์เซ็นต์ ของเหล็ก SPCD ดังภาพที่ ค.74 – ค.75



ภาพที่ ค.26 Thickness Strain , Trapenzifrom Drawbead, BHF 70 % , SPCD



ภาพที่ ค.27 เปรียบเทียบชิ้นงานจริงกับ FEM , Trapezoid Drawbead, BHF 70 % , SPCD

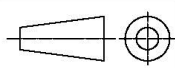


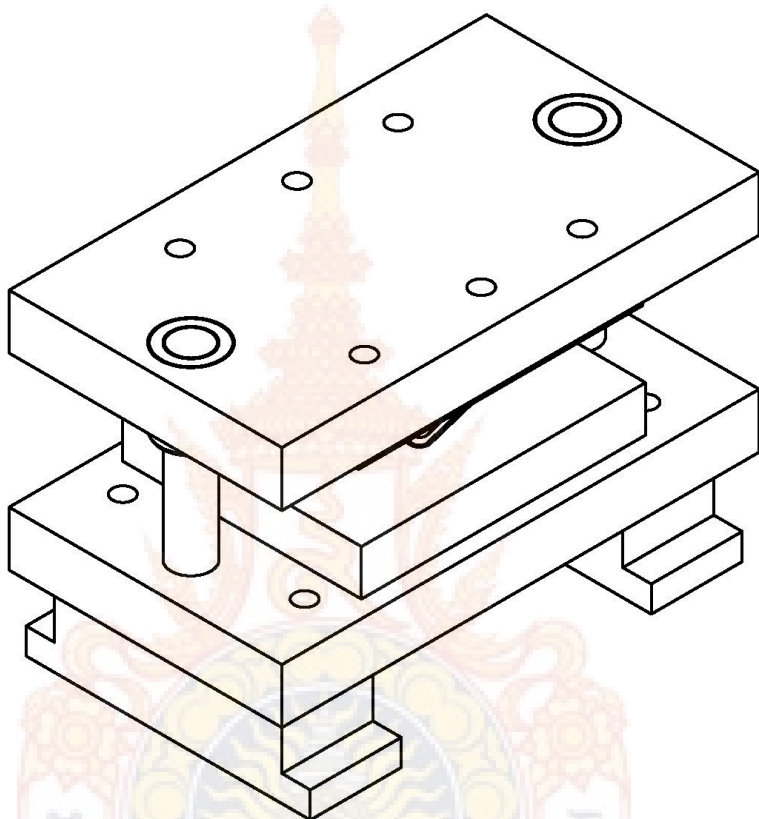
ภาคผนวก ง

แบบชี้ส่วนแม่พิมพ์

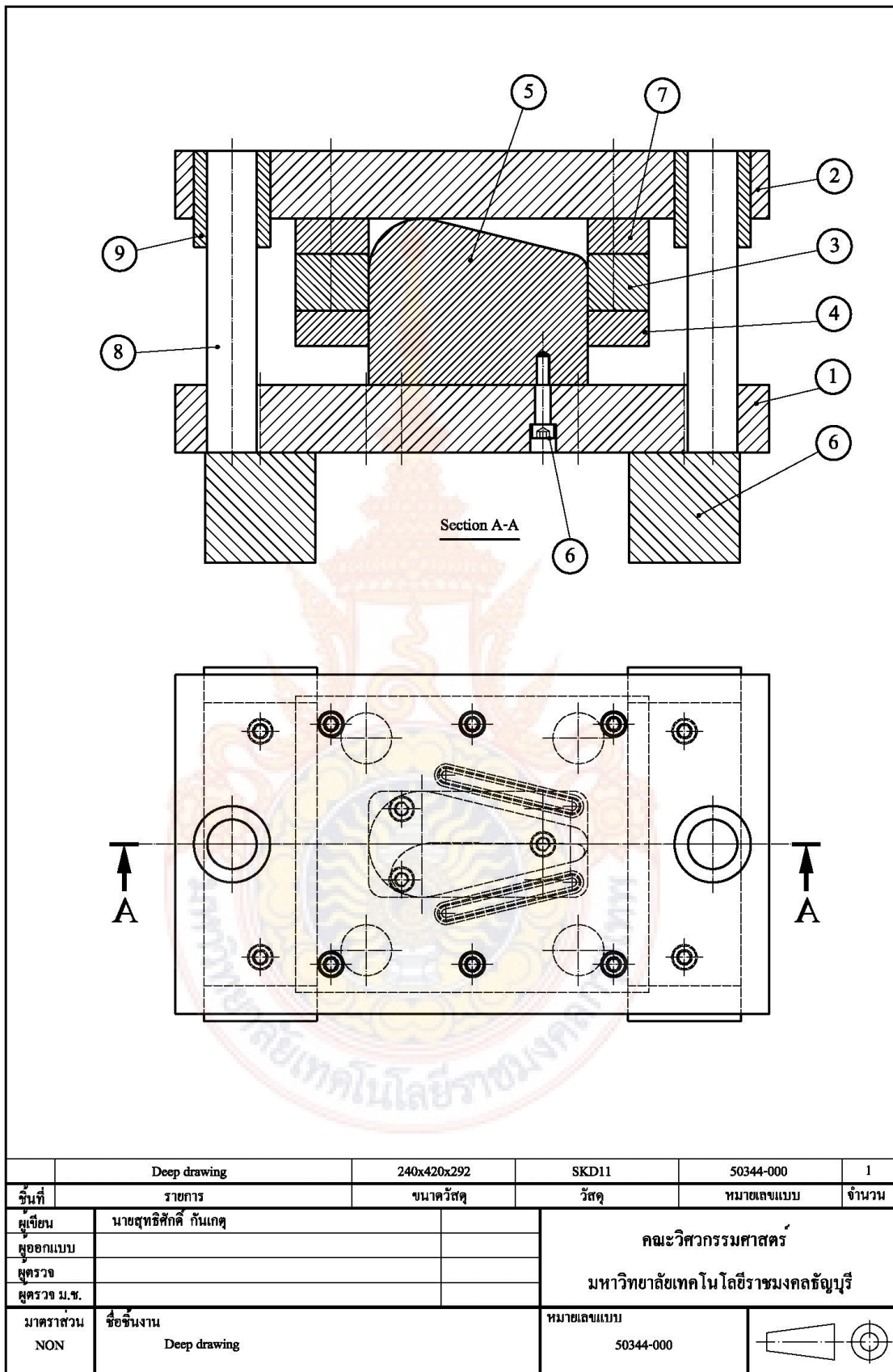


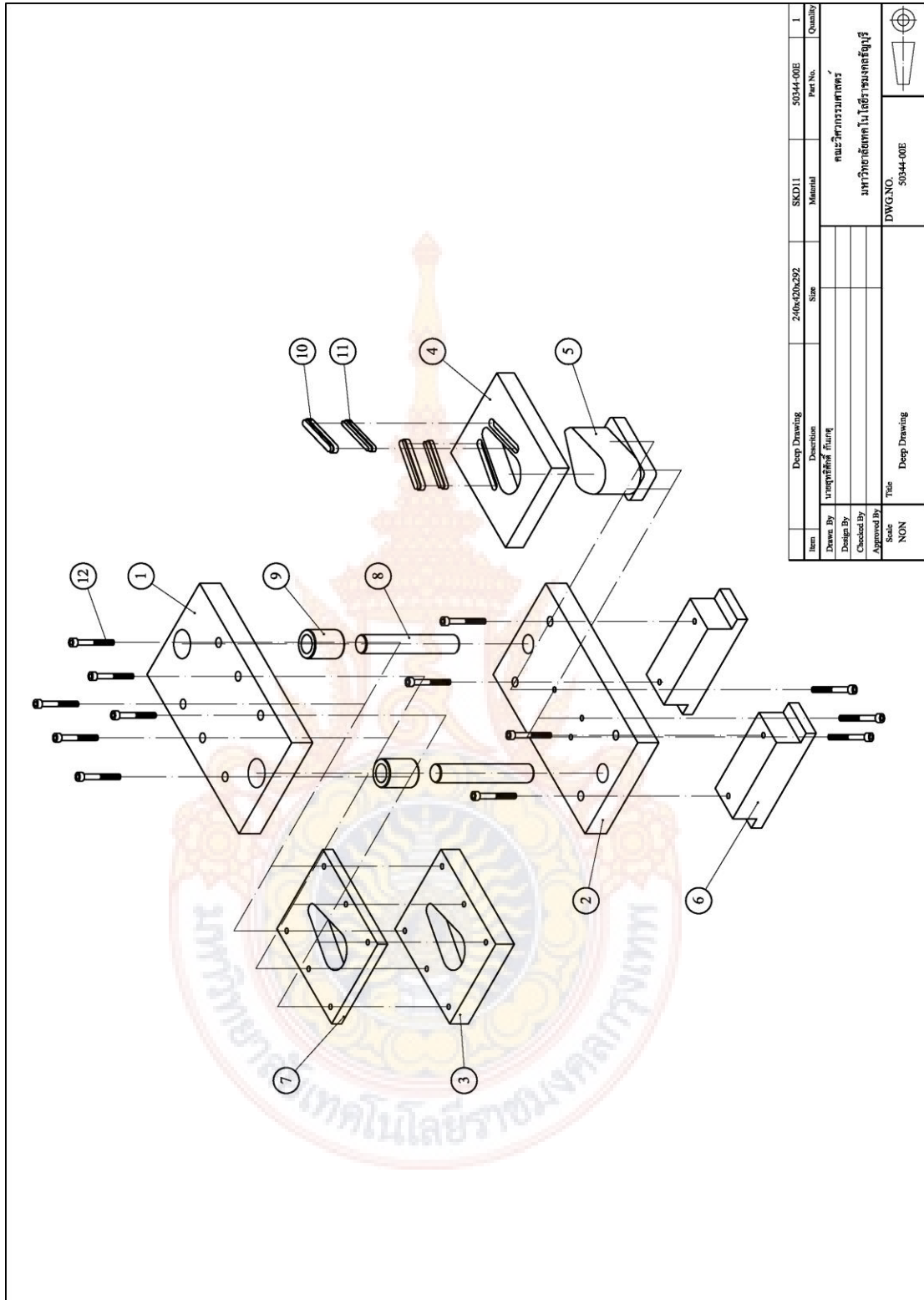


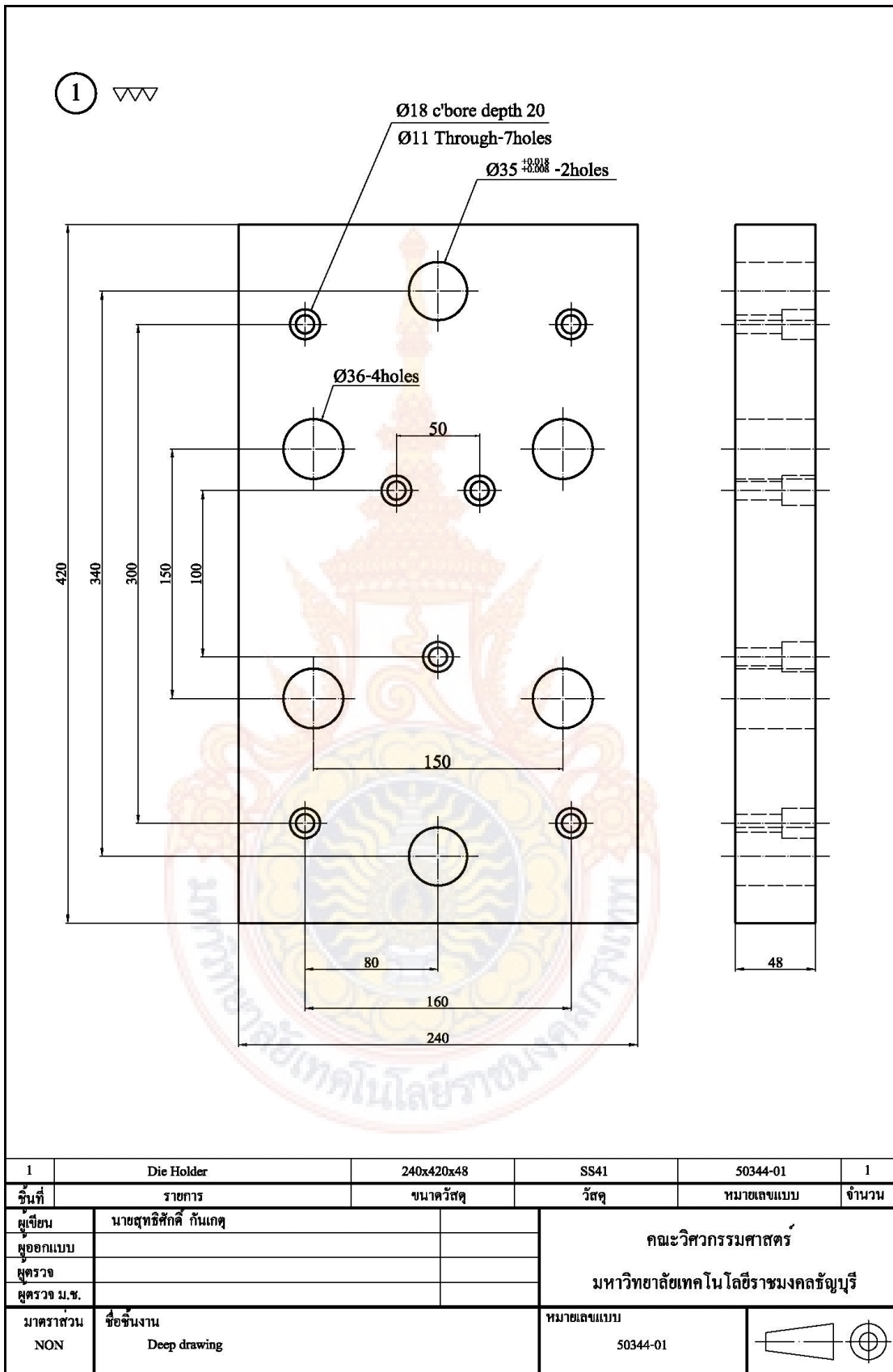
12	Socket Head Hex Screws	M10x1.5x60	-	-	13
11	Drawbead Insert	12x104x16	NBR	50344-11	2
10	Drawbead	16x108x16	S50C	50344-10	2
9	Bush	Ø54x68	SKD11	50344-09	2
8	Guide	Ø35x213.5	SKD11	50344-08	2
7	Pressure Die	210x250x40	S50C	50344-07	1
6	Spacer Block	80x250x78	S50C	50344-06	2
5	Punch From	80x150x118	SKD11	50344-05	1
4	Blank Holder	210x250x40	S50C	50344-04	1
3	Die Plate	210x250x40	SKD11	50344-03	1
2	Punch Holder	240x420x48	SS41	50344-02	1
1	Die Holder	240x420x48	SS41	50344-01	1
จำนวนที่	รายการ	ขนาดวัสดุ	วัสดุ	หมายเหตุแบบ	จำนวน
ผู้เขียน	นายสุทธิศักดิ์ กันเกรด			คณะวิศวกรรมศาสตร์ มหาวิทยาลัยเทคโนโลยีราชมงคลชัญบุรี	
ผู้ออกแบบ					
ผู้ตรวจสอบ					
ผู้ตรวจสอบ ม.ช.					
ผู้ตราคำสั่น	ลายเซ็นงาน Deep Drawing		หมายเหตุแบบ		



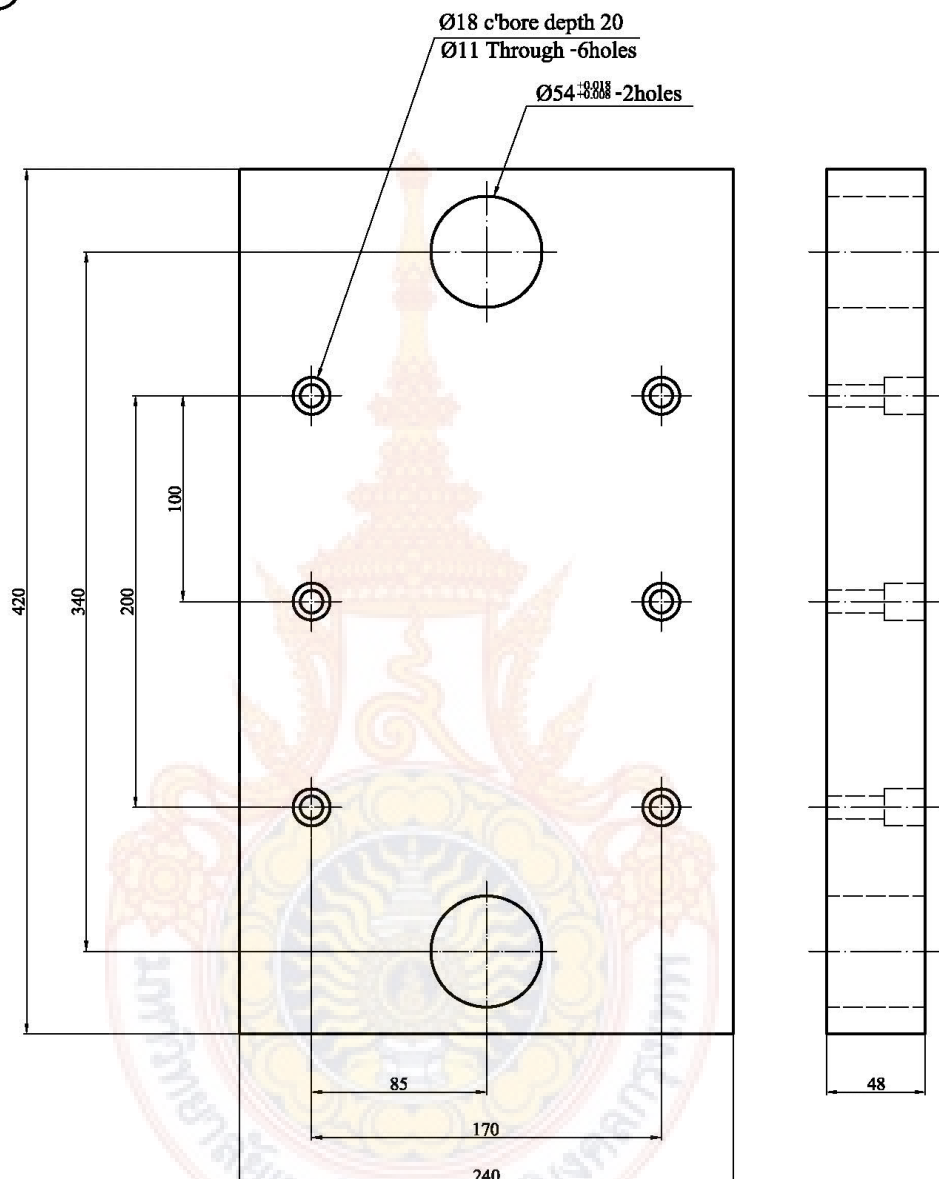
Deep Drawing		240x420x292	SKD11	50344-00I	1
ชื่อที่	รายการ	ขนาดวัสดุ	วัสดุ	หมายเหตุแบบ	จำนวน
ผู้รับอน	นายสุทธิศักดิ์ กันเกรท			คณะวิศวกรรมศาสตร์	
ผู้ออกแบบ				มหาวิทยาลัยเทคโนโลยีราชมงคลธัญบุรี	
ผู้ตรวจสอบ					
ผู้ตรวจสอบ ม.ช.					
มาตรฐาน	ข้อขึ้นราก	Deep Drawing	หมายเหตุแบบ	50344-00I	
NON					





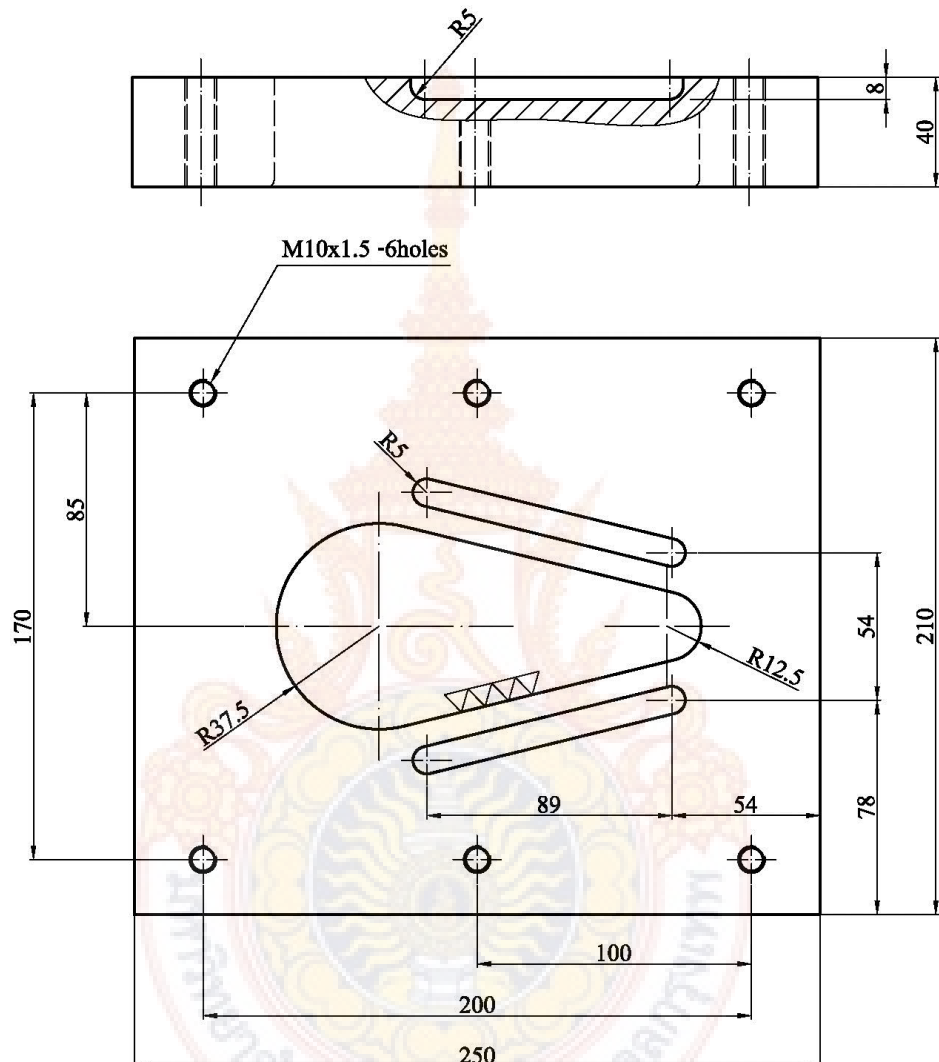


(2) ▼▼▼



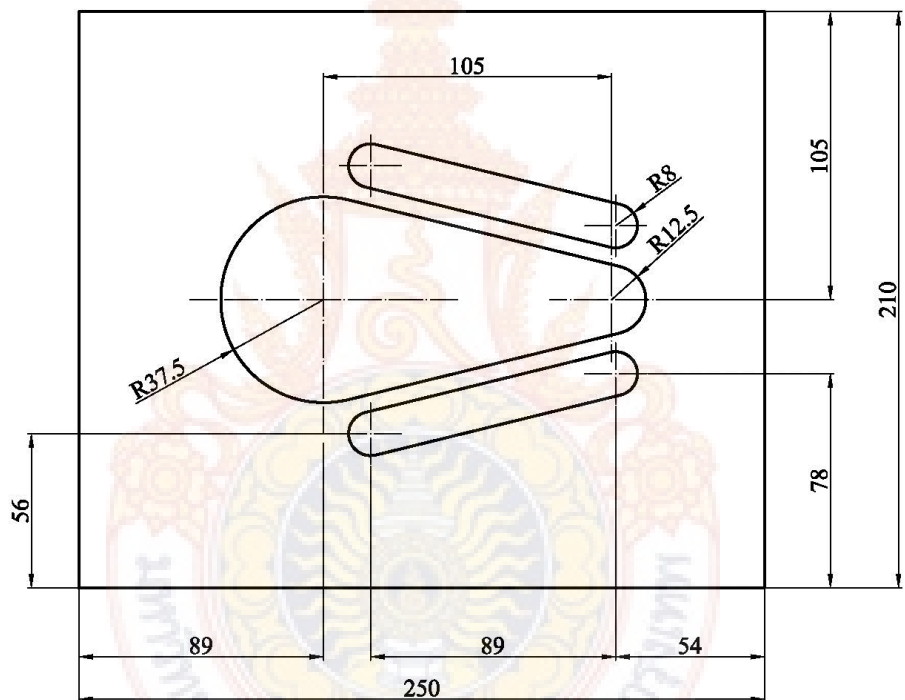
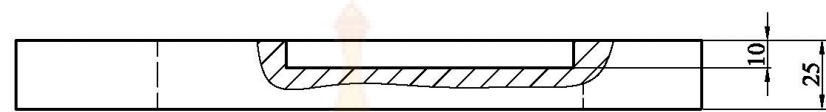
2	Punch Holder	240x420x48	SS41	50344-02	1	
ชิ้นที่	รายการ	ขนาดวัดดู	วัสดุ	หมายเหตุแบบ	จำนวน	
ผู้รับผิดชอบ	นายสุทธิศักดิ์ กันเกรท			คณบดีวิศวกรรมศาสตร์ มหาวิทยาลัยเทคโนโลยีราชมงคลธัญบุรี		
ผู้ออกแบบ						
ผู้ตรวจสอบ						
ผู้ตรวจสอบ ม.ช.						
มาตรฐาน	ข้อขึ้นราก NON	Deep drawing	หมายเหตุแบบ	50344-01		

(3) ▼▼▼



3	Die Plate	210x250x40	SKD11	50344-03	1
วันที่	รายการ	ขนาดวัดดู	วัสดุ	หมายเหตุแบบ	จำนวน
ผู้รับ	นายสุทธิศักดิ์ กันเกรท				
ผู้ออกแบบ					
ผู้ตรวจสอบ					
ผู้ตรวจสอบ ม.ช.					
มาตรฐาน	ข้อขึ้นราก				
NON	Deep drawing				
		หมายเหตุแบบ			
		50344-03			

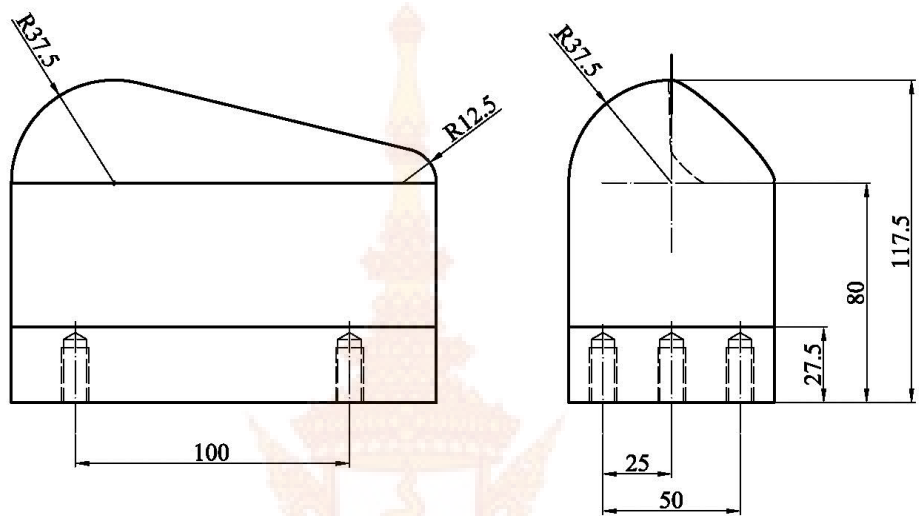
4



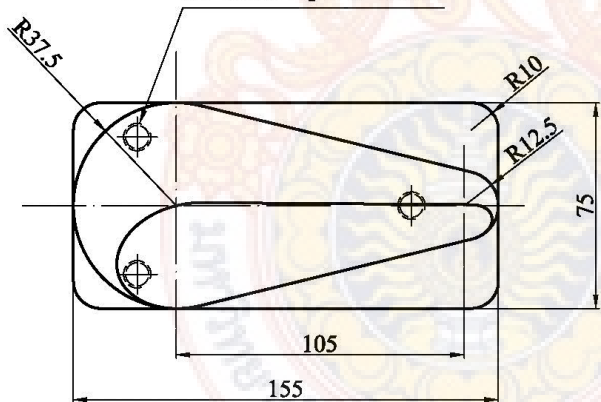
4	Blank Holder	210x250x25	S50C	50344-04	1
ชิ้นที่	รายการ	ขนาดวัสดุ	วัสดุ	หมายเลขแบบ	จำนวน
ผู้รับผิดชอบ	นายสุทธิศักดิ์ กันเกรท				
ผู้ออกแบบ					
ผู้ตรวจสอบ					
ผู้ตรวจสอบ ม.ช.					
มาตรฐาน	ข้อขึ้นต้น				
NON	Deep drawing			50344-04	

คณบดีวิศวกรรมศาสตร
มหาวิทยาลัยเทคโนโลยีราชมงคลธัญบุรี

5 

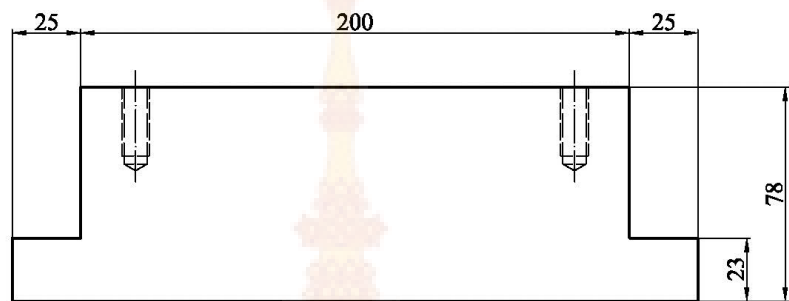


M10x1.5 Depth20 -3holes

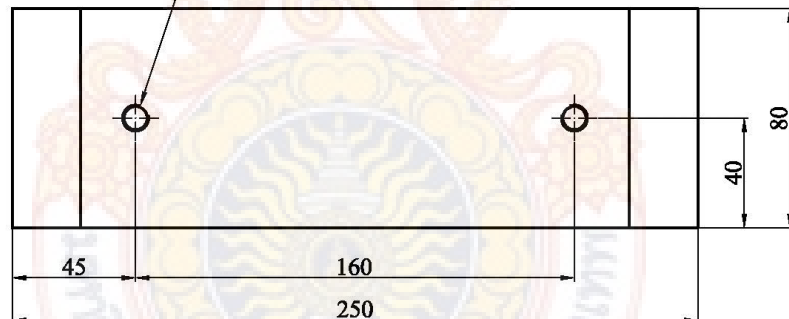


5	Punch From	80x150x118	SKD11	50344-05	1
ชื่อที่ ผู้เขียน	รายการ	ขนาดวัสดุ	วัสดุ	หมายเหตุแบบ	จำนวน
นายสุทธิศักดิ์ กันเกรท				คณะวิศวกรรมศาสตร์	
ผู้ออกแบบ				มหาวิทยาลัยเทคโนโลยีราชมงคลธัญบุรี	
ผู้ตรวจสอบ					
ผู้ตรวจสอบ ม.ช.					
มาตราฐาน NON	ข้อขึ้นงาน Deep drawing		หมายเหตุแบบ 50344-05		

(6) ▼▼▼

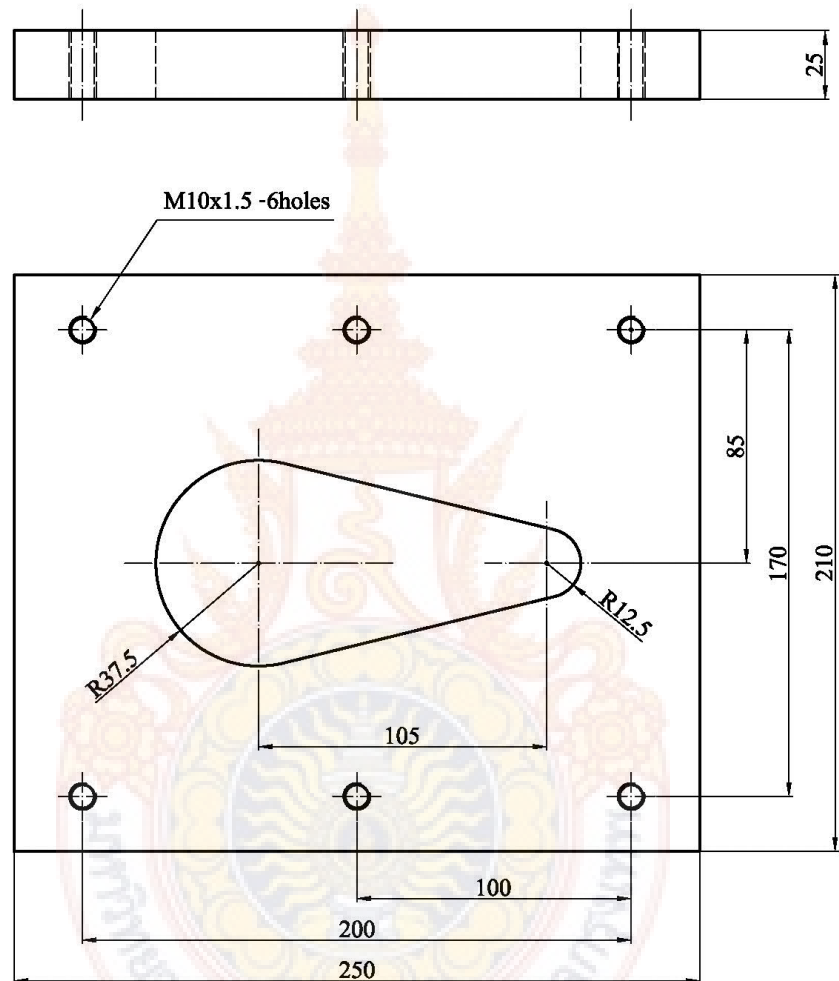


M10x1.5 Depth25 -2holes



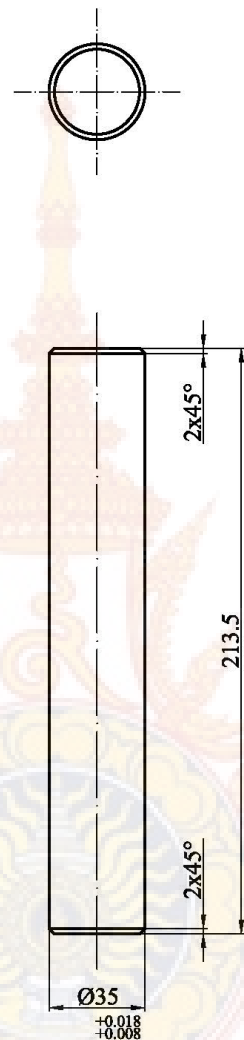
6	Spacer Block	80x250x78	S50C	50344-06	2
ชิ้นที่	รายการ	ขนาดวัสดุ	วัสดุ	หมายเหตุแบบ	จำนวน
ผู้รับผิดชอบ	นายสุทธิศักดิ์ กันเกรท			คณะวิศวกรรมศาสตร์	
ผู้ออกแบบ				มหาวิทยาลัยเทคโนโลยีราชมงคลธัญบุรี	
ผู้ตรวจสอบ					
ผู้ตรวจสอบ ม.ช.					
มาตรฐาน	ข้อขึ้นต้น		หมายเหตุแบบ	50344-06	
NON	Deep drawing				

7



7	Pressure Die	210x250x40	S50C	50344-07	1
ชื่อที่	ราษฎร์	ขนาดวัสดุ	วัสดุ	หมายเหตุแบบ	จำนวน
ผู้ยืนยัน	นายสุทธิศักดิ์ กันเกรทุก			คณะวิศวกรรมศาสตร์	
ผู้ออกแบบ				มหาวิทยาลัยเทคโนโลยีราชมงคลธัญบุรี	
ผู้ตรวจสอบ					
ผู้ตรวจสอบ ม.ช.					
มาตรฐาน	ข้อขึ้นงาน		หมายเหตุแบบ		
NON	Deep drawing		50344-07		

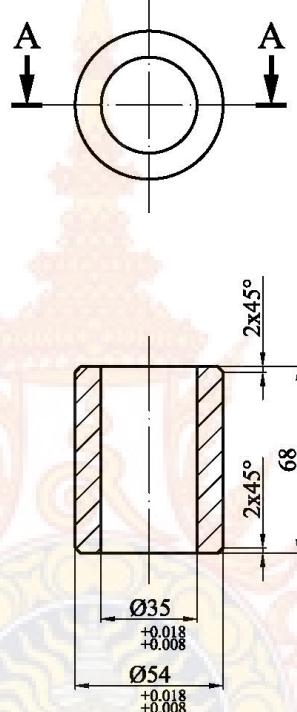
8



8	Guide	Ø35x213.5	S50C	50344-08	2
ชื่อผู้รับ	รายการ	ขนาดวัสดุ	วัสดุ	หมายเหตุแบบ	จำนวน
ผู้ดูแล	นายสุทธิศักดิ์ กันเกรท				
ผู้ออกแบบ					
ผู้ตรวจสอบ					
ผู้ตรวจสอบ ม.ช.					
มาตรฐาน	ข้อขึ้นราก				
NON	Deep drawing			หมายเหตุแบบ 50344-08	

คณะวิศวกรรมศาสตร์
มหาวิทยาลัยเทคโนโลยีราชมงคลธัญบุรี

(9) ▼▼▼

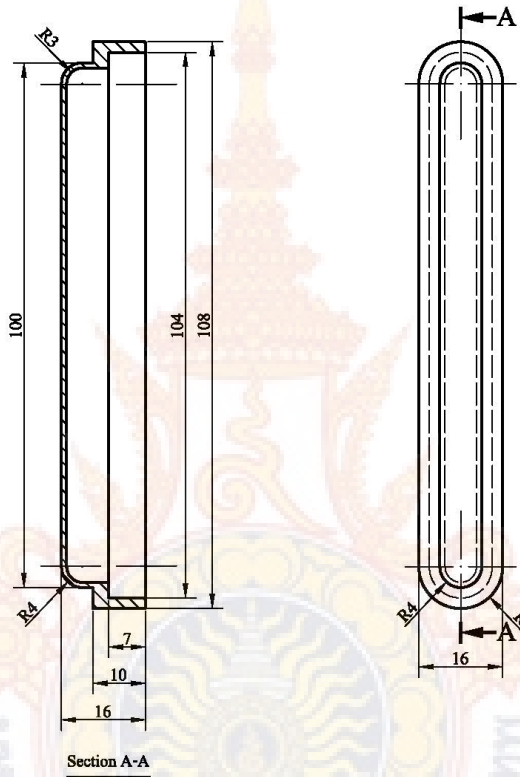


Section A-A

9	Bush	Ø54x68	S50C	50344-09	2
ชิ้นที่	รายการ	ขนาดวัดดู	วัสดุ	หมายเหตุแบบ	จำนวน
ผู้รับผิดชอบ	นายสุทธิศักดิ์ กันเกรท				
ผู้ออกแบบ					
ผู้ตรวจสอบ					
ผู้ตรวจสอบ ม.ช.					
มาตรฐาน	ข้อขึ้นราก				
NON	Deep drawing			หมายเหตุแบบ 50344-09	

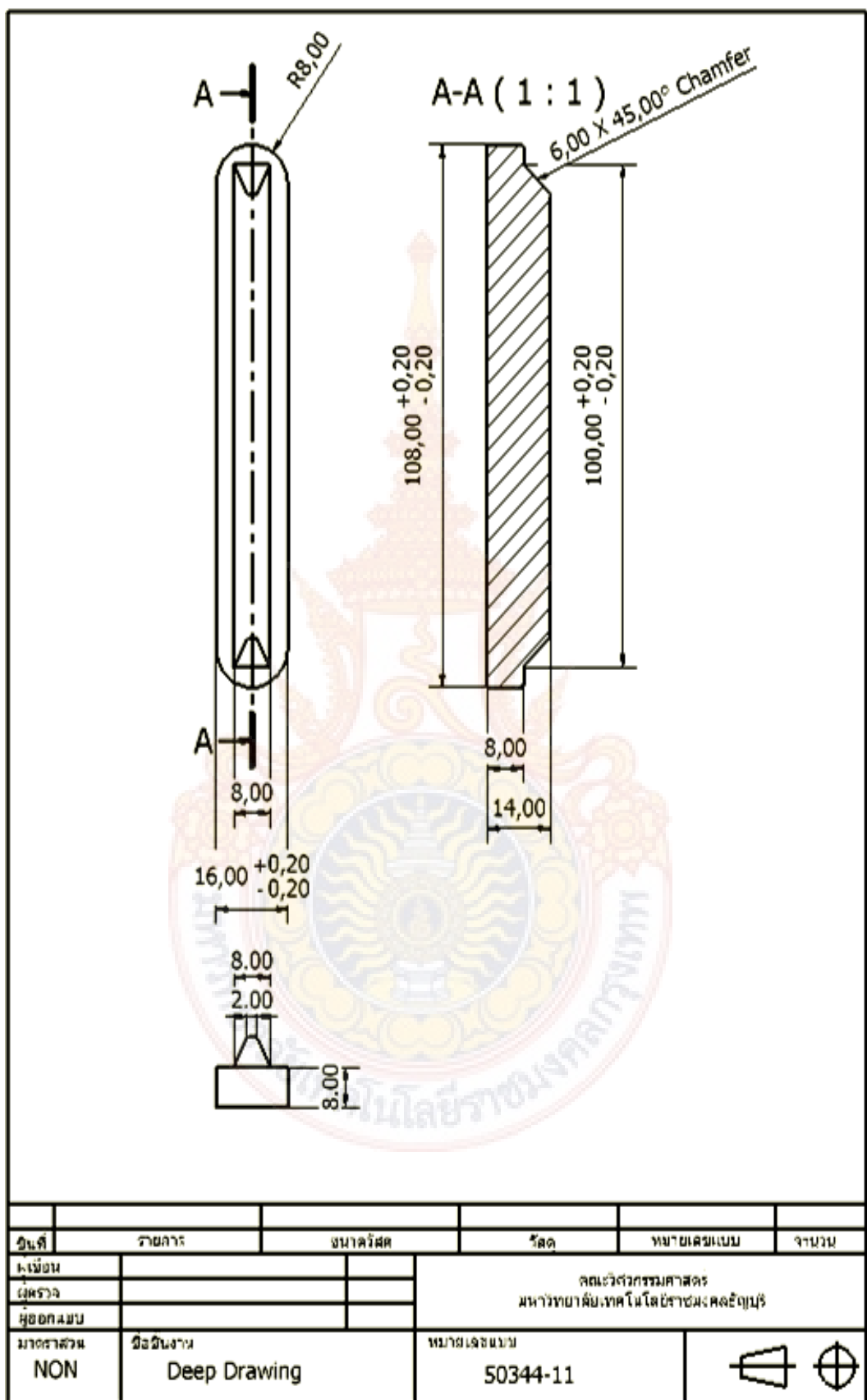
คณะวิศวกรรมศาสตร์
มหาวิทยาลัยเทคโนโลยีราชมงคลธัญบุรี

10 ▼▼▼

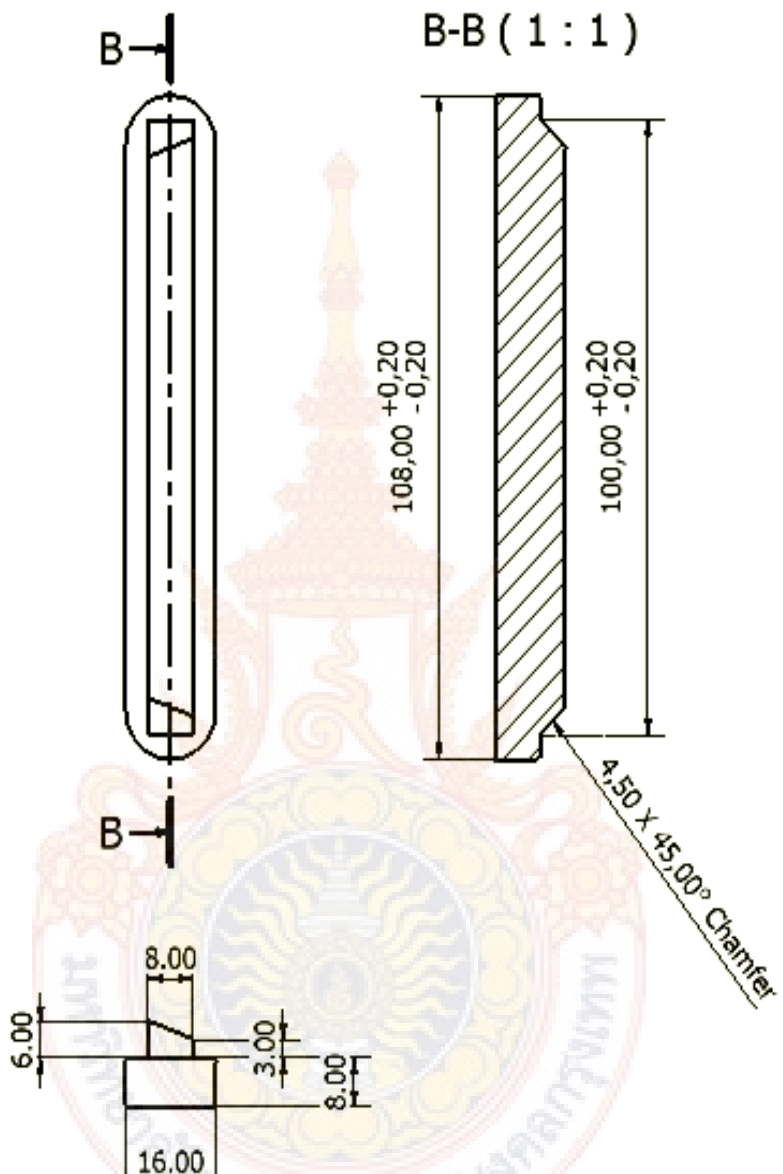


10	Drawbead	16x108x16	S50C	50344-10	2
ชิ้นที่	รายการ	ขนาดวัสดุ	วัสดุ	หมายเลขแบบ	จำนวน
ผู้เขียน	นายสุทธิศักดิ์ กันเกรท				
ผู้ออกแบบ					
ผู้ตรวจสอบ					
ผู้ตรวจสอบ ม.ช.					
มาตรฐาน	ข้อขึ้นราก Deep Drawing		หมายเหตุแบบ	50344-10	
NON					

คณะวิศวกรรมศาสตร์
มหาวิทยาลัยเทคโนโลยีราชมงคลธัญบุรี



B-B (1 : 1)



ชื่อที่	รายการ	ขนาดตัวอักษร	วัด	หมายเหตุและหมาย	จำนวน
ผู้เขียน					
ผู้ตรวจสอบ					
ผู้ออกคําปรบ					
มาตรฐานงาน	ชิ้นซึ่งงาน		หมายเหตุและหมาย		
NON	Deep Drawing		50344-12		

สถาบันวิจัยและพัฒนาฯ
มหาวิทยาลัยเทคโนโลยีราชมงคลเชียงใหม่

